



การพัฒนาแบบจำลองสำหรับคำนวณความเข้มรังสีด้วยอาทิตย์ภายในตัวภาพท้องฟ้าประจำเมฆ

โดย
นางสาวกมลा ศรีเจริญ

วิทยานิพนธ์นี้เป็นส่วนหนึ่งของการศึกษาตามหลักสูตรปริญญาวิทยาศาสตรมหาบัณฑิต
สาขาวิชาพิสิกส์
ภาควิชาพิสิกส์
บัณฑิตวิทยาลัย มหาวิทยาลัยศิลปากร
ปีการศึกษา 2552
ลิขสิทธิ์ของบัณฑิตวิทยาลัย มหาวิทยาลัยศิลปากร

การพัฒนาแบบจำลองสำหรับคำนวณความเข้มรังสีดวงอาทิตย์ภายนอกตัวภาพท้องฟ้าปราศจากเมฆ

โดย

นางสาวกมลा ศรีเจริญ

วิทยานิพนธ์นี้เป็นส่วนหนึ่งของการศึกษาตามหลักสูตรปริญญาวิทยาศาสตรมหาบัณฑิต

สาขาวิชาฟิสิกส์

ภาควิชาฟิสิกส์

บัณฑิตวิทยาลัย มหาวิทยาลัยศิลปากร

ปีการศึกษา 2552

ลิขสิทธิ์ของบัณฑิตวิทยาลัย มหาวิทยาลัยศิลปากร

**DEVELOPMENT OF MODELS FOR CALCULATING SOLAR RADIATION UNDER
CLOUDLESS SKIES**

By
Kammala Sricharoen

A Thesis Submitted in Partial Fulfillment of the Requirements for the Degree

MASTER OF SCIENCE

Department of Physics

Graduate School

SILPAKORN UNIVERSITY

2009

บัณฑิตวิทยาลัย มหาวิทยาลัยศิลปากร อนุมติให้วิทยานิพนธ์เรื่อง “การพัฒนาแบบจำลองสำหรับคำนวณความเข้มรังสีคงอาทิตย์ภายในตัวสภาพห้องฟ้าปราศจากเมฆ” เสนอโดย นางสาวกมลา ศรีเจริญ เป็นส่วนหนึ่งของการศึกษาตามหลักสูตรปริญญาวิทยาศาสตรมหาบัณฑิต สาขาวิชาฟิสิกส์

.....
(รองศาสตราจารย์ ดร. ศิริชัย ชินะตั้งกุร)

คณบดีบัณฑิตวิทยาลัย
วันที่.....เดือน..... พ.ศ.....

อาจารย์ที่ปรึกษาวิทยานิพนธ์
รองศาสตราจารย์ ดร. เสริม จันทร์ฉาย

คณะกรรมการตรวจสอบวิทยานิพนธ์

..... ประธานกรรมการ
(รองศาสตราจารย์ จำนวน กี่ ชั้รปีมาศ)

...../...../.....

..... กรรมการ
(รองศาสตราจารย์ ดร. ศิริชัย เทพฯ)

...../...../.....

..... กรรมการ
(รองศาสตราจารย์ ดร. เสริม จันทร์ฉาย)

...../...../.....

50306201 : สาขาวิชาฟิสิกส์

คำสำคัญ : รังสีดวงอาทิตย์ / สภาพท้องฟ้าปราศจากเมฆ / แบบจำลอง / สมรรถนะ / พลังงานแสงอาทิตย์

กมลา ศรีเจริญ : การพัฒนาแบบจำลองสำหรับคำนวณความเข้มรังสีดวงอาทิตย์ภายใต้สภาพท้องฟ้าปราศจากเมฆ. อาจารย์ที่ปรึกษาวิทยานิพนธ์ : รศ.ดร. เสริม จันทร์ฉาย. 139 หน้า.

ในงานวิจัยนี้ ผู้วิจัยได้ทำการพัฒนาแบบจำลองกึ่งเอมเพริคอลสำหรับคำนวณรังสีรวมบนพื้นราบ รังสีตรงบนระนาบตั้งฉากกับลำแสงอาทิตย์และรังสีกระเจยบนพื้นราบ แบบจำลองดังกล่าวจะเปียนในรูปของความเข้มรังสีดวงอาทิตย์ที่เป็นฟังก์ชันของสัมประสิทธิ์ความชุ่มน้ำบรรยายกาศของอังสตรอม (Angstrom turbidity coefficient) เลขยกกำลังอังสตรอม (Angstrom wavelength exponent) ปริมาณไอโอดินในบรรยากาศ และปริมาณโอโซน ในการสร้างแบบจำลองดังกล่าวผู้วิจัยจะใช้ข้อมูลความเข้มรังสีรวมบนพื้นราบ รังสีตรงบนระนาบตั้งฉากกับลำแสงอาทิตย์ และรังสีกระเจยบนพื้นราบ พร้อมทั้งข้อมูลฝุ่นละอองในบรรยากาศและข้อมูลปริมาณไอโอดิน ซึ่งทำการวัดที่สถานีวัดรังสีดวงอาทิตย์ 3 แห่ง ได้แก่ สถานีเชียงใหม่ (18.78°N , 98.98°E) สถานีนครปฐม (13.82°N , 100.04°E) และสถานีสงขลา (7.2°N , 100.60°E) ในด้านของข้อมูลปริมาณโอโซนจะใช้ข้อมูลจากดาวเทียม AURA/OMI หลังจากนั้นผู้วิจัยได้ทำการทดสอบสมรรถนะของแบบจำลองรังสีรวมและรังสีกระเจยที่พัฒนาขึ้น โดยการเปรียบเทียบผลการคำนวณจากแบบจำลองและข้อมูลอิสระของความเข้มรังสีดวงอาทิตย์ ซึ่งวัดที่ 3 สถานี ร่วมกับข้อมูลอิสระซึ่งวัดที่สถานีอุบลราชธานี (15.25°N , 104.87°E) ผลการทดสอบพบว่า แบบจำลองรังสีรวมสามารถทำนายค่าความเข้มรังสีรวมโดยมีความแตกต่างจากค่าที่ได้จากการวัดในรูปของ root mean square difference (RMSD) และ mean bias difference (MBD) เท่ากับ 4.3% และ -0.04% ตามลำดับ และแบบจำลองรังสีกระเจยสามารถทำนายค่าความเข้มรังสีกระเจยโดยมีความแตกต่างจากค่าที่ได้จากการวัดในรูปของ RMSD และ MBD เท่ากับ 14.3% และ 3.6% ตามลำดับ สำหรับกรณีแบบจำลองรังสีตรง ผู้วิจัยได้ทำการทดสอบแบบจำลองที่พัฒนาขึ้นกับข้อมูลของสถานีเชียงใหม่ นครปฐม และสงขลา ผลการทดสอบพบว่า แบบจำลองรังสีตรงสามารถทำนายค่าความเข้มรังสีตรงโดยมีความแตกต่างจากค่าที่ได้จากการวัดในรูปของ RMSD และ MBD เท่ากับ 7.3% และ 1.2% ตามลำดับ สุดท้ายผู้วิจัยได้เปรียบเทียบสมรรถนะของแบบจำลองรังสีรวมและรังสีตรงที่พัฒนาขึ้นในงานวิจัยนี้กับแบบจำลองอื่นๆ และผลการเปรียบเทียบพบว่า แบบจำลองที่พัฒนาขึ้นมีสมรรถนะอยู่ในเกณฑ์ที่ดี

50306201 : MAJOR : PHYSICS

KEY WORDS : SOLAR RADIATION/ CLEAR SKY CONDITION/ MODEL/ PERFORMANCE/
SOLAR ENERGY

KAMMALA SRICHAROEN : DEVELOPMENT OF MODELS FOR CALCULATING
SOLAR RADIATION UNDER CLOUDLESS SKIES. THESIS ADVISOR : ASSOC. PROF.
SERM JANJAI, Ph.D. 139 pp.

In this work, semi-empirical models for estimating global horizontal, direct normal and diffuse horizontal solar irradiances under cloudless skies were developed. These models express the irradiances as functions of the Angstrom turbidity coefficient, Angstrom wavelength exponent, precipitable water and total column ozone. The formulations of these models were based on global, direct normal and diffuse irradiance data, aerosol data and precipitable water data collected at three solar monitoring stations : Chiang Mai (18.78 °N, 98.98 °E), Nakhon Pathom (13.82 °N, 100.04 °E) and Songkhla (7.20 °N, 100.60 °E). The total column ozone at the positions of these stations were derived from AURA/OMI satellite. The model validations for global and diffuse components were carried out by using independent measurement data set from the three stations together with an independent data set collected at Ubon Ratchathani (15.25 °N, 104.87 °E). It was found that the global model predicted the global irradiance with the root mean square difference (RMSD) and mean bias difference (MBD) of 4.3% and -0.04%, respectively whereas the diffuse model showed an agreement with RMSD and MBD of 14.3% and 3.6%, respectively. The direct normal irradiance estimated from the model was compared with measurements at Chiang Mai, Nakhon Pathom and Songkhla and the results showed a good agreement with RMSD and MBD of 7.3% and 1.2%, respectively. The performance of global and direct models compared favorably when tested against other models.

Department of Physics Graduate School, Silpakorn University Academic Year 2009
Student's signature.....
Thesis Advisor's signature.....

กิตติกรรมประกาศ

ในการศึกษาระดับปริญญามหาบัณฑิตนี้ ผู้วิจัยได้รับทุนผู้ช่วยวิจัยจากห้องปฏิบัติการวิจัยพลังงานแสงอาทิตย์ ภาควิชาฟิสิกส์ คณะวิทยาศาสตร์ มหาวิทยาลัยศิลปากร ซึ่งผู้วิจัยขอขอบคุณไว้ ณ ที่นี่เป็นอย่างสูง และขอขอบคุณศูนย์อุดถุนวิทยาภาคเหนือ ศูนย์อุดถุนวิทยาภาคตะวันออกเฉียงเหนือ และ ศูนย์อุดถุนวิทยาภาคใต้ ฝ่ายตะวันออกที่ให้ความอนุเคราะห์ด้านสถานที่ติดตั้งและดูแลอุปกรณ์วัด

ผู้วิจัยขอขอบพระคุณรองศาสตราจารย์ ดร. เสริม จันทร์ฉาย ซึ่งเป็นอาจารย์ที่ปรึกษาผู้ให้คำแนะนำด้านวิชาการ พร้อมทั้งจัดทำทุนวิจัย เครื่องมือ อุปกรณ์ และข้อมูลสำหรับใช้ในการดำเนินงานวิจัย

ผู้วิจัยขอขอบพระคุณรองศาสตราจารย์ จำรงค์ สำราญมาศ หัวหน้าภาควิชาฟิสิกส์ คณะวิทยาศาสตร์ มหาวิทยาลัยศิลปากร ที่ให้การสนับสนุนด้านงานบริหารต่างๆ และขอขอบพระคุณรองศาสตราจารย์ ดร. ศิริชัย เทพา อาจารย์ประจำภาควิชาฟิสิกส์ คณะพลังงานและวัสดุศาสตร์ มหาวิทยาลัยเทคโนโลยีพระจอมเกล้าธนบุรี ที่กรุณาเสียสละเวลา มาเป็นกรรมการสอบวิทยานิพนธ์ นอกจากนี้ ผู้วิจัยขอขอบคุณ อาจารย์วรวิทย์ พรเมseen ดร. อิสรระ มะคิริ คุณรุ่งรัตน์ วัดตาล คุณตรีนุช จันทรราช และนักวิจัยทุกท่านของห้องปฏิบัติการวิจัยพลังงานแสงอาทิตย์ ภาควิชาฟิสิกส์ มหาวิทยาลัยศิลปากร ที่ช่วยเหลือในการอ่าน เรียนเรียงข้อมูลและสอบถามเที่ยบทั่วไป รวมทั้งสนับสนุนงานวิจัย

ท้ายสุดนี้ คุณประ โยชน์ที่เกิดจากวิทยานิพนธ์ฉบับนี้ ผู้วิจัยขอมอบให้กับบิดาและมารดารวมทั้งคณาจารย์ทุกท่าน เพื่อตอบแทนพระคุณที่ได้ช่วยให้ผู้วิจัยประสบความสำเร็จในการศึกษา

สารบัญ

	หน้า
บทคัดย่อภาษาไทย	๑
บทคัดย่อภาษาอังกฤษ	๒
กิตติกรรมประกาศ	๓
สารบัญตาราง	๔
สารบัญภาพ	๕
สัญลักษณ์	๖
 บทที่	
1 บทนำ	1
1. ความเป็นมาและความสำคัญของปัญหา	1
2. วัตถุประสงค์	2
2 หลักทางวิชาการและงานวิจัยที่เกี่ยวข้อง	3
2.1 แหล่งกำเนิดของรังสีดวงอาทิตย์	3
2.2 ความสัมพันธ์ทางเรขาคณิตระหว่างโลกกับดวงอาทิตย์	4
2.2.1 วงโคจรของโลกรอบดวงอาทิตย์	4
2.2.2 ทรงกลมห้องฟ้าและทางเดินปราภูของเทหัวตุ	5
2.2.3 ทางเดินปราภูของดวงอาทิตย์	7
2.2.4 การนองคำแห่นของดวงอาทิตย์	9
2.2.5 เวลาและตำแหน่งของดวงอาทิตย์	12
2.2.6 มุมตកกระทนของรังสีดวงอาทิตย์บนพื้นเมือง	14
2.3 รังสีดวงอาทิตย์นอกบรรยายกาศโลก	16
2.3.1 สเปกตรัมของรังสีดวงอาทิตย์นอกบรรยายกาศโลก	16
2.3.2 ค่าคงที่สุริยะ	16
2.3.3 รังสีดวงอาทิตย์นอกบรรยายกาศโลกบนพื้นราบ	17
2.3.4 รังสีดวงอาทิตย์บนพื้นราบ	19
2.4 มวลอากาศที่รังสีดวงอาทิตย์เคลื่อนที่ผ่าน	20
2.5 งานวิจัยที่เกี่ยวข้อง	21
2.5.1 แบบจำลองความเข้มรังสีตรงในสภาพห้องฟ้าปราสาทเมฆ	22

บทที่	หน้า
2.5.2 แบบจำลองความเข้มรังสีรวมในสภาพห้องฟ้าปราศจากเมฆ	29
2.5.3 แบบจำลองความเข้มรังสีกระจายในสภาพห้องฟ้าปราศจากเมฆ	32
3 วิธีดำเนินการวิจัยและผล	33
3.1 การเตรียมข้อมูลความเข้มรังสีคงอาทิตย์	33
3.1.1 เครื่องมือวัด	33
3.1.2 การอ่านข้อมูล	43
3.1.3 การสอบเทียบเครื่องวัดความเข้มรังสีคงอาทิตย์	43
3.1.4 การควบคุมคุณภาพข้อมูล	49
3.1.5 การคัดเลือกข้อมูล	50
3.2 การพัฒนาแบบจำลองความเข้มรังสีรวมในสภาพห้องฟ้าปราศจากเมฆ สำหรับประเทศไทย	57
3.2.1 ข้อมูล	57
3.2.1.1 ข้อมูลความเข้มรังสีรวมบนพื้นราบ	58
3.2.1.2 ข้อมูลไอน้ำ	61
3.2.1.3 ข้อมูลผุ่นละออง	67
3.2.1.4 ข้อมูลโถโชน	81
3.2.2 การสร้างแบบจำลอง	85
3.2.3 การทดสอบสมรรถนะของแบบจำลอง	87
3.3 การพัฒนาแบบจำลองความเข้มรังสีตรงในสภาพห้องฟ้าปราศจากเมฆ สำหรับประเทศไทย	97
3.3.1 ข้อมูล	97
3.3.2 การสร้างแบบจำลอง	99
3.3.3 การทดสอบสมรรถนะของแบบจำลอง	101
3.4 การพัฒนาแบบจำลองความเข้มรังสีกระจายในสภาพห้องฟ้าปราศจากเมฆ สำหรับประเทศไทย	109
3.4.1 ข้อมูล	109
3.4.2 การสร้างแบบจำลอง	112
3.4.3 การทดสอบสมรรถนะของแบบจำลอง	113
4 สรุป	118

บทที่	หน้า
บรรณานุกรม	110
 ภาคผนวก	 125
ภาคผนวก ก เครื่องมือวัดรังสีความอาทิตย์	126
ภาคผนวก ข การคัดเลือกวันท่องฟ้าปราศจากเมฆ	135
 ประวัติผู้วิจัย	 139

สารบัญตาราง

ตารางที่	หน้า
3.1 ผลการสอบเทียบเครื่องวัดรังสีรวมของ 4 สถานี	48
3.2 ช่วงข้อมูลที่ใช้ในการพัฒนาและทดสอบแบบจำลอง	58
3.3 ค่าสัมประสิทธิ์ของแบบจำลองรังสีรวมที่พัฒนาขึ้น	86
3.4 ค่า root mean square different (RMSD) และ mean bias different (MSD) ของสถานีเชียงใหม่ อุบลราชธานี นครปฐมและสงขลา	90
3.5 แบบจำลองความเข้มรังสีรวมในสภาพท้องฟ้าปราศจากเมฆ	91
3.6 ค่า RMSD (%) และ MBD (%) ของแต่ละแบบจำลองสำหรับ 4 สถานี	95
3.7 ช่วงข้อมูลที่ใช้ในการพัฒนาและทดสอบแบบจำลอง	97
3.8 ค่าสัมประสิทธิ์ของแบบจำลองรังสีตรงที่พัฒนาขึ้น	100
3.9 ค่า root mean square different (RMSD) และ mean bias different (MSD) ของสถานีเชียงใหม่ นครปฐมและสงขลา	104
3.10 แบบจำลองความเข้มรังสีตรงในสภาพท้องฟ้าปราศจากเมฆ	104
3.11 ค่า RMSD (%) และ MBD (%) ของแต่ละแบบจำลองสำหรับ 3 สถานี	108
3.12 ช่วงข้อมูลที่ใช้ในการพัฒนาและทดสอบแบบจำลอง	110
3.13 ค่าสัมประสิทธิ์ของแบบจำลองรังสีกระจายที่พัฒนาขึ้น	113
3.14 ค่า root mean square different (RMSD) และ mean bias different (MSD) ของสถานีเชียงใหม่ อุบลราชธานี นครปฐมและสงขลา	117

สารบัญภาพ

ภาพที่	หน้า
2.1 โครงสร้างของดวงอาทิตย์	4
2.2 วงโคจรของโลกรอบดวงอาทิตย์	4
2.3 โลกและท้องฟ้า	6
2.4 ลักษณะท้องฟ้า	7
2.5 ตำแหน่งของดวงอาทิตย์เมื่อเทียบกับสุนย์สูตรโลก	8
2.6 ทางเดินปรากฏของดวงอาทิตย์บนท้องฟ้า	8
2.7 การบอกร่างแผนที่ของดวงอาทิตย์โดยใช้ระบบอาชีนุช – อัลติจูด	9
2.8 การบอกร่างแผนที่ของดวงอาทิตย์โดยใช้ระบบสุนย์สูตร	11
2.9 การแบร์ค่าในรอบปีของความแตกต่างระหว่างเวลาดวงอาทิตย์กับเวลาดวงอาทิตย์เคลื่ิย (E _t) (Iqbal, 1983)	13
2.10 มุมตากะบทของลำแสงอาทิตย์บนพื้นอุ่น	15
2.11 สเปกตรัมของรังสีดวงอาทิตย์บนบรรยายโลก (Iqbal, 1983)	16
2.12 แสดงรังสีเฉพาะขณะในระบบตั้งจากกับทิศของรังสีและระบบของพื้นราบ	18
2.13 รังสีดวงอาทิตย์บนพื้นราบ	20
3.1 ตำแหน่งที่ตั้งของสถานีวัดสถานีวัดความเข้มรังสีดวงอาทิตย์ทั้ง 4 สถานีตามภูมิภาคหลักของประเทศไทย	34
3.2 อุปกรณ์วัดรังสีรวมที่ศูนย์อุตุนิยมวิทยาภาคเหนือ จังหวัดเชียงใหม่	35
3.3 อุปกรณ์วัดรังสีตรงที่ศูนย์อุตุนิยมวิทยาภาคเหนือ จังหวัดเชียงใหม่	36
3.4 อุปกรณ์วัดรังสีกระจายที่ศูนย์อุตุนิยมวิทยาภาคเหนือ จังหวัดเชียงใหม่	36
3.5 อุปกรณ์บันทึกข้อมูลที่ศูนย์อุตุนิยมวิทยาภาคเหนือ จังหวัดเชียงใหม่	36
3.6 อุปกรณ์วัดรังสีรวมที่ศูนย์อุตุนิยมวิทยาภาคตะวันออกเฉียงเหนือ จังหวัดอุบลราชธานี	37
3.7 อุปกรณ์วัดรังสีกระจายที่ศูนย์อุตุนิยมวิทยาภาคตะวันออกเฉียงเหนือ จังหวัดอุบลราชธานี	38
3.8 อุปกรณ์บันทึกข้อมูลที่ศูนย์อุตุนิยมวิทยาภาคตะวันออกเฉียงเหนือ จังหวัดอุบลราชธานี	38
3.9 อุปกรณ์วัดรังสีรวมที่มหาวิทยาลัยศิลปากร จังหวัดนครปฐม	39
3.10 อุปกรณ์วัดรังสีตรงที่มหาวิทยาลัยศิลปากร จังหวัดนครปฐม	39
3.11 อุปกรณ์วัดรังสีกระจายที่มหาวิทยาลัยศิลปากร จังหวัดนครปฐม	40
3.12 อุปกรณ์บันทึกข้อมูลที่มหาวิทยาลัยศิลปากร จังหวัดนครปฐม	40
3.13 อุปกรณ์วัดรังสีรวมที่ศูนย์อุตุนิยมวิทยาภาคใต้ฟังตะวันออก จังหวัดสงขลา	41

ภาคที่	หน้า
3.14 อุปกรณ์วัดรังสีตรงที่ศูนย์อุตุนิยมวิทยาภาคใต้ฝั่งตะวันออก จังหวัดสงขลา	41
3.15 อุปกรณ์วัดรังสีกระจายที่ศูนย์อุตุนิยมวิทยาภาคใต้ฝั่งตะวันออก จังหวัดสงขลา	42
3.16 อุปกรณ์บันทึกข้อมูลที่ศูนย์อุตุนิยมวิทยาภาคใต้ฝั่งตะวันออก จังหวัดสงขลา	42
3.17 การสอนเที่ยบไฟราโนมิเตอร์ที่สถานีเชียงใหม่ เมื่อเดือนพฤษภาคม 2009	44
3.18 การสอนเที่ยบไฟราโนมิเตอร์ที่สถานีอุบลราชธานี เมื่อเดือนพฤษภาคม 2009	45
3.19 การสอนเที่ยบไฟราโนมิเตอร์ที่สถานีนครปฐม เมื่อเดือนกุมภาพันธ์ 2010	45
3.20 การสอนเที่ยบไฟราโนมิเตอร์ที่สถานีสงขลา เมื่อเดือนเมษายน 2009	46
3.21 กราฟความสัมพันธ์ระหว่างค่าความเข้มรังสีดวงอาทิตย์ที่ได้จากหัวดามาตรฐาน กับค่าศักย์ไฟฟ้าจากหัวดของสถานีเชียงใหม่	46
3.22 กราฟความสัมพันธ์ระหว่างค่าความเข้มรังสีดวงอาทิตย์ที่ได้จากหัวดามาตรฐาน กับค่าศักย์ไฟฟ้าจากหัวดของสถานีอุบลราชธานี	47
3.23 กราฟความสัมพันธ์ระหว่างค่าความเข้มรังสีดวงอาทิตย์ที่ได้จากหัวดามาตรฐาน กับค่าศักย์ไฟฟ้าจากหัวดของสถานีนครปฐม	47
3.24 กราฟความสัมพันธ์ระหว่างค่าความเข้มรังสีดวงอาทิตย์ที่ได้จากหัวดามาตรฐาน กับค่าศักย์ไฟฟ้าจากหัวดของสถานีสงขลา	48
3.25 ลักษณะของข้อมูลผิดปกติที่จำเป็นต้องตรวจสอบ	50
3.26 เครื่อง sunphotometer ของสถานีเชียงใหม่	51
3.27 เครื่อง sunphotometer ของสถานีอุบลราชธานี	52
3.28 เครื่อง sunphotometer ของสถานีนครปฐม	52
3.29 เครื่อง sunphotometer ของสถานีสงขลา	53
3.30 เครื่องถ่ายภาพห้องฟ้าของสถานีเชียงใหม่	53
3.31 เครื่องถ่ายภาพห้องฟ้าของสถานีอุบลราชธานี	54
3.32 เครื่องถ่ายภาพห้องฟ้าของสถานีนครปฐม	54
3.33 เครื่องถ่ายภาพห้องฟ้าของสถานีสงขลา	55
3.34 ตัวอย่างภาพถ่ายห้องฟ้าจากเครื่อง sky view ในสภาพห้องฟ้าปราศจากเมฆ สถานีเชียงใหม่ วันที่ 30 พฤศจิกายน 2008 เวลา 12.00 น.....	55
3.35 ตัวอย่างภาพถ่ายห้องฟ้าจากเครื่อง sky view ในสภาพห้องฟ้าปราศจากเมฆ สถานีอุบลราชธานี วันที่ 1 พฤศจิกายน 2009 เวลา 8.40 น.....	56

ภาคที่	หน้า
3.36 ตัวอย่างภาพถ่ายห้องฟ้าจากเครื่อง sky view ในสภาพห้องฟ้าปราศจากเมฆ สถานีนครปฐม วันที่ 2 ธันวาคม 2008 เวลา 12.00 น.	56
3.37 ตัวอย่างภาพถ่ายห้องฟ้าจากเครื่อง sky view ในสภาพห้องฟ้าปราศจากเมฆ สถานีสิงขลา วันที่ 25 พฤษภาคม 2008 เวลา 10.00 น.	57
3.38 ตัวอย่างกราฟความเข้มรังสีรวมในวันที่ห้องฟ้าปราศจากเมฆของสถานีเชียงใหม่ วันที่ 8 กุมภาพันธ์ 2008	59
3.39 ตัวอย่างกราฟความเข้มรังสีรวมในวันที่ห้องฟ้าปราศจากเมฆของสถานีอุบลราชธานี วันที่ 17 กุมภาพันธ์ 2010	59
3.40 ตัวอย่างกราฟความเข้มรังสีรวมในวันที่ห้องฟ้าปราศจากเมฆของสถานีนครปฐม วันที่ 17 มีนาคม 2008	60
3.41 ตัวอย่างกราฟความเข้มรังสีรวมในวันที่ห้องฟ้าปราศจากเมฆของสถานีสิงขลา วันที่ 23 กันยายน 2008	60
3.42 การคูดกลืนรังสีดวงอาทิตย์ที่ความยาวคลื่นต่างๆ โอบน้ำในบรรยายกาศ	61
3.43 ปริมาณโอบน้ำก้อนตัวในบรรยายกาศ	62
3.44 การเปลี่ยนแปลงของปริมาณโอบน้ำตามเวลาในรอบวัน ของสถานีเชียงใหม่ วันที่ 8 กุมภาพันธ์ 2008	63
3.45 การเปลี่ยนแปลงของปริมาณโอบน้ำตามเวลาในรอบวัน ของสถานีอุบลราชธานี วันที่ 17 กุมภาพันธ์ 2010	63
3.46 การเปลี่ยนแปลงของปริมาณโอบน้ำตามเวลาในรอบวัน ของสถานีนครปฐม วันที่ 17 มีนาคม 2008	64
3.47 การเปลี่ยนแปลงของปริมาณโอบน้ำตามเวลาในรอบวัน ของสถานีสิงขลา วันที่ 23 กุมภาพันธ์ 2008	64
3.48 การเปลี่ยนแปลงของปริมาณโอบน้ำในรอบปี ของสถานีเชียงใหม่ ปี 2008	65
3.49 การเปลี่ยนแปลงของปริมาณโอบน้ำในรอบปี ของสถานีอุบลราชธานี ตุลาคม 2009- มีนาคม 2010	65
3.50 การเปลี่ยนแปลงของปริมาณโอบน้ำในรอบปี ของสถานีนครปฐม ปี 2008	66
3.51 การเปลี่ยนแปลงของปริมาณโอบน้ำในรอบปี ของสถานีสิงขลา ปี 2008	66
3.52 การกระเจิงและคูดกลืนรังสีดวงอาทิตย์ที่ความยาวคลื่นต่าง ๆ ขององค์ประกอบ ในบรรยายกาศ	67

ภาคที่	หน้า
3.53 การเปลี่ยนแปลงค่าความลึกเชิงแสงของฝุ่นละออง (aerosol optical depth) ตามเวลาในรอบวันของสถานีเชียงใหม่ วันที่ 8 กุมภาพันธ์ 2008.....	69
3.54 การเปลี่ยนแปลงค่าความลึกเชิงแสงของฝุ่นละออง (aerosol optical depth) ตามเวลาในรอบวันของสถานีอุบลราชธานี วันที่ 17 กุมภาพันธ์ 2010.....	69
3.55 การเปลี่ยนแปลงค่าความลึกเชิงแสงของฝุ่นละออง (aerosol optical depth) ตามเวลาในรอบวันของสถานีนครปฐม วันที่ 17 มีนาคม 2008.....	70
3.56 การเปลี่ยนแปลงค่าความลึกเชิงแสงของฝุ่นละออง (aerosol optical depth) ตามเวลาในรอบวันของสถานีสงขลา วันที่ 23 กันยายน 2008.....	70
3.57 การเปลี่ยนแปลงค่า Angstrom wavelength exponent ตามเวลาในรอบวัน ของสถานีเชียงใหม่ วันที่ 8 กุมภาพันธ์ 2008.....	71
3.58 การเปลี่ยนแปลงค่า Angstrom wavelength exponent ตามเวลาในรอบวัน ของสถานีอุบลราชธานี วันที่ 17 กุมภาพันธ์ 2010.....	71
3.59 การเปลี่ยนแปลงค่า Angstrom wavelength exponent ตามเวลาในรอบวัน ของสถานีนครปฐม วันที่ 17 มีนาคม 2008.....	72
3.60 การเปลี่ยนแปลงค่า Angstrom wavelength exponent ตามเวลาในรอบวัน ของสถานีสงขลา วันที่ 23 กันยายน 2008.....	72
3.61 การเปลี่ยนแปลงค่า Angstrom turbidity coefficient ตามเวลาในรอบวัน ของสถานีเชียงใหม่ วันที่ 8 กุมภาพันธ์ 2008.....	73
3.62 การเปลี่ยนแปลงค่า Angstrom turbidity coefficient ตามเวลาในรอบวัน ของสถานีอุบลราชธานี วันที่ 17 กุมภาพันธ์ 2010.....	73
3.63 การเปลี่ยนแปลงค่า Angstrom turbidity coefficient ตามเวลาในรอบวัน ของสถานีนครปฐม วันที่ 17 มีนาคม 2008.....	74
3.64 การเปลี่ยนแปลงค่า Angstrom turbidity coefficient ตามเวลาในรอบวัน ของสถานีสงขลา วันที่ 23 กันยายน 2008.....	74
3.65 การเปลี่ยนแปลงค่าความลึกเชิงแสงของฝุ่นละออง (aerosol optical depth) ในรอบปี ของสถานีเชียงใหม่ ปี 2008.....	75
3.66 การเปลี่ยนแปลงค่าความลึกเชิงแสงของฝุ่นละออง (aerosol optical depth) ในรอบปี ของสถานีอุบลราชธานี ตุลาคม 2009 – มีนาคม 2010.....	75

ภาคที่		หน้า
3.84 การเปรียบเทียบค่าความเข้มรังสีรวมที่ได้จากการวัดและการคำนวณ ของสถานีเชียงใหม่	88	
3.85 การเปรียบเทียบค่าความเข้มรังสีรวมที่ได้จากการวัดและการคำนวณ ของสถานีอุบลราชธานี	88	
3.86 การเปรียบเทียบค่าความเข้มรังสีรวมที่ได้จากการวัดและการคำนวณ ของสถานีนครปฐม	89	
3.87 การเปรียบเทียบค่าความเข้มรังสีรวมที่ได้จากการวัดและการคำนวณ ของสถานีสงขลา	89	
3.88 การเปรียบเทียบค่าความเข้มรังสีรวมที่ได้จากการวัดและการคำนวณ ของทุกสถานี	90	
3.89 การเปรียบเทียบค่าความเข้มรังสีรวมที่ได้จากการวัดและการคำนวณ ของแบบจำลอง Haurwitz	92	
3.90 การเปรียบเทียบค่าความเข้มรังสีรวมที่ได้จากการวัดและการคำนวณ ของแบบจำลอง Daneshyar-Paltridge-Proctor	92	
3.91 การเปรียบเทียบค่าความเข้มรังสีรวมที่ได้จากการวัดและการคำนวณ ของแบบจำลอง Berger-Duffie	93	
3.92 การเปรียบเทียบค่าความเข้มรังสีรวมที่ได้จากการวัดและการคำนวณ ของแบบจำลอง Adnote- Bourges-Campana- Gicquel	93	
3.93 การเปรียบเทียบค่าความเข้มรังสีรวมที่ได้จากการวัดและการคำนวณ ของแบบจำลอง Kasten-Czeplak	94	
3.94 การเปรียบเทียบค่าความเข้มรังสีรวมที่ได้จากการวัดและการคำนวณ ของแบบจำลอง Robledo-Soler	94	
3.95 การเปรียบเทียบค่าความเข้มรังสีรวมที่ได้จากการวัดและการคำนวณ ของแบบจำลอง Berlynd	95	
3.96 ตัวอย่างกราฟความเข้มรังสีตรงในวันที่ห้องฟ้าปราศจากเมฆ ของสถานีเชียงใหม่ วันที่ 8 กุมภาพันธ์ 2008	98	
3.97 ตัวอย่างกราฟความเข้มรังสีตรงในวันที่ห้องฟ้าปราศจากเมฆ ของสถานีนครปฐม วันที่ 17 มีนาคม 2008	98	

ภาพที่	หน้า
3.98 ตัวอย่างกราฟความเข้มรังสีตรังในวันที่ห้องฟ้าปราศจากเมฆ ของสถานีสงขลา วันที่ 23 กันยายน 2008.....	96
3.99 การเปรียบเทียบค่าความเข้มรังสีตรังที่ได้จากการวัดและการคำนวณ ของสถานีเชียงใหม่.....	99
3.100 การเปรียบเทียบค่าความเข้มรังสีตรังที่ได้จากการวัดและการคำนวณ ของสถานีนครปฐม.....	100
3.101 การเปรียบเทียบค่าความเข้มรังสีตรังที่ได้จากการวัดและการคำนวณ ของสถานีสงขลา.....	100
3.102 การเปรียบเทียบค่าความเข้มรังสีตรังที่ได้จากการวัดและการคำนวณ ของทุกสถานี.....	101
3.103 การเปรียบเทียบค่าความเข้มรังสีตรังที่ได้จากการวัดและการคำนวณ Marjumdar et al.(1972).....	103
3.104 การเปรียบเทียบค่าความเข้มรังสีตรังที่ได้จากการวัดและการคำนวณ Paltridge and Platt(1976).....	103
3.105 การเปรียบเทียบค่าความเข้มรังสีตรังที่ได้จากการวัดและการคำนวณ Hoyt(1978) and Sasamori et al.(1972).....	104
3.106 การเปรียบเทียบค่าความเข้มรังสีตรังที่ได้จากการวัดและการคำนวณ Bird and Hulstrom(1981).....	104
3.107 การเปรียบเทียบค่าความเข้มรังสีตรังที่ได้จากการวัดและการคำนวณ Psiloglou et al.(2007).....	105
3.108 การเปรียบเทียบค่าความเข้มรังสีตรังที่ได้จากการวัดและการคำนวณ Ineichen(2008).....	105
3.109 ตัวอย่างกราฟความเข้มรังสีกระจายในวันที่ห้องฟ้าปราศจากเมฆ ของสถานี เชียงใหม่ วันที่ 8 มกราคม 2009.....	110
3.110 ตัวอย่างกราฟความเข้มรังสีกระจายในวันที่ห้องฟ้าปราศจากเมฆ ของสถานี อุบลราชธานี วันที่ 17 กุมภาพันธ์ 2010.....	111
3.111 ตัวอย่างกราฟความเข้มรังสีกระจายในวันที่ห้องฟ้าปราศจากเมฆ ของสถานี นครปฐม วันที่ 5 มกราคม 2009.....	111

ภาคที่	หน้า
3.112 ตัวอย่างกราฟความเข้มรังสีกระจายในวันที่ห้องฟ้าปราศจากเมฆ ของสถานีสงขลา วันที่ 19 กุมภาพันธ์ 2007.....	112
3.113 การเปรียบเทียบค่าความเข้มรังสีกระจายที่ได้จากการวัดและการคำนวณของสถานี เชียงใหม่.....	114
3.114 การเปรียบเทียบค่าความเข้มรังสีกระจายที่ได้จากการวัดและการคำนวณของสถานี อุบลราชธานี.....	115
3.115 การเปรียบเทียบค่าความเข้มรังสีกระจายที่ได้จากการวัดและการคำนวณของสถานี นครปฐม	115
3.116 การเปรียบเทียบค่าความเข้มรังสีกระจายที่ได้จากการวัดและการคำนวณของสถานี สงขลา	116
3.117 การเปรียบเทียบค่าความเข้มรังสีกระจายที่ได้จากการวัดและการคำนวณของ ทุกสถานี	116
A1.1 แสดงลักษณะของไพรารอนมิเตอร์แบบ Robitzsch bimetallic.....	125
A1.2 แสดงสารกึ่งตัวนำที่ใช้เป็น sensor ของไพรารอนมิเตอร์.....	126
A1.3 แสดงการตอบสนองต่อสเปกตรัมรังสีคงอาทิตย์ของไพรารอนมิเตอร์แบบใช้ 116 photoelectric sensor.....	127
A1.4 ลักษณะของไพรารอนมิเตอร์แบบใช้ photoelectric sensor.....	127
A1.5 thermoelectric sensor แบบต่างๆ.....	128
A1.6 การตอบสนองต่อสเปกตรัมรังสีคงอาทิตย์ของไพรารอนมิเตอร์ 116 แบบใช้ thermoelectric sensor	129
A1.7 ลักษณะของไพรารอนมิเตอร์แบบใช้ thermoelectric sensor.....	129
A1.8 Abbot Water-Flow Pyrheliometer.....	130
A1.9 Abbot Silver-Disk Pyrheliometer.....	131
A1.10 Angstrom Electrical Compensation Pyrheliometer.....	132
A1.11 Active Cavity Pyrheliometer.....	133
A1.12 field pyrheliometer ที่ผลิตโดยบริษัท Eppley.....	134
A1.13 field pyrheliometer ที่ผลิตโดยบริษัท Kipp & Zonen.....	134
A2.1 เครื่องถ่ายภาพห้องฟ้า (sky view).....	136
A2.2 ภาพถ่ายห้องฟ้าในวันห้องฟ้าปราศจากเมฆและวันที่มีเมฆ.....	137

ภาพที่	หน้า
A2.3 Algorithm ของโปรแกรมคัดเลือกข้อมูลท้องฟ้าปราศจากเมฆของ AERONET.....	138

ສัญລັກຂໍ້າວ

a_a	=	ຄ່າການດູດກລືນຂອງຮັງສີດວງອາທິຕິຍ໌ເນື່ອຈາກຜູ້ນລະອອງ [-]
a_g	=	ຄ່າການດູດກລືນຂອງຮັງສີດວງອາທິຕິຍ໌ເນື່ອຈາກໄອໂໂຈນ [-]
a_w	=	ຄ່າການດູດກລືນຂອງຮັງສີດວງອາທິຕິຍ໌ເນື່ອຈາກໄອນ້າ [-]
d_n	=	ລຳດັບວັນໃນຮອບປີ ($d_n = 1$ ສໍາຫັບວັນທີ 1 ມកຣາຄມ) [-]
E_o	=	ແພົກເຕອຮ໌ສໍາຫັບແກ້ໄລຈາກຄວາມຮຶຂອງງວໂຄງຮ່າງ [-]
E_t	=	ສົມການເວລາ [ນາທີ]
I_{sc}	=	ຄ່າຄົງທີ່ສຸຮີຍະ [1366.1 W/m^2]
I_G	=	ຄວາມເຂັ້ມຮັງສີຮວມບັນພື້ນຮານ (global horizontal irradiance) [W/m^2]
$I_{G,\text{meas}}$	=	ຄວາມເຂັ້ມຮັງສີຮວມທີ່ໄດ້ຈາກການວັດ [W/m^2]
$I_{G,\text{model}}$	=	ຄວາມເຂັ້ມຮັງສີຮວມທີ່ຄໍານວານຈາກແບບຈຳລອງ [W/m^2]
H_o	=	ຮັງສີດວງອາທິຕິຍ໌ນອກບຽກາສໂລກຮາຍວັນບັນພື້ນຮານ [MJ/m^2]
h	=	ຄວາມສູງຈາກຮະດັບນ້ຳທະເລ [m]
I	=	ຄວາມເຂັ້ມຮັງສີດວງອາທິຕິຍ໌ [W/m^2]
I_{BN}	=	ຄວາມເຂັ້ມຮັງສີຕຽບນະຮະນາບຕັ້ງຈາກກັບລຳແສງອາທິຕິຍ໌ (direct normal irradiance) [W/m^2]
$I_{BN,\text{meas}}$	=	ຄ່າຄວາມເຂັ້ມຮັງສີຕຽບທີ່ໄດ້ຈາກການວັດ [W/m^2]
$I_{BN,\text{model}}$	=	ຄ່າຄວາມເຂັ້ມຮັງສີຕຽບທີ່ຄໍານວານຈາກແບບຈຳລອງ [W/m^2]
I_d	=	ຄວາມເຂັ້ມຮັງສີກະຈາຍບັນພື້ນຮານ (diffuse irradiance) [W/m^2]
I_o	=	ຮັງສີດວງອາທິຕິຍ໌ນອກບຽກາສໂລກບັນພື້ນຮານ [W/m^2]
I_{on}	=	ຮັງສີດວງອາທິຕິຍ໌ທີ່ຕົກຕັ້ງຈາກກັບຮະນາບຮັບຮັງສີນອກບຽກາສໂລກ [W/m^2]
I'_o	=	ຄ່າຄວາມເຂັ້ມຮັງສີດວງອາທິຕິຍ໌ນອກບຽກາສໂລກທີ່ພັດນາສໍາຫັບແບບຈຳລອງ Ineichen (2008) [W/m^2]
k_a	=	ຄ່າຄວາມລືກເຊີງແສງຂອງຜູ້ນລະອອງ (aerosol optical depth) [-]
$k_{a\lambda}$	=	ຄ່າຄວາມລືກເຊີງແສງຂອງຜູ້ນລະອອງທີ່ຄວາມຍາວຄລື່ນ λ [-]
$k_{a(380)}$	=	ຄ່າຄວາມລືກເຊີງແສງຂອງຜູ້ນລະອອງທີ່ຄວາມຍາວຄລື່ນ 380 nm [-]
$k_{a(500)}$	=	ຄ່າຄວາມລືກເຊີງແສງຂອງຜູ້ນລະອອງທີ່ຄວາມຍາວຄລື່ນ 500 nm [-]
$k_{a(675)}$	=	ຄ່າຄວາມລືກເຊີງແສງຂອງຜູ້ນລະອອງທີ່ຄວາມຍາວຄລື່ນ 675 nm [-]
L_{loc}	=	ເສັ້ນລອງຈິຈຸດຜູ້ສັງເກດ [ອງສາ]

L_s	= เส้นลองจิจูดมาตรฐาน [องศา]
LST	= เวลา มาตรฐานท้องถิ่น [ชม:นาที]
m_{act}	= มวลอากาศที่รังสีดวงอาทิตย์เดินผ่านจริง [-]
m_r, m_a	= relative optical air mass [-]
N	= จำนวนข้อมูล [-]
N_d	= ความยาวของวัน [ชั่วโมง]
P	= ความดันบรรยายกาศ [mbar]
P_o	= ความดันบรรยายกาศมาตรฐาน (1013.25 mbar)
r	= ระยะทางระหว่างโลกกับดวงอาทิตย์ [km]
r_o	= ระยะทางเฉลี่ยระหว่างโลกกับดวงอาทิตย์ (1.496×10^8 km)
S	= sensitivity ที่ได้จากเครื่องวัด [$V/W \cdot m^2$]
ST	= เวลาดวงอาทิตย์ [ชม:นาที]
s	= ทางเดินของรังสีดวงอาทิตย์จริง (geometrical path length) [km]
T_a	= ค่าสัมประสิทธิ์การส่งผ่านรังสีดวงอาทิตย์เนื่องจากการกระเจิงและคุณลักษณะของผู้คน [-]
T_{as}	= ค่าสัมประสิทธิ์การส่งผ่านรังสีดวงอาทิตย์เนื่องจากการกระเจิงของผู้คน [-]
T_{CO}	= ค่าสัมประสิทธิ์การส่งผ่านรังสีดวงอาทิตย์เนื่องจากการคุณลักษณะของก๊าซ CO [-]
T_{CO_2}	= ค่าสัมประสิทธิ์การส่งผ่านรังสีดวงอาทิตย์เนื่องจากการคุณลักษณะของก๊าซ CO ₂ [-]
T_g	= ค่าสัมประสิทธิ์การส่งผ่านรังสีดวงอาทิตย์เนื่องจากการกระเจิงและคุณลักษณะของก๊าซ [-]
T_L	= Link turbidity factor for air mass 2
T_{NO_2}	= ค่าสัมประสิทธิ์การส่งผ่านรังสีดวงอาทิตย์เนื่องจากการคุณลักษณะของก๊าซ NO ₂ [-]
T_{O_2}	= ค่าสัมประสิทธิ์การส่งผ่านรังสีดวงอาทิตย์เนื่องจากการคุณลักษณะของก๊าซ O ₂ [-]
T_o	= ค่าสัมประสิทธิ์การส่งผ่านรังสีดวงอาทิตย์เนื่องจากการคุณลักษณะของโอโซน [-]
T_r	= ค่าสัมประสิทธิ์การส่งผ่านรังสีดวงอาทิตย์เนื่องจากการกระเจิงของโมเลกุลอากาศ [-]
T_w	= ค่าสัมประสิทธิ์การส่งผ่านรังสีดวงอาทิตย์เนื่องจากการคุณลักษณะของไอน้ำ [-]
T_0, u และ v	= site specific parameter
U_{CH_4}	= ปริมาณ CH ₄
U_{CO}	= ปริมาณ CO
U_{NO_2}	= ปริมาณ NO ₂

U_{O_2}	=	ปริมาณ O_2
U_o	=	ozone relative optical path length [cm]
U_w	=	pressure corrected optical path length [cm]
V	=	ศักย์ไฟฟ้าที่ได้จากเครื่องวัด [V]
w	=	ปริมาณไอน้ำในบรรยากาศ [cm]
Γ	=	มุมวัน (day angle) [เรเดียน]
δ	=	เดคลินชั่น [องศา]
ω	=	มุมชั่วโมง [องศา]
ω_s	=	มุมชั่วโมงที่ดวงอาทิตย์ตก [องศา]
ψ	=	มุมอาชิมูช [องศา]
ϕ	=	ละติจูด [องศา]
θ	=	มุมตัดกราบทบกับลำแสงบนพื้นเมือง [องศา]
θ_z	=	มุมเซนิช [องศา]
ρ	=	ความหนาแน่นของอากาศ [kg/m^3]
β	=	สัมประสิทธิ์ความโปร่งใสบรรยากาศของยังสตรอม (Angstrom turbidity coefficient) [-]
β_s	=	มุมที่พื้นเมืองทำกับพื้นราบ [องศา]
α	=	เลขยกกำลังอังสตรอม (Angstrom wavelength exponent) [-]
α_s	=	มุมอัลติจูด [องศา], มุมเบยดวงอาทิตย์ (solar elevation angle) [องศา]
ℓ	=	ปริมาณโอโซน (total ozone column) [cm]
τ_B	=	ค่าความถูกเชิงแสงสำหรับแบบจำลอง Ineichen (2008) [-]
γ	=	มุมอาชิมูชของเงาของเส้นตั้งฉากกับพื้นเมือง [องศา]
$a_1, b_1, c_1, d_1, e_1, f_1, g_1$	=	สัมประสิทธิ์สำหรับแบบจำลองรังสีรวมบนพื้นราบที่สร้างขึ้น ในงานวิจัยนี้
$a_2, b_2, c_2, d_2, e_2, f_2, g_2$	=	สัมประสิทธิ์สำหรับแบบจำลองรังสีรวมบนระนาบตั้งฉาก กับลำแสงอาทิตย์ที่สร้างขึ้นในงานวิจัยนี้

บทที่ 1

บทนำ

1.1 ความเป็นมาและความสำคัญของปัญหา

ความเข้มรังสีดวงอาทิตย์ในสภาพท้องฟ้าปราศจากเมฆ มีความสำคัญในงานด้านพิสิกส์ บรรยายกาศและพลังงานแสงอาทิตย์ ทั้งนี้ เพราะเป็นค่าความเข้มรังสีดวงอาทิตย์สูงสุดที่ต่อกันระหว่าง พื้นผิวโลก โดยจะใช้เป็นค่าความเข้มรังสีดวงอาทิตย์อ้างอิง ความเข้มรังสีดวงอาทิตย์ในสภาพท้องฟ้าปราศจากเมฆจะประกอบด้วย 2 ส่วน ได้แก่ รังสีตรงและรังสีกระจาย โดยผลกระทบของรังสีที่ทั้งสองบนพื้นราบจะเรียกว่ารังสีรวม กรณีของรังสีรวมในสภาพท้องฟ้าปราศจากเมฆจะใช้เป็นรังสีอ้างอิงสำหรับหาสัมประสิทธิ์ความโปร่งใสของบรรยายกาศ(clearness index) ซึ่งใช้ในการคำนวณรังสีกระจายในสภาพท้องฟ้าทั่วไป นอกจากนี้ยังใช้ประกอบการคำนวณความเข้มรังสีดวงอาทิตย์จากภาพถ่ายดาวเทียม ในด้านของรังสีตรงในสภาพท้องฟ้าปราศจากเมฆสามารถคำนวณได้โดยใช้ความเข้มรังสีดวงอาทิตย์อ้างอิงเพื่อคำนวณความเข้มรังสีตรงจากภาพถ่ายดาวเทียม สำหรับรังสีกระจายในสภาพท้องฟ้าปราศจากเมฆสามารถคำนวณได้โดยใช้ในการศึกษาผลของผู้คนและองค์กรต่อรังสีดวงอาทิตย์ในบรรยายกาศ นอกเหนือจากการในด้านสถิติแล้วการศึกษาความเข้มรังสีดวงอาทิตย์ในสภาพท้องฟ้าปราศจากเมฆยังมีประโยชน์ในงานด้านวิศวกรรม โดยแบบจำลองค่าความเข้มรังสีดวงอาทิตย์มีความสำคัญมากเนื่องจากเป็นแบบจำลองที่ให้ค่าความเข้มรังสีดวงอาทิตย์สูงสุด ซึ่งไม่มีผลของเมฆเข้ามามากเกินข้อจำกัด และใช้สำหรับการประเมินประสิทธิภาพของระบบพลังงานแสงอาทิตย์ที่สามารถมีได้สูงสุด เพื่อการออกแบบระบบจักรกลให้เหมาะสมต่อการคำนวณนำไปใช้กับพื้นที่ต่างๆ เช่น ระบบทำความร้อนพลังงานแสงอาทิตย์ (solar heating) ระบบการผลิตไฟฟ้าจากพลังงานแสงอาทิตย์ (photovoltaic plants) และระบบปรับอากาศภายในอาคาร เป็นต้น

เนื่องจากปัจจุบันแบบจำลองสำหรับคำนวณความเข้มรังสีดวงอาทิตย์ในสภาพท้องฟ้าปราศจากเมฆมีหลายแบบจำลอง โดยแต่ละแบบจำลองสร้างมาจากข้อมูลที่แตกต่างกันและมีความเหมาะสมในการใช้งานที่ต่างกัน สำหรับกรณีประเทศไทยยังไม่มีแบบจำลองที่ใช้ในการคำนวณความเข้มรังสีดวงอาทิตย์ในสภาพท้องฟ้าปราศจากเมฆ ซึ่งสามารถใช้งานได้ทุกภูมิภาค

ของประเทศไทย ดังนั้นผู้วิจัยจึงเสนอที่จะพัฒนาแบบจำลองความเข้มรังสีคุวงอาทิตย์ดังกล่าวสำหรับประเทศไทย

1.2 วัตถุประสงค์

- (1) เพื่อพัฒนาแบบจำลองความเข้มรังสีคุวงอาทิตย์ในสภาพท้องฟ้าปราศจากเมฆสำหรับประเทศไทย
- (2) เพื่อทดสอบและเปรียบเทียบสมรรถนะของแบบจำลองที่พัฒนาขึ้น

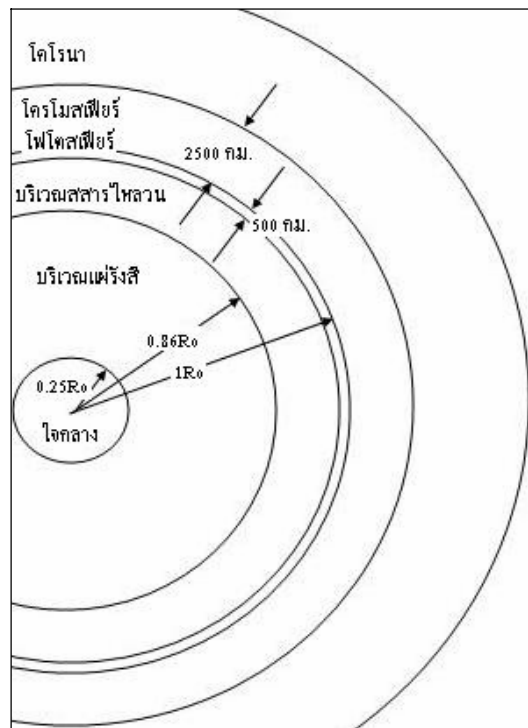
บทที่ 2

หลักทางวิชาการและงานวิจัยที่เกี่ยวข้อง

รังสีดวงอาทิตย์เป็นคลื่นแม่เหล็กไฟฟ้าที่แผ่จากดวงอาทิตย์โดยมีความยาวคลื่นค่าต่างๆ ตั้งแต่รังสีแกมมาจนถึงคลื่นวิทยุ รังสีดวงอาทิตย์มีอ่อนชันบรรยายกาศและผลกระทบพื้นผิวโลกในบริเวณต่างๆ นั้นจะมีปริมาณที่แตกต่างกัน รวมทั้งมีการเปลี่ยนแปลงไปตามเวลาในรอบวันและตามฤดูกาลในรอบปี การเปลี่ยนแปลงดังกล่าวเป็นผลมาจากการความสัมพันธ์ทางเรขาคณิตระหว่างโลกกับดวงอาทิตย์ และสภาวะทางอุตุนิยมวิทยาของบริเวณนั้นๆ ดังนั้นสำหรับในบทนี้จึงขอ拿来 เกี่ยวกับคุณสมบัติและธรรมชาติของรังสีดวงอาทิตย์เพื่อการนำรังสีดวงอาทิตย์มาใช้ประโยชน์อย่าง มีประสิทธิภาพ

2.1 แหล่งกำเนิดของรังสีดวงอาทิตย์

ดวงอาทิตย์เป็นดาวฤกษ์และเป็นศูนย์กลางของระบบสุริยะ (solar system) ซึ่งมีโลกและดาวเคราะห์อื่นๆ เป็นบริวาร มวลของดวงอาทิตย์มีค่าประมาณ 1.989×10^{30} กิโลกรัม หรือประมาณ 3 แสนเท่าของมวลของโลก มวลจำนวนมากนี้เกิดทั้งกันด้วยแรงโน้มถ่วง ทำให้บริเวณใจกลางมี ความดันสูงถึง 3.4×10^{16} ปาส卡ล และอุณหภูมิสูง 15×10^6 เคลวิน จนทำให้เกิดปฏิกิริยาเทอร์โม-นิวเคลียร์ขึ้น จากปฏิกิริยาดังกล่าว ไฮโดรเจนซึ่งเป็นองค์ประกอบส่วนใหญ่ของดวงอาทิตย์จะ หลอมรวมกันเป็นฮีเลียมและให้พลังงานออกมายังรูปของคลื่นแม่เหล็กไฟฟ้า ซึ่งมีความยาวคลื่น สั้นในช่วงของรังสีแกมมา คลื่นแม่เหล็กไฟฟ้านี้จะส่งผ่านออกมายังนอกผ่านมวลสารชั้นดัด ออกมายังมวลสารเหล่านี้จะดูดคลื่นแม่เหล็กไฟฟ้า แล้วเปล่งคลื่นแม่เหล็กไฟฟ้าซึ่งมีความยาว คลื่นยาวขึ้น เมื่อมาถึงผิวดาวคลื่นแม่เหล็กไฟฟ้าส่วนใหญ่จะมีความยาวคลื่นในช่วงแสงสว่างและ รังสีอินฟราเรด

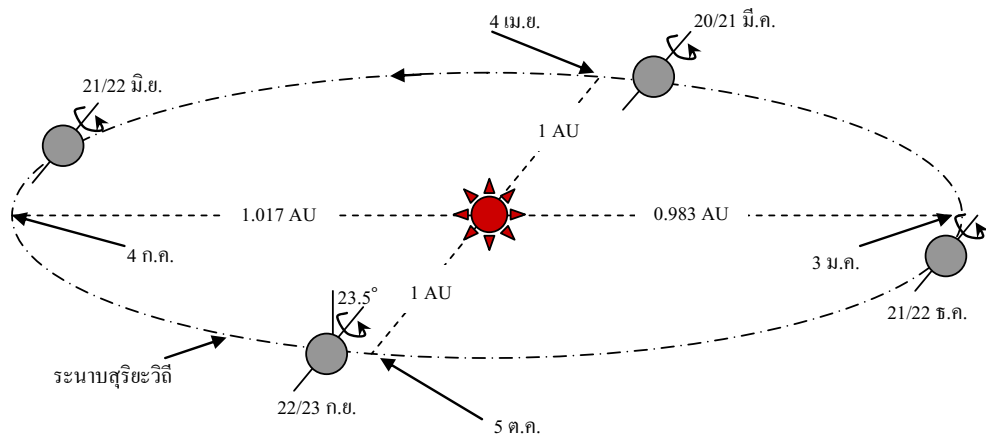


รูปที่ 2.1 โครงสร้างของดวงอาทิตย์

2.2 ความสัมพันธ์ทางเรขาคณิตระหว่างโลกกับดวงอาทิตย์

2.2.1 วงโคจรของโลกรอบดวงอาทิตย์

วงโคจรของโลกรอบดวงอาทิตย์มีลักษณะเป็นวงรี โดยมีความรี (eccentricity) เท่ากับ 0.016722 มีระยะกึ่งแกนหลัก (semi-major axis) 1.4968×10^8 กิโลเมตร โดยมีดวงอาทิตย์อยู่ที่จุดไฟกัสหนึ่งของวงรีดังกล่าว ดังแสดงในรูปที่ 2.2



รูปที่ 2.2 วงโคจรของโลกรอบดวงอาทิตย์

ระนาบของวงโคจรของโลกรอบดวงอาทิตย์เรียกว่า ระนาบสุริยะวิถี (ecliptic plane) แกนหมุนของโลกเอียงทำมุมกับเส้นตั้งฉากของระนาบสุริยะวิถี $23\frac{1}{2}$ องศา ดังนั้นระนาบศูนย์สูตร (equatorial plane) ของโลกจึงทำมุมกับระนาบสุริยะวิถี $23\frac{1}{2}$ องศาด้วย การที่แกนหมุนของโลกเอียงนี้ทำให้โลกหันซึ่กหนึ่งและซึ่กใต้เข้าหาดวงอาทิตย์มากน้อยต่างกันในขณะที่โลกรอบดวงอาทิตย์ โดยโลกจะหันซึ่กหนึ่งเข้าหาดวงอาทิตย์มากที่สุดในวันที่ 21 หรือ 22 มิถุนายน หรือโซลส์ติกส์ฤดูร้อน (summer solstice) ณ ตำแหน่งนี้กลางวันของซึ่กโลกหนึ่งจะยาวที่สุด โลกจะหันซึ่กใต้เข้าหาดวงอาทิตย์มากที่สุดในวันที่ 21 หรือ 22 ธันวาคม หรือโซลส์ติกส์ฤดูหนาว (winter solstice) ดังนั้นการเกิดฤดูกาลจึงเป็นผลมาจากการที่แกนหมุนของโลกเอียงทำมุมกับเส้นตั้งฉากของระนาบสุริยะวิถี

เนื่องจากวงโคจรของโลกรอบดวงอาทิตย์เป็นวงรี ระยะทางระหว่างโลกกับดวงอาทิตย์จะเปลี่ยนแปลงตลอดเวลา โดยมีระยะเฉลี่ยเท่ากับ 1.496×10^8 กิโลเมตร หรือ 1 หน่วยดาราศาสตร์ (astronomical unit, AU) โลกจะอยู่ที่ตำแหน่งใกล้ดวงอาทิตย์ที่สุด (perihelion) ที่ระยะห่าง 0.983 AU หรือในวันที่ 3 มกราคม และอยู่ที่ตำแหน่งไกลสุด (aphelion) ที่ระยะห่าง 1.017 AU ในวันที่ 4 กรกฎาคม ระยะทางระหว่างโลกกับดวงอาทิตย์มีผลต่อปริมาณพลังงานแสงอาทิตย์ที่ตกกระทบพื้นผิวโลก ระยะทางดังกล่าวจะแปรไปตามวันต่างๆ ในรอบปี ตามสมการต่อไปนี้ (Iqbal, 1983)

$$E_o = (r / r_o)^2 = 1.000110 + 0.034221 \cos \Gamma + 0.001280 \sin \Gamma + 0.000719 \cos 2\Gamma + 0.000077 \sin 2\Gamma \quad (2.1)$$

โดยที่

$$\Gamma = 2\pi(d_n - 1) / 365$$

เมื่อ

Γ คือ มุมวัน (day angle) [เรเดียน]

r คือ ระยะทางระหว่างโลกกับดวงอาทิตย์ [km]

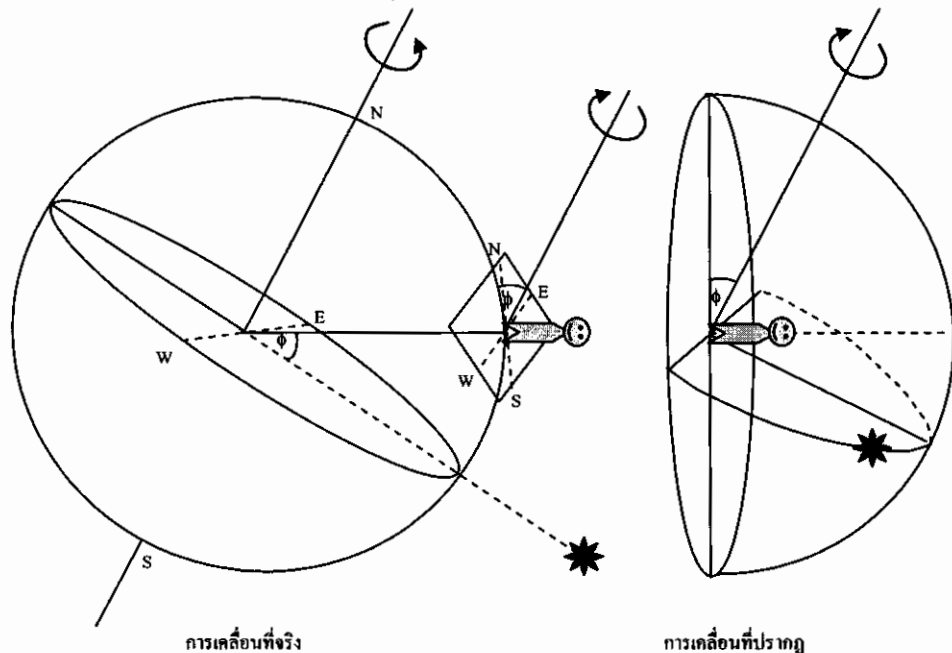
r_o คือ ระยะทางเฉลี่ยระหว่างโลกกับดวงอาทิตย์ [1.496×10^8 km]

d_n คือ ลำดับของวันในรอบปี ($d_n = 1$ สำหรับวันที่ 1 มกราคม) [-]

2.2.2 ทรงกลมห้องฟ้าและทางเดินปราภูของเทหัวตุ

ขณะที่โลกโครงการไปรอบดวงอาทิตย์จากทิศตะวันออกไปยังทิศตะวันตก โลกจะหมุนรอบตัวเองไปในทิศเดียวกันด้วย ถ้าสมมุติว่าเราอยู่ที่ผิวโลก ณ ตำแหน่งละติจูด φ และลองจิจูด λ ตัวเราก็จะเคลื่อนที่ไปพร้อมกับผิวโลก และถ้าไม่มีสิ่งกีดขวางเมื่อเรามองไปรอบๆ ตัวเราจะเห็นขอบ

ฟ้ากลม ทั้งนี้เพื่อระสាយตามเรามองได้ไกลสุดเท่ากันทุกทิศทุกทาง และถ้าแห่งนี่คือข้างบนเราก็จะเห็นท้องฟ้าໄດ້เป็นครึ่งทรงกลมครอบเรารอยู่ เพราะเรารับรู้แสงที่มาจากห้องฟ้าซึ่งเกิดจากการกระเจิงของบรรยายกาคณ์เข้าตาเราเท่ากันทุกทิศทาง



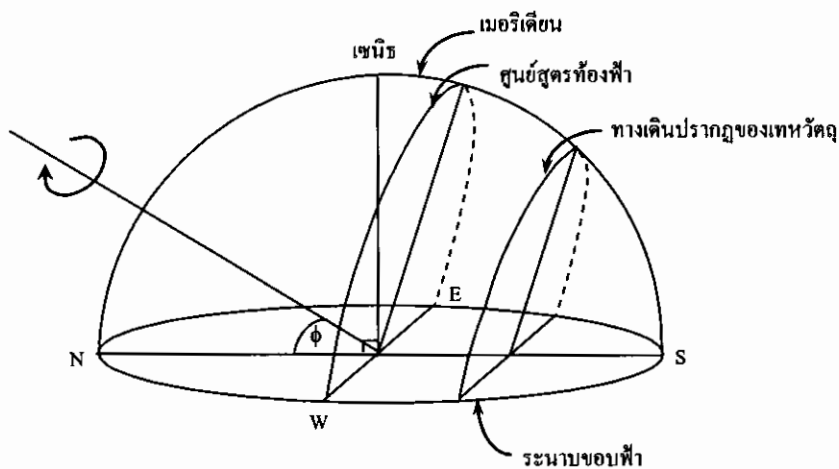
รูปที่ 2.3 โลกและท้องฟ้า

ดวงดาวต่างๆ ซึ่งอยู่ไกลมากจะถือว่าอยู่นิ่งกับที่เมื่อเทียบกับการเคลื่อนของโลก เราจะเคลื่อนที่ไปพร้อมกับการหมุนรอบตัวเองของโลกจากทิศตะวันตกไปตะวันออกผ่านดวงดาวต่างๆ แต่เนื่องจากพื้นผิวโลกกว้างใหญ่มากเมื่อเทียบกับขนาดของวัตถุต่างๆ บนโลก เราจึงมีความรู้สึกว่าพื้นผิวโลกอยู่นิ่งกับที่และดวงดาวต่างๆ เป็นฝ่ายเคลื่อนที่จากทิศตะวันออกไปทิศตะวันตกรอบแกนหมุนซึ่งวนกับแกนหมุนของโลก เรียกแกนหมุนนี้ว่าแกนหมุนห้องฟ้า ระยะทางของพื้นโลกที่เราอยู่เรียกว่า ระยะทางขอบฟ้า (horizontal plane) จากหลักเรขาคณิตสามารถพิสูจน์ได้ว่า แกนหมุนห้องฟ้าจะทำมุมกับระยะทางขอบฟ้าเท่ากับ latitude ที่เราอยู่ โดยทั่วไปสายตาของมนุษย์ไม่สามารถบอกราคาณ์แต่ละชั้นอยู่ห่างจากเราไม่เท่ากันได้ วัตถุที่สองอยู่ไกลเรามาก สายตาของเราจะสังเกตเห็นวัตถุเหล่านี้น้อยอยู่ห่างจากเราเท่ากันหมวดด้วยเหตุนี้เราจึงเห็นท้องฟ้ามีลักษณะเป็นครึ่งทรงกลมครอบเรารอยู่ โดยมีเทหวัตถุ (celestial object) เช่น ดาวฤกษ์ต่างๆ ยึดติดกับทรงกลมห้องฟ้าและเคลื่อนที่รอบแกนหมุนซึ่งวนกับแกนหมุนของโลกด้วยอัตราเดียวกับอัตราการหมุนของโลกรอบตัวเองคือ 1 รอบต่อวัน

ถ้าดาวฤกษ์ดวงหนึ่งอยู่ในระยะทางเดียวกับระยะทางศูนย์สูตรโลก ขณะที่โลกหมุนรอบตัวเอง คนที่อยู่บน ตำแหน่งศูนย์สูตรจะเห็นดาวดวงนี้เคลื่อนที่จากขอบฟ้าด้านตะวันออกไปยังขอบฟ้า

ตะวันตกในระบบที่ฐานกับระบบศูนย์สูตรโลก เรียกระบบทั้งกล่าวว่า ระบบศูนย์สูตรท้องฟ้า (celestial equator) ถึงแม้ว่าคนที่ไม่ได้อยู่ที่ศูนย์สูตรก็จะเห็นการเคลื่อนที่ของดาวดังกล่าว เช่นเดียวกับคนที่อยู่ที่ศูนย์สูตร ทั้งนี้ เพราะระบบทางบนโลกมีค่าน้อยมากเมื่อเทียบกับระบบทางจากโลกถึงดาวต่างๆ ระบบศูนย์สูตรท้องฟ้าจะอยู่ในแนวตะวันออกตะวันตกและตั้งฉากกับแกนหมุนของทรงกลมท้องฟ้า เช่นเดียวกับในกรณีของแกนหมุนของโลกซึ่งตั้งฉากกับระบบศูนย์สูตรของโลก

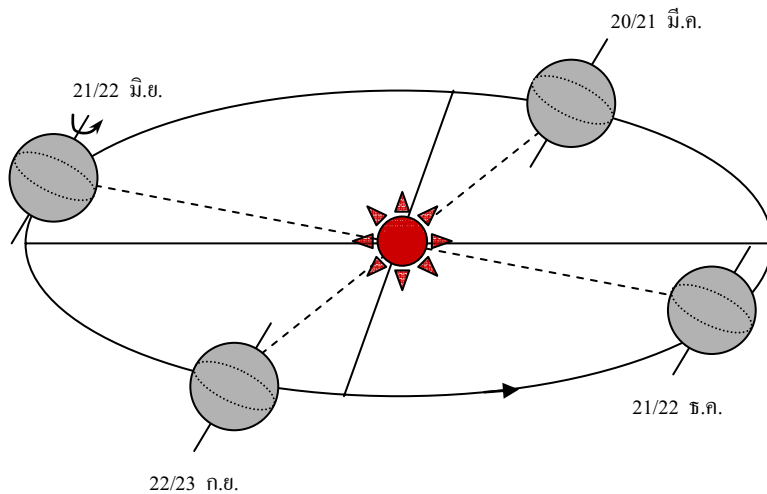
สำหรับดาวอื่นที่มีไคดี้ญี่ในระบบเดียวกันกับระบบศูนย์สูตรของโลกก็จะมีการเคลื่อนที่ติดไปกับทรงกลมห้องฟ้าในระบบที่บานกับระบบศูนย์สูตรห้องฟ้าด้วยอัตราเดียวกันกับอัตราการหมุนของโลก ห้องฟ้าที่ปรากฏต่อผู้สังเกตทั่วไปจะมีลักษณะดังรูปที่ 2.4



รูปที่ 2.4 ลักษณะของห้องพัก

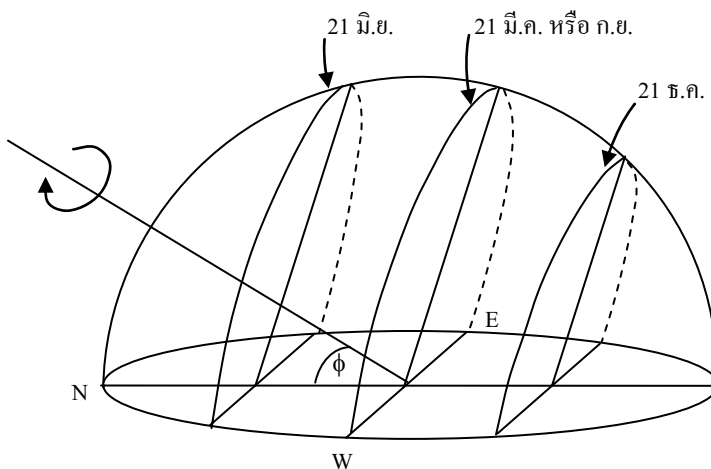
2.2.3 ทางเดินปราภูของดวงอาทิตย์

โดยทั่วไปตำแหน่งของความถูกย่อสูงที่เมื่อเทียบกับระนาบศูนย์สูตรของโลก ทั้งนี้ เพราะความถูกย่อสูงจากโลกมากจนไม่สามารถสังเกตการเคลื่อนที่ได้ในช่วงเวลาสั้นๆ ดังนั้นเรา จึงเห็นความถูกย่อสูงในระนาบเดิมซึ่งนานกับระนาบศูนย์สูตรห้องฟ้า แต่กรณีของความเคราะห์และ ความอาทิตย์จะมีการเปลี่ยนระนาบการเคลื่อนที่บนห้องฟ้าไปตามเวลาในรอบปี ทั้งนี้ เพราะเทหเวตถุ เหล่านี้อยู่ใกล้โลก และมีตำแหน่งเปลี่ยนแปลงไปตลอดเวลาเมื่อเทียบกับระนาบศูนย์สูตรของโลก ในกรณีของความอาทิตย์สามารถแสดงให้เห็นได้ดังรูปที่ 2.5



รูปที่ 2.5 ตำแหน่งของดวงอาทิตย์เมื่อเทียบกับสุนย์สูตรโลก

จากรูปที่ 2.5 จะเห็นว่าในวันที่ 20 หรือ 21 มีนาคม และ 22 หรือ 23 กันยายน ดวงอาทิตย์จะอยู่ในระนาบเดียวกับระนาบอิเควเตอร์โลก สำหรับในวันที่ 21 หรือ 22 มิถุนายน ดวงอาทิตย์จะอยู่เหนือระนาบอิเควเตอร์มากที่สุด และวันที่ 21 หรือ 22 ธันวาคม จะอยู่ใต้ระนาบอิเควเตอร์มากที่สุด ดังนั้นระนาบทางเดินของดวงอาทิตย์บนท้องฟ้าจึงเปลี่ยนแปลงไปตามเวลา บางครั้งอยู่ด้านหนึ่ง และบางครั้งอยู่ด้านติดของระนาบอิเควเตอร์ท้องฟ้า เนื่องจากระนาบอิเควเตอร์ของโลกทำมุมกับระนาบสุริยะวิถี $23\frac{1}{2}$ องศา ดังนั้นทางเดินปรากฏของดวงอาทิตย์จึงสามารถอยู่ห่างจากอิเควเตอร์ได้มากที่สุด $23\frac{1}{2}$ องศา ลักษณะทางเดินปรากฏของดวงอาทิตย์บนท้องฟ้าแสดงได้ตามรูปที่ 2.6



รูปที่ 2.6 ทางเดินปรากฏของดวงอาทิตย์บนท้องฟ้า

จากกฎประจำที่ว่า ช่วงระยะเวลาที่ดวงอาทิตย์อยู่เหนือขอบฟ้า หรือความยาวของกลางวันจะเปลี่ยนแปลงไปตามเวลาในรอบปี และขึ้นกับตำแหน่งเส้นรูงของผู้สังเกต โดยที่ในช่วงฤดูร้อนดวงอาทิตย์จะอยู่ทางเหนือขอบฟ้าและมีกลางวันยาวกว่าในช่วงฤดูหนาวซึ่งดวงอาทิตย์อยู่ทางใต้ของศูนย์สูตรท้องฟ้า

2.2.4 การบอกตำแหน่งของดวงอาทิตย์

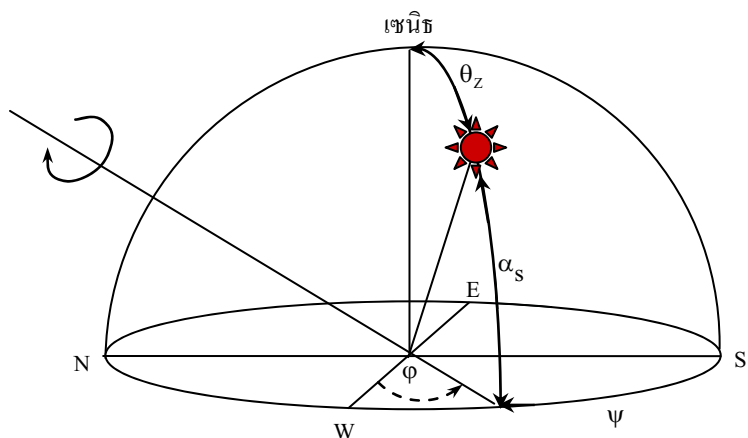
ในการบอกตำแหน่งของดวงอาทิตย์ อาจบอกด้วยมุมหรือบนอกด้วยส่วนโค้งของทรงกลมท้องฟ้า (celestial sphere) ที่รองรับมุมดังกล่าวก็ได้ ในงานด้านพลังงานแสงอาทิตย์มีการบอกตำแหน่งของดวงอาทิตย์ 2 ระบบดังนี้

1) ระบบอาซิมูธ-อัลติจูด (azimuth-altitude system) ระบบนี้ใช้มุม 2 มุม (ตามรูปที่ 2.7) เป็นตัวบอกตำแหน่งได้แก่

ก. มุมอาซิมูธ (azimuth, Ψ) เป็นมุมที่วัดจากแนวทิศใต้ไปยังเงา (projection) บนระนาบขอบฟ้าของเส้นตรงซึ่งเชื่อมระหว่างผู้สังเกตกับดวงอาทิตย์ โดยกำหนดว่าถ้าเงาดังกล่าวอยู่ด้านตะวันออก มุมอาซิมูธมีค่าเป็นบวกและทางตะวันตกมีค่าเป็นลบ ดังนั้น $-180 < \Psi < 180$ องศา

ข. มุมอัลติจูด (altitude, α_s) เป็นมุมเฉียง ตำแหน่งผู้สังเกตของเส้นตรงซึ่งเชื่อมระหว่างดวงอาทิตย์กับผู้สังเกต จะมีค่าจาก 0 ถึง 90 องศา สำหรับมุมที่อยู่ระหว่างผู้สังเกตกับดวงอาทิตย์เรียกว่า มุมเซนิธ (zenith angle, θ_z) ซึ่งสามารถใช้บอกตำแหน่งดวงอาทิตย์ได้เช่นกัน โดยที่ $\theta_z = 90 - \alpha_s$

การบอกตำแหน่งโดยใช้ระบบอาซิมูธ-อัลติจูด มีข้อดีคือ เข้าใจได้ง่าย แต่ก็มีข้อด้อยคือ ค่าอาซิมูธและอัลติจูดจะเปลี่ยนแปลงไปทุกขณะตั้งแต่ดวงอาทิตย์ขึ้นจนดวงอาทิตย์ตก และเปลี่ยนแปลงไปตามวันในรอบปีด้วย



รูปที่ 2.7 การบอกตำแหน่งของดวงอาทิตย์โดยใช้ระบบอาซิมูธ-อัลติจูด

2) ระบบศูนย์สูตร (equatorial system) ระบบนี้ใช้มุนหรือส่วนโค้งของทรงกลมท้องฟ้าตามรูปที่ 2.8 เป็นตัวบอกตำแหน่งดังนี้

ก. เดคลินชัน (declination, δ) เป็นส่วนโค้งของวงกลมใหญ่ (great circle) ที่ผ่านขั้วทั้งสองของทรงกลมท้องฟ้าระหว่างเส้นศูนย์สูตรท้องฟ้ากับทางเดินของดวงอาทิตย์ตามรูปที่ 2.8 มีค่าอยู่ระหว่าง $-23\frac{1}{2} < \delta < 23\frac{1}{2}$ องศา ถือว่ามีค่าคงที่ในแต่ละวันและมีค่าเปลี่ยนแปลงไปตามวันในรอบปี การเปลี่ยนแปลงนี้เรียกเป็นสูตรได้ดังนี้

$$\begin{aligned}\delta = & (0.006918 - 0.399912 \cos \Gamma + 0.070257 \sin \Gamma \\ & - 0.006758 \cos 2\Gamma + 0.000907 \sin 2\Gamma \\ & - 0.002697 \cos 3\Gamma + 0.00148 \sin 3\Gamma)(180 / \pi)\end{aligned}\quad (2.2)$$

โดยที่

$$\Gamma = 2\pi(d_n - 1) / 365$$

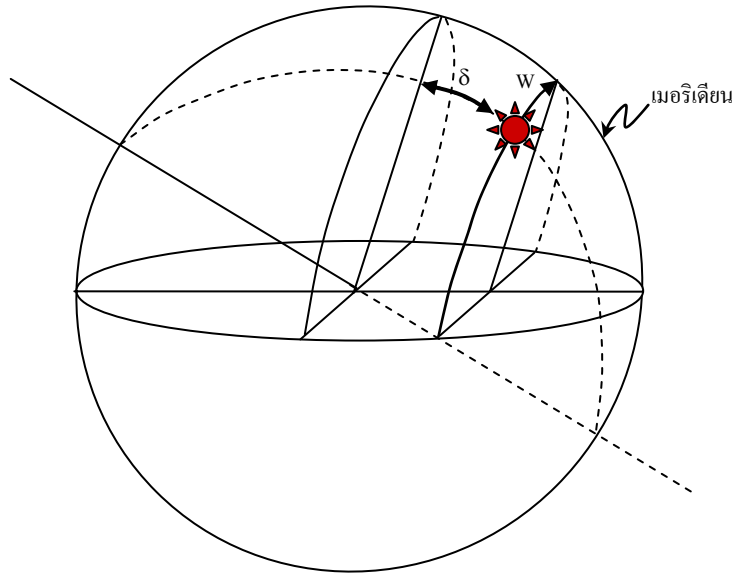
เมื่อ

Γ คือ นุ่ววัน (day angle) [เรเดียน]

δ คือ เดคลินชัน [องศา]

d_n คือ ลำดับวันในรอบปี ($d_n = 1$ สำหรับวันที่ 1 มกราคม) [-]

ข. มุนชั่วโมง (hour angle, ω) เป็นมุนที่ขั้วของทรงกลมท้องฟ้า (celestial pole) หรือส่วนโค้งของทรงกลมท้องฟ้าระหว่างเส้นเมอริเดียน (meridian) ของผู้สังเกตกับวงกลมใหญ่ที่ลากผ่านดวงอาทิตย์และขั้วทั้งสองของทรงกลมท้องฟ้า มีค่าเป็นบวกเมื่อดวงอาทิตย์อยู่ทางตะวันออกของเมอริเดียน และเป็นลบเมื่ออยู่ทางตะวันตกของเมอริเดียน



รูปที่ 2.8 การนออกตำแหน่งของดวงอาทิตย์โดยใช้ระบบศูนย์สูตร

ตำแหน่งของดวงอาทิตย์ทั้ง 2 ระบบมีความสัมพันธ์กันตามสมการต่อไปนี้

$$\sin \alpha_s = \sin \delta \sin \phi + \cos \delta \cos \phi \cos \omega \quad (2.3)$$

$$\cos \psi = \frac{\sin \alpha_s \sin \phi - \sin \delta}{\cos \alpha \cos \phi} \quad (2.4)$$

เมื่อ

α_s คือ มุมอัลติจูด [องศา]

ψ คือ มุมอาเซนชู [องศา]

ω คือ มุมชั่วโมง [องศา]

ϕ คือ ละติจูด [องศา]

δ คือ เดклиเนชัน [องศา]

จากความสัมพันธ์ในสมการ (2.3) และ (2.4) เราสามารถคำนวณามุมชั่วโมงที่ดวงอาทิตย์ขึ้น (ω_s) และความยาวของกลางวันได้ กล่าวคือ ขณะที่ดวงอาทิตย์ขึ้น $\alpha = 0$ จะได้ว่า

$$\cos \omega_s = (-\sin \delta \sin \phi) / (\cos \delta \cos \phi) \quad (2.5)$$

หรือ $\omega_s = \cos^{-1}(-\tan \delta \tan \phi)$ (2.6)

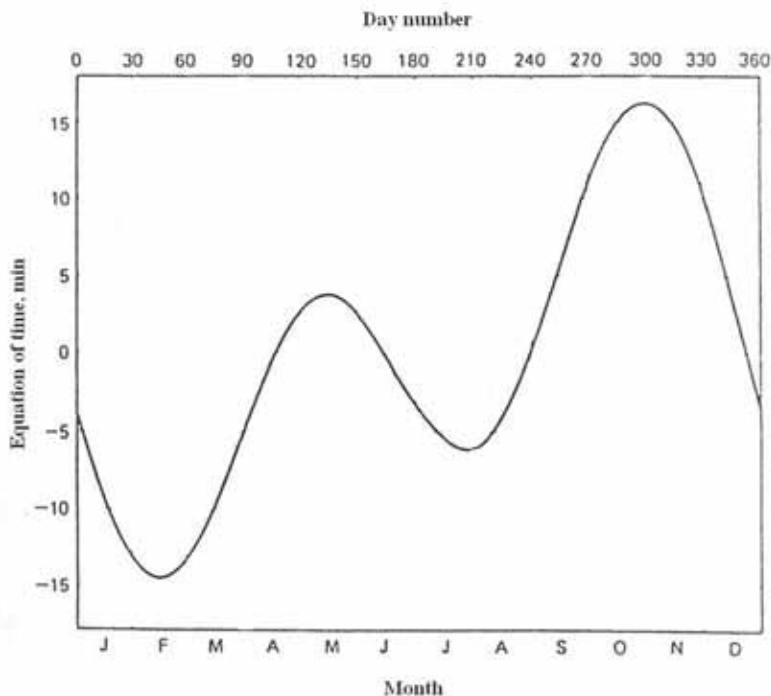
สำหรับมุมชั่วโมงที่ดวงอาทิตย์ตก จะเท่ากับมุมชั่วโมงที่ดวงอาทิตย์ขึ้น แต่เครื่องหมายตรงกันข้าม ดังนั้นความยาวของวัน N_d จึงเท่ากับ $2\omega_s$ หรือเขียนในหน่วยของชั่วโมงได้ดังนี้

$$N_d = \frac{2}{15} |\cos^{-1}(\tan \delta \tan \phi)| \quad (2.7)$$

2.2.5 เวลาและตำแหน่งของดวงอาทิตย์

ตามกฎการเคลื่อนที่ของดาวเคราะห์ของเคปเลอร์ (Kepler) ดาวเคราะห์ต่างๆ รวมถึงโลกจะโคจรรอบดวงอาทิตย์เป็นวงรี โดยขณะที่โลกโคจรรอบดวงอาทิตย์ เส้นตรงที่เชื่อมระหว่างโลกกับดวงอาทิตย์จะ瓜ดพื้นที่ให้เท่ากัน ถ้าช่วงเวลาที่ใช้ในการเคลื่อนที่เท่ากัน ดังนั้นความเร็วในการเคลื่อนที่ของโลกรอบดวงอาทิตย์ ณ ตำแหน่งต่างๆ บนวงโคจรจึงมีค่าไม่เท่ากัน ทำให้ช่วงเวลาที่ผ่านไปต้องนานขึ้น โลกเห็นดวงอาทิตย์คงศีรษะ 2 ครั้งติดต่อกัน หรือ 1 วัน มีความยาวไม่เท่ากัน การใช้เวลาที่อาศัยดวงอาทิตย์เป็นหลักหรือเวลาดวงอาทิตย์ (solar time) จึงไม่สะดวกในการเปรียบเทียบเหตุการณ์ต่างๆ ในการแก้ปัญหาดังกล่าว จึงได้มีการกำหนดเวลาที่สม่ำเสมอขึ้น โดยการนำเวลาดวงอาทิตย์ในวันที่ 1 มกราคม ปี ก.ศ. 1900 มาแบ่งเป็น 86,400 ส่วน เรียก 1 ส่วนว่า 1 วินาที เรียกเวลาที่ว่าเวลาดวงอาทิตย์เฉลี่ย (solar mean time) ซึ่งสามารถวัดได้ด้วยความถี่ธรรมชาติที่คงที่ต่างๆ เช่น ลูกศูนนาฬิกา หรือความถี่ของการสั่นของอะตอมของธาตุบางชนิดและกำหนดว่า เวลาดวงอาทิตย์เฉลี่ย ณ เมืองกรีนิช (Greenwich) ประเทศอังกฤษเป็นเวลาสากล (universal time) หรือเวลากรีนิช (Greenwich mean time, GMT) ในประเทศไทยต่างๆ จะแบ่งเวลาออกเป็นเขตๆ เทียบกับเวลากรีนิช ในแต่ละเขตจะมีเส้นลองจิจุดมาตรฐาน (standard longitude, L_s) และในเขตนั้นๆ จะใช้เวลาเดียวกัน เส้นลองจิจุดนี้จะห่างจากกรีนิชเป็นจำนวนเท่าของ 15 องศา เช่น เส้นลองจิจุดมาตรฐานของประเทศไทยเท่ากับ 105 องศา (15×7) นั่นคือเวลาของประเทศไทยจะเร็วกว่าเวลากรีนิช 7 ชั่วโมง เวลาในแต่ละเขตนี้มีชื่อเรียกโดยทั่วไปว่า เวลามาตรฐานท้องถิ่น (local standard time, LST) เป็นเวลาที่อ่านได้จากนาฬิกา (clock time) และใช้ในชีวิตประจำวันนั่นเอง สำหรับประเทศไทยที่มีขนาดใหญ่ เช่น สาธารณรัฐอเมริกาจะแบ่งเขตการใช้เวลาตามมาตรฐานท้องถิ่นออกเป็นหลายเขต เพื่อให้สอดคล้องกับสภาพที่เป็นจริงของกลางวันและกลางคืนของท้องถิ่นนั้นๆ

เวลาดวงอาทิตย์และเวลาดวงอาทิตย์เฉลี่ยมีความแตกต่างกันตามวันในรอบปี ซึ่งสามารถหาความแตกต่างๆ ได้จากสมการเวลา (equation of time) หรือแสดงได้ดังกราฟในรูปที่ 2.9



รูปที่ 2.9 การประค่าในรอบปีของความแตกต่างระหว่างเวลาดวงอาทิตย์กับเวลาดวงอาทิตย์เฉลี่ย (E_t) (Iqbal, 1983)

สมการเวลาสามารถเขียนได้ดังนี้

$$E_t = 229.18(0.000075 + 0.001868 \cos \Gamma - 0.032077 \sin \Gamma - 0.014615 \cos 2\Gamma - 0.04089 \sin 2\Gamma) \quad (2.8)$$

โดยที่

$$\Gamma = 2\pi(d_n - 1)/365$$

เมื่อ

E_t คือ สมการเวลา [นาที]

Γ คือ บุนวัน (day angle) [เรเดียน]

เวลาดวงอาทิตย์จะมีความสัมพันธ์โดยตรงกับตำแหน่งของดวงอาทิตย์ กล่าวคือ เมื่อ 12.00 น. ตามเวลาดวงอาทิตย์ ค่า $\gamma = 0^\circ$ ถ้าเวลาดวงอาทิตย์เป็น 11.00 น. $\gamma = 15^\circ$ เวลาดวงอาทิตย์นี้สามารถคำนวณหาได้จากเวลามาตรฐานท่องถิน สมการเวลา ผลต่างระหว่างตำแหน่งเส้นลองจิจุดมาตรฐาน และเส้นลองจิจุดของผู้สังเกต หรือเขียนเป็นรูปสมการ ได้ดังนี้

$$ST = LST + 4(L_s - L_{loc}) \quad (2.9)$$

เมื่อ

ST คือ เวลาดวงอาทิตย์ [ชม.:นาที]

LST คือ เวลามาตรฐานท้องถิ่น [ชม.:นาที]

L_s คือ เส้นลองจิจุดมาตรฐาน [องศา]

L_{loc} คือ เส้นลองจิจุดของผู้สังเกต [องศา]

E_t คือ สมการเวลา [นาที]

ค่าของ $4(L_s - L_{loc})$ มีหน่วยเป็นนาที และค่าของ L_s และ L_{loc} เป็นลบ เมื่ออญูทางตะวันออกของกรีนิช และเป็นบวก เมื่ออญูทางตะวันตกของกรีนิช

ความสัมพันธ์ระหว่างมุมชี้วโนดของดวงอาทิตย์กับเวลาดวงอาทิตย์ เปลี่ยนเป็นสูตรได้ดังนี้

$$\omega = 15(12 - ST) \quad (2.10)$$

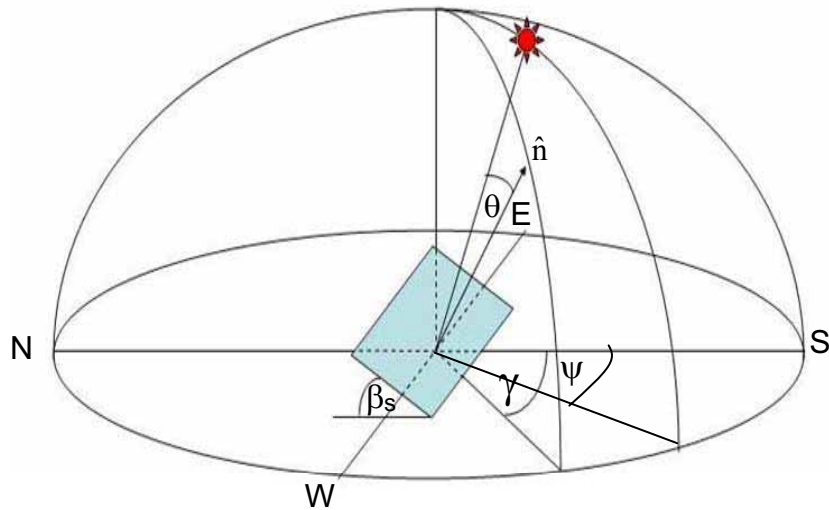
เมื่อ

ω คือ มุมชี้วโนด [องศา]

ST คือ เวลาดวงอาทิตย์ [ชม.]

2.2.6 มุมตកกระบทบองคำแสงอาทิตย์บนพื้นเอียง

ในการคำนวณปริมาณพลังงานแสงอาทิตย์ที่ตกลงบนพื้นเอียง เราจำเป็นต้องทราบมุมระหว่างคำแสงอาทิตย์กับเส้นตั้งฉากของพื้นเอียงนั้น หรือมุมตកกระบทบอง (θ) กับระนาบขอบฟ้า และมีค่าอาซิมูซของเงาของเส้นตั้งฉาก ดังที่แสดงไว้ในรูปที่ 2.10 พื้นเอียงโดยทั่วไปจะหมายถึงระนาบที่ทำมุม β กับระนาบขอบฟ้า (horizontal plane) และเงาของเส้นตั้งฉากของพื้นเอียงมีค่ามุมอาซิมูซ γ



รูปที่ 2.10 มุมตักระบบทองคำแสงอาทิตย์บนพื้นอุบัติ

มุมตักระบบทองคำแสงอาทิตย์บนพื้นอุบัติ ดังกล่าว สามารถหาได้จากสมการ
ต่อไปนี้

$$\begin{aligned} \cos\theta = & \sin\delta\cos\beta_s - \cos\phi\sin\beta_s\cos\gamma \\ & + \cos\delta\cos\omega(\cos\phi\cos\beta_s + \sin\phi\sin\beta_s\cos\gamma) \\ & + \cos\delta\sin\beta_s\sin\gamma\sin\omega \end{aligned} \quad (2.11)$$

เมื่อ

- θ คือ มุมตักระบบทองคำแสงบนพื้นอุบัติ [องศา]
- δ คือ มุมเดклиเนชันของดวงอาทิตย์ [องศา]
- ω คือ มุมชั่วโมงของดวงอาทิตย์ [องศา]
- β_s คือ มุมที่พื้นอุบัติทำกับพื้นราบ [องศา]
- γ คือ มุมอาชีนุชของเงาของเส้นดึงจากกับพื้นอุบัติ [องศา]
- φ คือ ละติจูด [องศา]

หรือ $\cos\theta = \cos\beta_s\cos\theta_z + \sin\beta_s\sin\theta_z\cos(\psi - \gamma) \quad (2.12)$

กรณีที่พื้นอุบัติหันหน้าไปทางทิศใต้ มุมตักระบทจะสามารถเขียนได้ดังนี้

$$\cos\theta = \sin\delta\sin(\phi - \beta_s) + \cos\delta\cos(\phi - \beta_s)\cos\omega \quad (2.13)$$

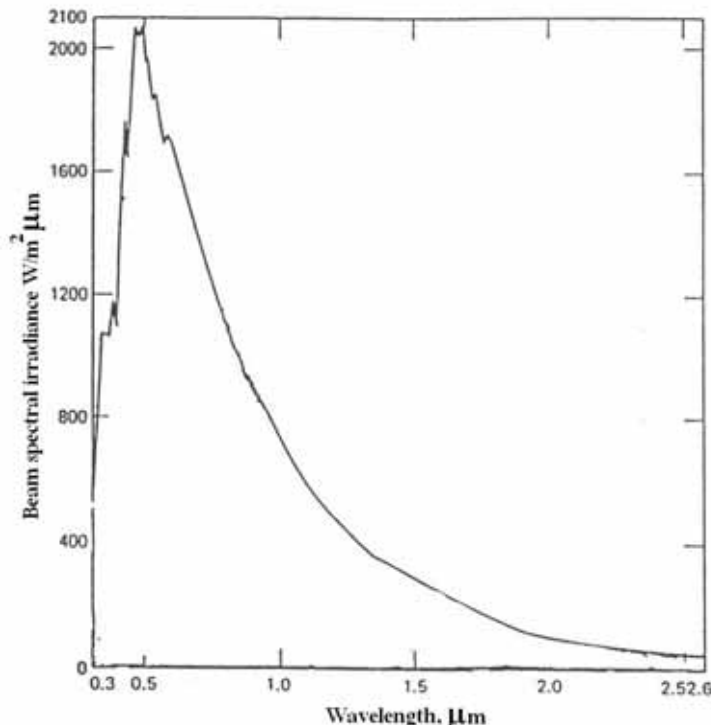
และมุมชั่วโมงที่ดวงอาทิตย์ขึ้นเมื่อเทียบกับพื้นอุบล (ω_s) หากได้จากสูตร

$$\omega_s = \min\left\{\cos^{-1}(-\tan \delta \tan \phi), \cos^{-1}(-\tan \delta \tan(\phi - \beta_s))\right\} \quad (2.14)$$

2.3 รังสีดวงอาทิตย์นอกบรรยากาศโลก

2.3.1 สเปกตรัมของรังสีดวงอาทิตย์นอกบรรยากาศโลก

ความรู้เรื่องสเปกตรัมของรังสีดวงอาทิตย์นอกบรรยากาศโลก มีความสำคัญต่อการออกแบบอุปกรณ์ต่างๆ ที่ใช้ในอวกาศ เช่น เซลล์สุริยะของดาวเทียมและยานอวกาศ เป็นต้น นอกจากนี้ยังใช้เป็นพื้นฐานการคำนวณหาสเปกตรัมของรังสีดวงอาทิตย์ที่พื้นโลกด้วย จากการใช้วิธีการคำนวณทางทฤษฎีประกอบกับข้อมูลการวัดภาคพื้นดินและการวัดระดับสูง จะได้สเปกตรัมของรังสีดวงอาทิตย์นอกบรรยากาศโลก ตามรูปที่ 2.11



รูปที่ 2.11 สเปกตรัมของรังสีดวงอาทิตย์นอกบรรยากาศโลก (Iqbal, 1983)

2.3.2 ค่าคงที่สุริยะ (solar constant)

ค่าคงที่สุริยะ คือ พลังงานแสงอาทิตย์ทุกความยาวคลื่นที่ตกกระทบตั้งฉากบนพื้นที่ 1 หน่วยต่อ 1 หน่วยเวลา ณ ตำแหน่งห่างจากดวงอาทิตย์ 1 AU นอกบรรยากาศโลก ค่าดังกล่าวมีความสำคัญและจำเป็นต้องใช้ในการคำนวณค่าพลังงานแสงอาทิตย์ที่ตกกระทบบนพื้นโลก จากการ

วัดภาคพื้นดินและการวัดโดยอาศัยอลูมและเครื่องบินในระดับสูง พบว่าค่าคงที่สุริยะ (I_o) มีค่าเท่ากับ $1,353 \text{ W/m}^2$ ภายหลังได้มีการวัดและแก้ไขความคลาดเคลื่อนต่างๆ เพิ่มเติม ได้ค่าคงที่สุริยะเท่ากับ $1,367 \text{ W/m}^2$ จากนั้นในปี 1999 ASTM (American Society for Testing and Materials) ได้พัฒนาค่าคงกล่าวขึ้น ได้ค่าคงที่สุริยะเท่ากับ $1,366.1 \text{ W/m}^2$ (ASTM E-490)

2.3.3 รังสีดวงอาทิตย์นอกบรรยายกาศโลกบนพื้นราบ

ก. รังสีดวงอาทิตย์นอกบรรยายกาศโลกรายชั่วโมง

รังสีดวงอาทิตย์เฉพาะขณะ (irradiance) หรือรังสีที่ตกกระทบตั้งฉากกับระนาบรับรังสีในขณะเวลาหนึ่งนอกบรรยายกาศโลกสามารถคำนวณหาได้จากสมการ

$$I_{on} = I_{sc} \left(r_o / r \right)^2$$

หรือ $I_{on} = I_{sc} E_o \quad (2.15)$

เมื่อ

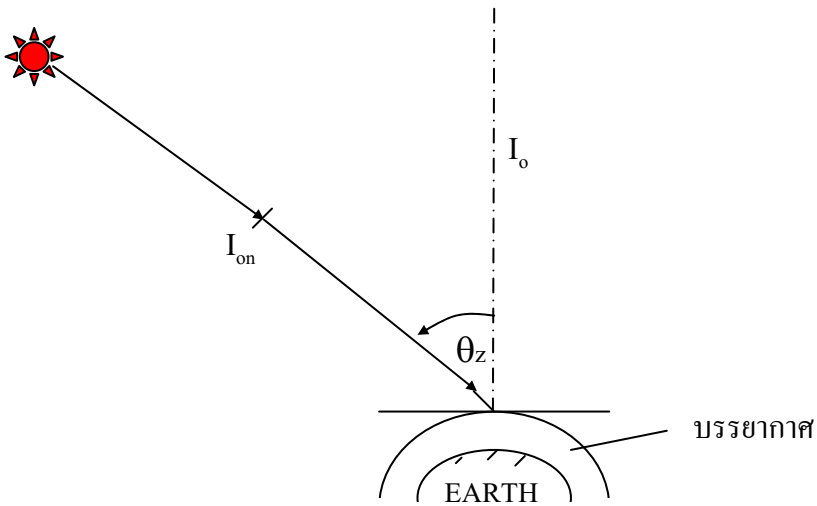
I_{on} คือ รังสีดวงอาทิตย์เฉพาะขณะซึ่งตกตั้งฉากกับระนาบรับรังสีนอกบรรยายกาศโลก [W/m^2]

I_{sc} คือ ค่าคงที่สุริยะ [$1,366.1 \text{ W/m}^2$]

r_o คือ ระยะเฉลี่ยระหว่างโลกกับดวงอาทิตย์ [$1.496 \times 10^8 \text{ km}$]

r คือ ระยะทางระหว่างโลกกับดวงอาทิตย์ [km]

E_o คือ แฟกเตอร์สำหรับแก้ผลจากความรีของวงโคจร [-]



รูปที่ 2.12 แสดงรังสีเฉพาะขณะในระนาบตั้งฉากกับทิศของรังสีและระนาบของพื้นราบ

จากความสัมพันธ์ระหว่างรังสีเฉพาะขณะในระนาบตั้งฉากกับทิศของรังสี (I_{on}) กับในระนาบของพื้นราบ (I_o) ตามรูปที่ 2.12 เราสามารถเขียนเป็นสมการได้ดังนี้

$$I_o = I_{on} \cos \theta_z \quad (2.16)$$

แต่ $\cos \theta_z = \sin \delta \sin \phi + \cos \delta \cos \phi \cos \omega$ (2.17)

ดังนั้น $I_o = I_{sc} E_0 (\sin \delta \sin \phi + \cos \delta \cos \phi \cos \omega)$ (2.18)

ค่า I_o ในสมการ (2.18) เป็นค่ารังสีคงอาทิตย์เฉพาะขณะ ถ้าต้องการทราบพลังงานของรังสีในช่วงเวลาหนึ่ง จะเขียนสมการ (2.16) ได้ดังนี้

$$dI_o = 3600 I_{sc} E_o \cos \theta_z dt \quad (2.19)$$

โดยที่ I_{sc} เป็นค่าคงที่สูริยะในหน่วย W/m^2 และ dt มีหน่วยเป็นชั่วโมง

จาก $\frac{d\omega}{dt} = \frac{2\pi}{24} \text{ rad/h}$

$$dt = \left(\frac{12}{\pi}\right)d\omega \quad (2.20)$$

แทน dt จากสมการ (2.20) ลงในสมการ (2.19) จะได้

$$dI_o = (12/\pi)3600I_{sc}E_0(\sin \delta \sin \phi + \cos \delta \cos \phi \cos \omega) \quad (2.21)$$

อินทิเกรต dI_{ex} ในช่วงเวลา 1 ชั่วโมง จะได้

$$I_o = (12/\pi)3600I_{sc}E_0 \int (\sin \delta \sin \phi + \cos \delta \cos \phi \cos \omega)d\omega \quad (2.22)$$

เมื่อ ω_i เป็นมุมชั่วโมงของกึ่งกลางชั่วโมงที่พิจารณา

$$\text{หรือ } I_o = 3600I_{sc}E_0(\sin \delta \sin \phi + (24/\pi)\sin(\pi/24)\cos \delta \cos \phi \cos \omega_i) \quad (2.23)$$

แต่เนื่องจาก $(24/\pi) \sin(\pi/24) = 0.9972$ หรือประมาณเท่ากับ 1 ดังนั้น

$$I_o = 3600I_{sc}E_0(\sin \delta \sin \phi + \cos \delta \cos \phi \cos \omega_i) \quad (2.24)$$

ข. รังสีดวงอาทิตย์นอกบรรยายกาศโลกรายวัน

ค่ารังสีดวงอาทิตย์นอกบรรยายกาศโลกรายวันบนพื้นราบ (H_o) หากจากการอินทิเกรตค่าความเข้มรังสีดวงอาทิตย์รายชั่วโมง

$$H_o = (24/\pi)3600I_{sc}E_0 \int (\sin \delta \sin \phi + \cos \delta \cos \phi \cos \omega_i)d\omega \quad (2.25)$$

$$\text{หรือ } H_o = (24/\pi)3600I_{sc}E_0[(\pi/180)\omega_s(\sin \delta \sin \phi + \cos \delta \cos \phi \sin \omega_s)] \quad (2.26)$$

เมื่อ H_o = รังสีดวงอาทิตย์นอกบรรยายกาศโลกรายวันบนพื้นราบ [$MJ/m^2 \cdot h$]

ω_s = มุมชั่วโมงที่ดวงอาทิตย์ตก [องศา]

I_{sc} = ค่าคงที่สุริยะ [$1,366.1 \text{ W/m}^2$]

2.3.4 รังสีดวงอาทิตย์บนพื้นราบ

รังสีดวงอาทิตย์ที่ตกลงบนพื้นที่รับแสงในแนวระดับประกอบด้วยรังสี 2 ส่วน คือ รังสีตรงและรังสีกระเจา ผลกระทบของรังสีทั้งสองจะเรียกว่ารังสีรวมซึ่งสามารถคำนวณได้ดังสมการดัง

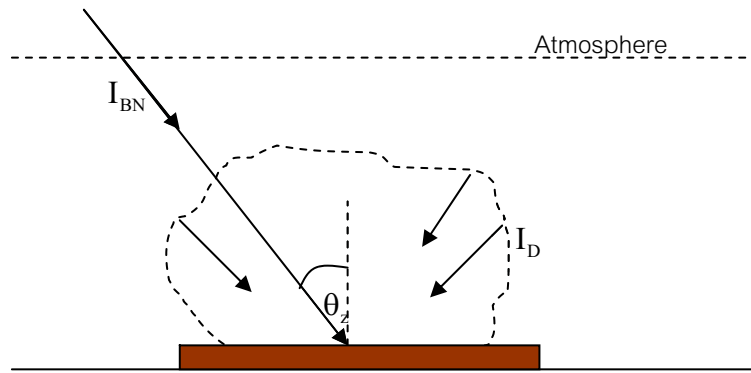
สมการ (2.27)

$$I_G = I_{BN} \cos \theta_z + I_d \quad (2.27)$$

โดยที่ I_G คือ ความเข้มรังสีรวมบนพื้นราบ (global horizontal solar irradiance) [W/m^2]

I_{BN} คือ ความเข้มรังสีตรงบนระนาบตั้งฉากกับลำแสงอาทิตย์ (direct normal solar irradiance) [W/m^2]

I_d คือ ความเข้มรังสีกระจายบนพื้นราบ (diffuse irradiance) [W/m^2]



รูปที่ 2.13 รังสีดวงอาทิตย์บนพื้นราบ

2.4 มวลอากาศที่รังสีดวงอาทิตย์เคลื่อนที่ผ่าน (optical air mass)

เมื่อรังสีดวงอาทิตย์เคลื่อนที่ผ่านบรรยากาศมายังผิวโลกจะถูกดูดกลืน (absorption) และกระเจิง (scattering) โดยโมเลกุลของอากาศ ไอน้ำ และฝุ่นละออง ทำให้รังสีดวงอาทิตย์ที่มาถึงพื้นโลกมีปริมาณลดลง การลดลงนี้จะมากหรือน้อยขึ้นกับชนิดและปริมาณของอนุภาคต่างๆ ซึ่งเป็นองค์ประกอบของบรรยากาศ หรือขึ้นกับมวลของอากาศในคอลัมน์ที่รังสีดวงอาทิตย์เดินทางผ่าน (m_{act}) ซึ่งสามารถหาได้จาก

$$m_{act} = \int \rho ds \quad (2.28)$$

เมื่อ

m_{act} คือ เป็นมวลอากาศที่รังสีดวงอาทิตย์เดินทางผ่านจริง [-]

s คือ ทางเดินของรังสีดวงอาทิตย์จริง (geometrical path length) [km]

ρ คือ ความหนาแน่นของอากาศ [kg/m^3]

สำหรับกรณีที่รังสีดวงอาทิตย์ตกตั้งจากกับผิวโลก จะได้มวลของอากาศ ($m_{act,v}$) ดังสมการ

$$m_{act,v} = \int \rho dz \quad (2.29)$$

เมื่อ z คือ ระยะทางในแนวตั้งจากกับผิวโลก เราจะให้นิยามมวลอากาศสัมพัทธ์ที่รังสีดวงอาทิตย์เดินทางผ่าน (m_r) ว่าเป็นอัตราส่วนของ m_{act} ต่อ $m_{act,v}$ หรือ

$$m_r = \frac{\int \rho ds}{\int \rho dz} \quad (2.30)$$

ค่า m_r นี้จะนำไปใช้ในการคำนวณการดูดกลืนและการกระเจิงของรังสีดวงอาทิตย์ โดยองค์ประกอบต่างๆ ของบรรยากาศโลก ถ้าอนุโลมว่า รังสีดวงอาทิตย์เดินทางผ่านบรรยากาศมาถึงพื้นโลกเป็นเส้นตรง ค่า m_r สามารถหาได้ดังสมการ

$$m_r = \frac{1}{\cos \theta_z} \quad (2.31)$$

ค่า m_r ที่หาจากสมการนี้จะมีความแม่นยำมากขึ้น เมื่อดวงอาทิตย์อยู่สูงจากขอบฟ้ามาก ๆ โดยมวลอากาศ (m_a) ที่ตำแหน่งต่างๆ ของพื้นผิวโลกสามารถหาได้ดังสมการ

$$m_a = m_r (P / 1013.25) \quad (2.32)$$

เมื่อ P คือ ความดันบรรยากาศที่ตำแหน่งต่าง ๆ [mbar]

ค่า m_a นี้จะนำไปใช้ในการคำนวณการดูดกลืนและการกระเจิงของรังสีดวงอาทิตย์โดยองค์ประกอบต่างๆ ของบรรยากาศโลก

2.5 งานวิจัยที่เกี่ยวข้อง

นักพิสิกส์บรรยายศาสสน์ศึกษาค่าความเข้มรังสีดวงอาทิตย์ในสภาพห้องฟ้าปราสาทเมฆ เนื่องจากมีความสำคัญในการศึกษาประสิทธิภาพของเทคโนโลยีด้านพลังงานแสงอาทิตย์ เช่น การผลิตกระแสไฟฟ้าจากพลังงานแสงอาทิตย์ การนำพลังงานแสงอาทิตย์ไปใช้ประโยชน์โดยตรงใน

ด้านอบแห้ง และระบบทำความร้อนพลังงานแสงอาทิตย์เป็นต้น จึงได้มีการพัฒนาแบบจำลองสำหรับคำนวณความเข้มรังสีดวงอาทิตย์ในสภาพท้องฟ้าปราศจากเมฆ ซึ่งสรุปได้ดังนี้

2.5.1 แบบจำลองรังสีตรงในสภาพท้องฟ้าปราศจากเมฆ

Marjumdar และคณะ(1972) เสนอแบบจำลองที่สร้างขึ้นเพื่อคำนวณความเข้มรังสีตรงในสภาพท้องฟ้าแจ่มใสและมีฝุ่นละอองน้อย ดังนั้นจะไม่พิจารณาผลของฝุ่นละอองที่มีผลต่อค่ารังสีดวงอาทิตย์ โดยคำนวณรังสีตรงจากสมการ

$$I_{BN} = 1331.0 (0.8644)^{m_r P / 1000} (0.8507)^{(wm_r)^{0.25}} \quad (2.33)$$

โดยที่ $m_r = [\cos \theta_z + 0.15(93.885 - \theta_z)]^{-1.253}$ (2.34)

$$P = P_0 \exp(-0.0001184h) \quad (2.35)$$

เมื่อ

I_{BN} คือ ค่าความเข้มรังสีตรงบนระนาบตั้งฉากกับลำแสงอาทิตย์

(direct normal irradiance) [W/m²]

m_r คือ relative optical air mass

P คือ ความดันบรรยากาศ [mbar]

P_0 คือ ความดันบรรยากาศมาตรฐาน [1013.25 mbar]

h คือ ความสูงจากระดับน้ำทะเล [m]

w คือ ปริมาณไอน้ำในบรรยากาศ [cm]

Paltridge และ Platt (1976) เสนอแบบจำลองค่าความเข้มรังสีตรงของดวงอาทิตย์ในสภาพท้องฟ้าปราศจากเมฆ โดยค่า transmittances มีความสัมพันธ์กับปริมาณไอน้ำ ไอโซน การกระเจิงโดยไม่เลกุลอากาศ และการกระเจิงและดูดกลืนโดยฝุ่นละออง ซึ่งคำนวณรังสีตรง (I_{BN}) ตามสมการ

$$I_{BN} = I_{sc} (T_o T_r - a_w) T_a \quad (2.36)$$

โดยที่

$$T_o = 1 - \left[\frac{0.02118 U_o}{1 + 0.042 U_o + 3.23 \times 10^{-4} U_o^2} + \frac{1.082 U_o}{(1 + 138.6 U_o)^{0.805}} + \frac{0.0658 U_o}{1 + (103.6 U_o)^3} \right] \quad (2.37)$$

$$T_r = 0.972 - 0.08262m_a + 0.00933m_a^2 - 0.00095m_a^3 + 0.000437m_a^4 \quad (2.37)$$

$$T_a = (0.12445\alpha - 0.0162) + (1.003 - 0.125\alpha) \exp[-\beta m_a(1.089\alpha + 0.5123)] \quad (2.39)$$

; $\beta < 0.5$

$$a_w = \frac{2.9U_w}{(1+141.5U_w)^{0.635} + 5.925U_w} ; 10^{-2} \langle U_w \rangle \text{ (10 cm)} \quad (2.40)$$

$$U_o = \ell m_r \quad (2.41)$$

$$U_w = w m_r \quad (2.42)$$

$$m_a = m_r / (P / P_o) \quad (2.43)$$

$$m_r = [\cos \theta_z + 0.15(93.885 - \theta_z)^{-1.253}]^1 \quad (2.44)$$

$$P / P_o = \exp(-0.0001184h) \quad (2.45)$$

เมื่อ

I_{BN} คือ ความเข้มรังสีตรงบนระนาบตั้งฉากกับลำแสงอาทิตย์ (direct normal irradiance)
[W/m²]

I_{sc} คือ ค่าคงที่สุริยะ [1366.1 W/m²]

T_o คือ ค่าสัมประสิทธิ์การส่งผ่านรังสีดวงอาทิตย์เนื่องจากการดูดกลืนของโอโซน [-]

T_r คือ ค่าสัมประสิทธิ์การส่งผ่านรังสีดวงอาทิตย์เนื่องจากการกระเจิงของโมเลกุลอากาศ [-]

a_w คือ ค่าการดูดกลืนของรังสีดวงอาทิตย์เนื่องจากไอน้ำ [-]

T_a คือ ค่าสัมประสิทธิ์การส่งผ่านรังสีดวงอาทิตย์เนื่องจากการกระเจิงและดูดกลืนโดยผู้นักออกแบบ [-]

U_o คือ ozone relative optical path length [cm]

U_w คือ pressure corrected optical path length [cm]

m_r , m_a คือ relative optical air mass [-]

β คือ สัมประสิทธิ์ความขุ่นmurของอังสตรอม (Angstrom turbidity coefficient) [-]

α คือ เลขยกกำลังของอังสตรอม (Angstrom wavelength exponent) [-]

P คือ ความดันบรรยากาศ [mbar]

P_o คือ ความดันบรรยากาศมาตรฐาน [1013.25 mbar]

θ_z คือ มุมเชนิช [องศา]

h คือ ความสูงจากระดับน้ำทะเล [m]

ℓ คือ ปริมาณโอโซน (total column ozone) [cm]

w คือ ปริมาณไอน้ำในบรรยากาศ (precipitable water) [cm]

Hoyt (1978), Sasamori และคณะ (1972) ได้เสนอสมการคำนวณ transmittances หรือ absorptances ในรูปฟังก์ชันของ ปริมาณไอน้ำ ก้อนตัว ก้าช ไอโซน การกระเจิงโดยโมเลกุลอากาศ และการกระเจิงและดูดกลืนโดยผู้นักละออง สำหรับการคำนวณค่าความเข้มรังสีตรงสำหรับดวงอาทิตย์ในสภาพท้องฟ้าปราศจากเมฆซึ่งเรียกว่าได้ดังสมการ

$$I_{BN} = I_{sc} \left(1 - \sum_{i=1}^4 a_i \right) T_r T_{as} \quad (2.46)$$

โดยที่

$$a_1 = a_w = 0.110(U_w + 6.31 \times 10^{-4})^{0.3} - 0.0121 \quad (2.47)$$

$$a_2 = a_g = 0.00235(126m_a + 0.0129)^{0.26} - 7.5 \times 10^{-4} + 7.5 \times 10^{-3} m_a^{0.875} \quad (2.48)$$

$$a_3 = a_o = 0.045(U_o + 8.34 \times 10^{-4})^{0.38} - 3.1 \times 10^{-3} \quad (2.49)$$

$$a_4 = a_a = 0.05[g(\beta)]^{m_a} \quad (2.50)$$

$$T_{as} = [g(\beta)]^{m_a} \quad (2.51)$$

$$g(\beta) = -0.914000 + 1.909267 \exp(-0.667023\beta) ; 0 < \beta < 0.5 \quad (2.52)$$

$$U_o = \ell m_r$$

$$U_w = w m_r$$

$$m_a = m_r / (P / P_o)$$

$$m_r = [\cos \theta_z + 0.15(93.885 - \theta_z)^{-1.253}]^1$$

$$P / P_o = \exp(-0.0001184h)$$

เมื่อ

I_{BN} คือ ค่าความเข้มรังสีตรงบนระนาบตั้งฉากกับกำแพงอาทิตย์

(direct normal irradiance) [W/m^2]

I_{sc} คือ ค่าคงที่สุริยะ [1366.1 W/m^2]

a_w คือ ค่าการดูดกลืนของรังสีดวงอาทิตย์เนื่องจากไอน้ำ [-]

a_g คือ ค่าการดูดกลืนของรังสีดวงอาทิตย์เนื่องจากก้าช [-]

a_o คือ ค่าการดูดกลืนของรังสีดวงอาทิตย์เนื่องจากไอโซน [-]

- a_a คือ ค่าการดูดกลืนของรังสีดวงอาทิตย์เนื่องจากฝุ่นละออง [-]
 T_r คือ ค่าสัมประสิทธิ์การส่งผ่านรังสีดวงอาทิตย์เนื่องจากการกระเจิงของโอมากลอากาศ [-]
 T_{as} คือ ค่าสัมประสิทธิ์การส่งผ่านรังสีดวงอาทิตย์เนื่องจากการกระเจิงของฝุ่นละออง [-]
 U_o คือ ozone relative optical path length [cm]
 U_w คือ pressure corrected optical path length [cm]
 m_r, m_a คือ relative optical air mass [-]
 β คือ สัมประสิทธิ์ความทึบมัวบรรยายกาศของอั้งสตรอม (Angstrom turbidity coefficient) [-]

Bird และ Hulstrom (1981) พัฒนาแบบจำลองรังสีตรงในสภาพห้องฟ้าปราศจากเมฆขึ้นโดยเขียนได้ดังสมการ

$$I_{BN} = (0.9662) I_{on} T_r T_o T_g T_w T_a \quad (2.53)$$

โดยที่

$$I_{on} = I_{sc} [1.00011 + 0.034221 \cos \Gamma + 0.00128 \sin \Gamma + 0.000719 \cos 2\Gamma + 0.000077 \sin 2\Gamma] \quad (2.54)$$

$$T_r = \exp[-0.0903 m_a^{0.84} (1.0 + m_a - m_a^{1.01})] \quad (2.55)$$

$$T_o = 1.0 - 0.1611 U_o (1.0 + 139.48 U_o)^{-0.3035} - 0.002715 U_o (1.0 + 0.044 U_o + 0.0003 U_o^2)^{-1} \quad (2.56)$$

$$T_g = \exp(-0.0127 m_a^{0.26}) \quad (2.57)$$

$$T_w = 1.0 - 2.4959 U_w [(1.0 + 79.034 U_w)^{0.6828} + 6.385 U_w]^{-1} \quad (2.58)$$

$$T_a = \exp[-k_a^{0.873} (1.0 + k_a - k_a^{0.7088}) m_r^{0.9108}] \quad (2.59)$$

$$k_a = 0.2758 k_{a(380)} + 0.35 k_{a(500)} \quad (2.60)$$

เมื่อ

I_{on} คือ รังสีดวงอาทิตย์ที่ตกตั้งจากกับระนาบรับรังสีนอกบรรยายกาศโลก [W/m^2]

I_{BN} คือ ค่าความเข้มรังสีตรงบนระนาบทั้งจากกับลำแสงอาทิตย์
(direct normal irradiance) [W/m^2]

I_{sc} ค่าคงที่สุริยะ [1353 W/m^2]

Γ คือ มนวัน (day angle) [เรเดียน]

T_r ค่าสัมประสิทธิ์การส่งผ่านรังสีดวงอาทิตย์เนื่องจากการกระเจิงของโอมากลอากาศ [-]

T_o คือ ค่าสัมประสิทธิ์การส่งผ่านรังสีดูดอาทิตย์เนื่องจากการดูดกลืนของไอโอดีน [-]

T_g คือ ค่าสัมประสิทธิ์การส่งผ่านรังสีความอาทิตย์เนื่องจากการกระเจิงและดูดกลืนของกําazi [-]

T_w คือ ค่าสัมประสิทธิ์การส่งผ่านรังสีความอาทิตย์เนื่องจากการดูดกลืนของไอน้ำ [-]

T_a คือ ค่าสัมประสิทธิ์การส่งผ่านรังสีความอาทิตย์เนื่องจากการกระเจิงและดูดกลืนของผุ่นละออง [-]

$k_{a(380)}$ คือ ค่าความถี่การเขิงแสงของผุนละองที่ความยาวคลื่น 380 nm [-]

$k_{a(500)}$ คือ ค่าความลีกเชิงแสงของผุ้นละอองที่ความยาวคลื่น 500 nm [-]

Psiloglou และคณะ (2007) ทำการพัฒนาแบบจำลองที่สร้างจากข้อมูลทางอุตุนิยมวิทยา (Meteorological Radiation Model; MRM) ได้แก่ อุณหภูมิอากาศ ค่าความชื้นสัมพัทธ์ ความดันบรรยากาศและค่าความยาวนานแสงแดด ของสถานีอุตุนิยมวิทยาหลายแห่ง และเสนอสมการสำหรับคำนวณรังสีคงดังนี้

$$I_{BN} = I_{on} T_w T_r T_o T_g T_a \quad (2.61)$$

ໄດຍທີ່

$$T_r = \exp[-0.1128m_a^{0.8346}(0.9341 - m_a^{0.9868} + 0.9391m_a)] \quad (2.62)$$

$$T_a = \exp \left\{ -m_r \beta [0.6777 + 0.1464 m_r \beta - 0.00626 (m_r \beta)^2]^{1.3} \right\} \quad (2.63)$$

၁၅

I_{BN} คือ ค่าความเข้มรังสีตระบันร่านานตั้งฉากกับลำแสงอาทิตย์

(direct normal irradiance) [W/m²]

T_r คือ ค่าสัมประสิทธิ์การส่งผ่านรังสีคงอาทิตย์เนื่องจากการกระเจิงของโนเมเลกุลอากาศ [-]

T_a គឺ ការសម្រាប់ការសំដានរងគីឡូវតាមអាទិត្យនៃការក្រោចក្រោងនិងក្រោចក្រោងតុគល់។

I_{op} คือ รังสีดิจังอาทิตย์ที่ตกตึ้งจากกับระนาบรับรังสีนอกบอร์ดยาการ์โลก [W/m²]

m_t , m_a คือ relative optical air mass

β คือ สัมประสิทธิ์ความปนเปื้อนมัวบริการากาศของอังสตรอม (Angstrom turbidity coefficient) [-]

สำหรับ T_w , T_o และ T_g คือสัมประสิทธิ์การส่งผ่านรังสีคงอาทิตย์เนื่องจากการดูดกลืนของไอน้ำ ไอโอดีนและก๊าซต่างๆ ในบรรยากาศ (CO_2 , CO , NO_2 , CH_4 และ O_2) ตามลำดับ ซึ่งหาได้จากสมการ

$$T_i = 1 - \frac{a \cdot m_r \cdot U_i}{(1 + b \cdot m_r \cdot U_i)^c + d \cdot m_r \cdot U_i} \quad (2.64)$$

โดยที่

$$T_g = T_{\text{CO}_2} T_{\text{CO}} T_{\text{NO}_2} T_{\text{CH}_4} T_{\text{O}_2} \quad (2.65)$$

$$m_r = [\cos \theta_z + 0.50572(96.07995 - \theta_z)^{-1.6364}]^{-1} \quad (2.66)$$

$$\beta = 0.08 \quad U_{\text{CH}_4} = 1.60$$

$$U_{\text{NO}_2} = 0.28 \quad U_{\text{CO}} = 0.075$$

$$U_{\text{O}_2} = 2.095 \times 10^5 \quad U_{\text{CO}_2} = 330.0$$

เมื่อ

I_{BN} คือ ค่าความเข้มรังสีตรงบันดาลทั้งหมดกับคำแสงอาทิตย์

(direct normal irradiance) [W/m^2]

T_g คือ ค่าสัมประสิทธิ์การส่งผ่านรังสีคงอาทิตย์เนื่องจากการกรเจิงและถูกดูดกลืนโดยก๊าซ [-]

β คือ สัมประสิทธิ์ความชุ่มน้ำบรรยากาศของอังสตรอม (Angstrom turbidity-coefficient) [-]

θ_z คือ มุมเชนิช [องศา]

P คือ ความดันบรรยากาศ (local pressure)[mbar]

P_o คือ ความดันบรรยากาศมาตรฐาน [1013.25 mbar]

T_{CO_2} คือ ค่าสัมประสิทธิ์การส่งผ่านรังสีคงอาทิตย์เนื่องจากการถูกดูดกลืนโดยก๊าซ CO_2 [-]

T_{CO} คือ ค่าสัมประสิทธิ์การส่งผ่านรังสีคงอาทิตย์เนื่องจากการถูกดูดกลืนโดยก๊าซ CO [-]

T_{NO_2} คือ ค่าสัมประสิทธิ์การส่งผ่านรังสีคงอาทิตย์เนื่องจากการถูกดูดกลืนโดยก๊าซ NO_2 [-]

T_{CH_4} คือ ค่าสัมประสิทธิ์การส่งผ่านรังสีคงอาทิตย์เนื่องจากการถูกดูดกลืนโดยก๊าซ CH_4 [-]

T_{O_2} คือ ค่าสัมประสิทธิ์การส่งผ่านรังสีคงอาทิตย์เนื่องจากการถูกดูดกลืนโดยก๊าซ O_2 [-]

U_{CO_2} , U_{CO} , U_{NO_2} , U_{CH_4} , U_{O_2} คือ ปริมาณก๊าซคาร์บอนไดออกไซด์ ก๊าซคาร์บอน-

a, b, c และ d คือ สัมประสิทธิ์ที่เป็นค่าคงที่ (Psiloglou, 2007)

Ineichen (2008) ได้ปรับปรุงแบบจำลอง SOLIS ของ Mueller และคณะ (2004) และเสนอสมการสำหรับคำนวณรังสีตรงดังนี้

$$I_{BN} = I'_o \exp\left(\frac{\tau_B}{\sin^B \alpha_s}\right) \quad (2.67)$$

โดยที่

$$I'_o = I_{on} [I_{o2} k_{a(700)}^2 + I_{o1} k_{a(700)} + I_{o0} + 0.071 \ln(P/P_o)] \quad (2.68)$$

$$I_{o0} = 1.08w^{0.0051} \quad (2.69)$$

$$I_{o1} = 0.97w^{0.032} \quad (2.70)$$

$$I_{o2} = 0.12w^{0.56} \quad (2.71)$$

$$\tau_B = t_{B1} k_{a(700)} + t_{B0} + t_{Bp} \ln(P/P_0) \quad (2.72)$$

$$t_{B1} = 1.82 + 0.056 \ln(w) + 0.0071 \ln^2(w) \quad (2.73)$$

$$t_{B0} = 0.33 + 0.0451 \ln(w) + 0.0096 \ln^2(w) \quad (2.74)$$

$$t_{Bp} = 0.0089w + 0.13 \quad (2.75)$$

$$B = B_1 \ln(w) + B_0 \quad (2.76)$$

$$B_0 = -0.7565k_{a(700)}^2 + 0.5057k_{a(700)} + 0.4557 \quad (2.77)$$

$$B_1 = -0.00925k_{a(700)}^2 + 0.0148k_{a(700)} - 0.0172 \quad (2.78)$$

เมื่อ

I_{BN} คือ ค่าความเข้มรังสีตรงบนระนาบตั้งจากกับลำแสงอาทิตย์

(direct normal irradiance) [W/m^2]

I'_o คือ ค่าความเข้มรังสีดวงอาทิตย์นอกบรรยากาศโลกที่พัฒนาสำหรับแบบจำลอง

Ineichen (2008)

I_{on} คือ ค่าความเข้มรังสีดวงอาทิตย์ที่ตกตั้งจากกับระนาบรับรังสีนอกบรรยากาศโลก

(extraterrestrial solar irradiance) [W/m^2]

$k_{a(700)}$ คือ ค่าความถี่เชิงแสงเนื้องจากผู้นับของที่ความยาวคลื่น $\lambda = 700 \text{ nm}$ [-]

P คือ ความดัน (local pressure) [mbar]

P_o คือ ความดันมาตรฐาน [1,013.25 mbar]

w คือ ปริมาณไอน้ำกัลลันตัว (precipitable water) [cm]

τ_B คือ ค่าความลึกเชิงแสงที่พัฒนาสำหรับแบบจำลอง Ineichen (2008)

α_s คือ มุมเงยดวงอาทิตย์ (solar elevation angle) [องศา]

สำหรับงานวิจัยนี้ใช้ $k_{a(675)}$ และ $k_{a(700)}$ ทั้งนี้ เพราะข้อมูลที่ได้จาก sunphotometer เป็นค่าที่ความยาวคลื่น 675 nm

2.5.2 แบบจำลองรังสีรวมในสภาพท้องฟ้าปราศจากเมฆ

Haurwitz (1945) ได้ศึกษาความสัมพันธ์ของค่าความเข้มรังสีดวงอาทิตย์กับปริมาณและความหนาแน่นของเมฆบนท้องฟ้า โดยใช้ข้อมูลยาวนาน 11 ปี ซึ่งเป็นข้อมูลผลรวมของค่าเฉลี่ยรายชั่วโมงของแต่ละวันที่วัดที่ Great Blue Hill ($42^{\circ}12'44''$ N, $71^{\circ}6'53''$ W) ในปี ค.ศ. 1933-1943 ทางตอนใต้ของเมืองบอสตันประเทศสหรัฐอเมริกา

โดยในการผิวดวงที่ท้องฟ้าไม่มีเมฆนั้นค่าความเข้มรังสีรวมบนพื้นราบจะเปรียบเท่าโดยตรงกับโคไซน์ของมุม zenith (θ_z) ตามความสัมพันธ์

$$I_G = (1098) \cos \theta_z \exp(-0.057 / \cos \theta_z) \quad (2.79)$$

เมื่อ

I_G คือ ค่าความเข้มรังสีรวมบนพื้นราบ (global horizontal irradiance) [W/m^2]

θ_z คือ มุม zenith [องศา]

Berlynd (1956) เสนอแบบจำลองสำหรับคำนวณค่าความเข้มรังสีดวงอาทิตย์ในสภาพท้องฟ้าปราศจากเมฆที่ขึ้นกับฟังก์ชันของพารามิเตอร์ทางดาราศาสตร์ (astronomical parameters) และพารามิเตอร์ทางอุตุนิยมวิทยา ดังสมการ

$$I_G = I_{sc} \cos \theta_z / [1 + f \sec(\theta_z)] \quad (2.80)$$

โดยที่

I_G คือ ค่าความเข้มรังสีรวมบนพื้นราบ (global horizontal irradiance) [W/m^2]

I_{sc} คือ ค่าคงที่สูริยะ [1366.1 W/m^2]

θ_z กីវិមានមុនចេនិច [សង្គម]

Prledge และ Proctor (1976) และ Daneshyar (1978) ศึกษาค่าความเข้มรังสีดิวดอาทิตย์รายวันเฉลี่ยต่อเดือนซึ่งเป็นค่าที่ได้จากผลรวมของค่ารังสีดิวดอาทิตย์รายชั่วโมง โดยความเข้มรังสีรวมบนพื้นราบในสภาพท้องฟ้าปราศจากเมฆมากได้จากการ

$$I_G = I_{BN} \cos \theta_z + I_d \quad (2.81)$$

โดยที่

$$I_{BN} = 950.0 \left\{ 1 - \exp \left[-0.075(90 - \theta_z) \right] \right\} \quad (2.82)$$

$$I_d = 2.534 + 3.475(90 - \theta_z) \quad (2.83)$$

๖๙

I_G คือ ค่าความเข้มรังสีรวมบนพื้นราบ (global horizontal irradiance) [W/m^2]

I_{BN} คือ ค่าความเข้มรังสีตรงบนระนาบตั้งฉากกับลำแสงอาทิตย์ (direct normal irradiance)

[W/m²]

I_d คือ ค่าความเข้มรังสีกระจายบนพื้นทราย (diffuse irradiance) [W/m^2]

theta_0 คือ มุมเชนนิช [องศา]

มุ่งเน้นพิจารณาด้วยวิธี ดังสมการ

$$I_G = 1350[0.70 \cos \theta_z] \quad (2.84)$$

ເມືອ

I_G คือ ค่าความเข้มรังสีรวมบนพื้นราบ (global horizontal irradiance) [W/m²]

θ_z គីវិមានធម្មជនិច [សាខា]

Adnote, Bourges, Campana และ Gicquel (1979) กลุ่มนักวิจัยในประเทศฝรั่งเศสเสนอแบบจำลองค่าความเข้มรังสีรวมที่มีค่าขึ้นกับโคไซน์ของมุม zenith เพียงอย่างเดียวขึ้น เช่นกัน โดยเจียนในรูปสมการได้ดังนี้

$$I_G = 951.39 \cos^{1.15}(\theta_z) \quad (2.85)$$

เมื่อ

I_G คือ ค่าความเข้มรังสีรวมบนพื้นราบ (global horizontal irradiance) [W/m²]

θ_z คือ มุม zenith [องศา]

Kasten และ Czeplak (1980) ศึกษาความเข้มรังสีดวงอาทิตย์บนพื้นโลก โดยใช้ข้อมูลค่าความเข้มรังสีรวมเฉลี่ยรายชั่วโมงที่มีการเก็บบันทึกติดต่อกันเป็นระยะเวลา 10 ปี ตั้งแต่ปี ก.ศ. 1964-1973 ซึ่งวัดที่ Hamburg Fuhlsbuttel Airport โดยกรณิค่าความเข้มรังสีดวงอาทิตย์ในสภาพท้องฟ้าปราศจากเมฆนั้นหาได้จากการสำรวจ

$$I_G = 910 \cos \theta_z - 30 \quad (2.86)$$

เมื่อ

I_G คือ ค่าความเข้มรังสีรวมบนพื้นราบ (global horizontal irradiance) [W/m²]

θ_z คือ มุม zenith [องศา]

Robledo และ Soler (2000) ศึกษาค่า luminous efficacy ของรังสีรวมจากดวงอาทิตย์ภายใต้ท้องฟ้าปราศจากเมฆ โดย luminous efficacy คืออัตราส่วนของ illuminance และ irradiance ในสภาพท้องฟ้าปราศจากเมฆ ดังนั้นค่า luminous efficacy นี้ จำเป็นต้องหาค่าความเข้มรังสีดวงอาทิตย์ในสภาพท้องฟ้าปราศจากเมฆ จึงได้เสนอแบบจำลองค่าความเข้มรังสีดวงอาทิตย์ในสภาพท้องฟ้าปราศจากเมฆ ซึ่งเจียนในรูปสมการได้ดังนี้

$$I_G = 1159.24 (\cos \theta_z)^{1.179} \exp[-0.0019(90 - \theta_z)] \quad (2.87)$$

เมื่อ

I_G คือ ค่าความเข้มรังสีรวมบนพื้นราบ (global horizontal irradiance) [W/m²]

θ_z คือ มุม zenith [องศา]

2.5.3 แบบจำลองรังสีกระจายในสภาพท้องฟ้าปราศจากเมฆ

Dumortier (1995) ได้เสนอแบบจำลองสำหรับคำนวณความเข้มรังสีกระจายในสภาพท้องฟ้าปราศจากเมฆ ตามสมการ

$$I_d = I_o E_o [0.0065 + (-0.045 + 0.0646 T_L(2)) \cos \theta_z + (0.014 - 0.0327 T_L(2)) \cos^2 \theta_z] \quad (2.88)$$

โดยที่

$$T_L(2) = T_o + u \cos\left(\frac{2\pi}{365} d_n\right) + v \sin\left(\frac{2\pi}{365} d_n\right) \quad (2.89)$$

เมื่อ

I_o คือ รังสีคงาดที่ยังไม่ถูกบดบังโดยอากาศ [W/m²]

E_o คือ แฟกเตอร์สำหรับแก้ผลจากความเรียบของวงโคจร [-]

θ_z คือ มุมเชนิช [องศา]

T_L คือ Link turbidity factor for air mass เท่ากับ 2

T_o , u และ v คือ site specific parameter

d_n คือ ลำดับวันในรอบปี ($d_n = 1$ สำหรับวันที่ 1 มกราคม) [-]

จากการศึกษางานวิจัยที่ผ่านมาพบว่าแบบจำลองความเข้มรังสีคงาดที่ยังไม่ถูกบดบังโดยอากาศท้องฟ้าปราศจากเมฆ มีทั้งแบบจำลองเอมไพริกัลและแบบจำลองเชิงฟิสิกส์ โดยแบบจำลองเอมไพริกัลมีข้อดีคือ ใช้งานได้ง่ายแต่ขาดความเป็นสาがらจึงใช้งานได้ในขอบเขตจำกัด สำหรับแบบจำลองเชิงฟิสิกส์ จะมีความเป็นสาがらและใช้ได้ทั่วไป แต่มีความซับซ้อนและใช้ข้อมูลประกอบจำนวนมากซึ่งบางครั้งหาไม่ได้ จากข้อดีและข้อเสียดังกล่าว ผู้วิจัยจึงเสนอที่จะพัฒนาแบบจำลองแบบกึ่งเอนไพริกัล (semi-empirical model) ซึ่งไม่ซับซ้อนและยังคงใช้ตัวแปรทางฟิสิกส์ในแบบจำลอง ซึ่งสามารถใช้ได้ทั่วไป ตามรายละเอียดในบทัดไป

บทที่ 3

วิธีการดำเนินการวิจัยและผล

งานวิจัยนี้ ผู้วิจัยจะทำการพัฒนาแบบจำลองสำหรับคำนวณความเข้มรังสีรวม รังสีตรง และรังสีกระเจาจากข้อมูลที่ทำการวัดในภูมิภาคต่าง ๆ ของประเทศไทย หากนี้จะทำการทดสอบสมรรถนะของแบบจำลองและเปรียบเทียบกับแบบจำลองอื่น ๆ ตามรายละเอียดดังนี้

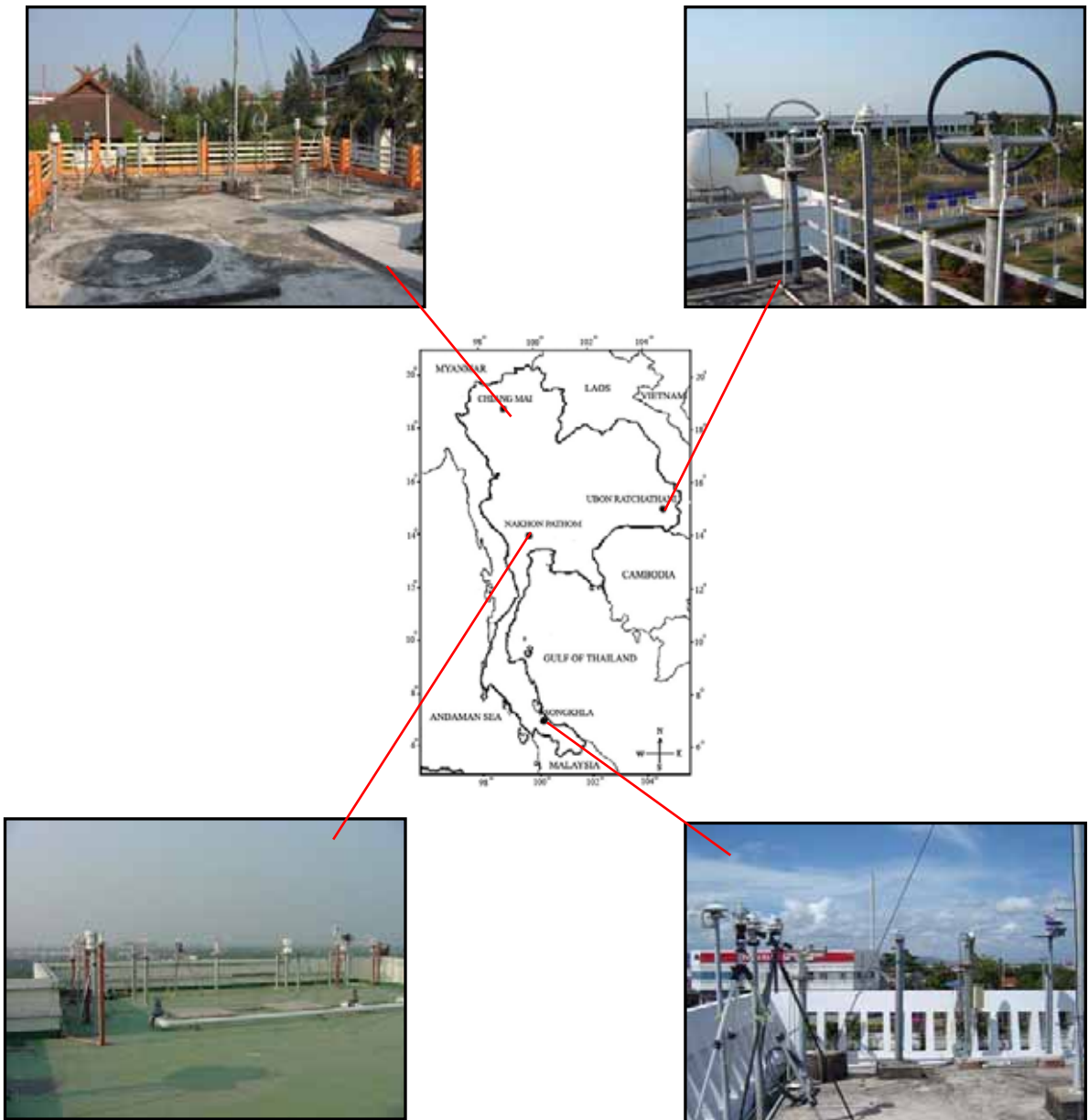
3.1 การเตรียมข้อมูลความเข้มรังสีดวงอาทิตย์

3.1.1 เครื่องมือวัด

ในงานวิจัยนี้จะใช้ข้อมูลความเข้มรังสีดวงอาทิตย์ ซึ่งประกอบด้วยข้อมูลความเข้มรังสี ตรง รังสีรวม และรังสีกระเจาจากสถานีวัด ซึ่งภาควิชาฟิสิกส์ คณะวิทยาศาสตร์ มหาวิทยาลัยศิลปากร ดำเนินการติดตั้งอุปกรณ์วัด ตามภูมิภาคต่างๆ 4 แห่ง ตามรายละเอียดดังนี้

- 1) ภาคเหนือ ที่ศูนย์อุตุนิยมวิทยาภาคเหนือ อำเภอเมือง จังหวัดเชียงใหม่
(18.78 °N, 98.98°E)
- 2) ภาคตะวันออกเฉียงเหนือ ที่ศูนย์อุตุนิยมวิทยาภาคตะวันออกเฉียงเหนือ อำเภอเมือง จังหวัดอุบลราชธานี (15.25 °N, 104.87 °E)
- 3) ภาคกลาง ที่คณะวิทยาศาสตร์ มหาวิทยาลัยศิลปากร อำเภอเมือง จังหวัดนครปฐม
(13.82 °N, 100.04 °E)
- 4) ภาคใต้ ที่ศูนย์อุตุนิยมวิทยาภาคใต้ฝั่งตะวันออก อำเภอเมือง จังหวัดสงขลา
(7.2 °N, 100.6 °E)

ตำแหน่งที่ตั้งของสถานีวัดทั้ง 4 แห่ง แสดงไว้ดังรูปที่ 3.1 ซึ่งต่อไปนี้ผู้วิจัยจะเรียกว่า สถานีเชียงใหม่ สถานีอุบลราชธานี สถานีนครปฐม และสถานีสงขลา ตามลำดับ



รูปที่ 3.1 ตำแหน่งที่ตั้งของสถานีวัดความเข้มรังสีดวงอาทิตย์ทั้ง 4 สถานีตามภูมิภาค
หลักของประเทศไทย

เครื่องวัดและบันทึกข้อมูลที่สถานีเชียงใหม่ สถานีอุบลราชธานี และสถานีสงขลา มีชุดอุปกรณ์เหมือนกัน กล่าวคือ ใช้ไฟโรโนมิเตอร์ (pyranometer) รุ่น CM21 ของบริษัท Kipp & Zonen ทำการวัดรังสีรวม ใช้ไฟโรโนมิเตอร์ของ Kipp & Zonen รุ่น CM11 ประกอบกับวงแหวนบังรังสีตรงรุ่น CM121 ของ Kipp & Zonen เพื่อวัดรังสีกระจาย และใช้เครื่องวัดรังสีตรง (pyrheliometer) รุ่น CH 1 ของบริษัท Kipp & Zonen ประกอบกับอุปกรณ์ติดตามดวงอาทิตย์ (sun tracker) ของ

Kipp & Zonen รุ่น 2AP เพื่อวัดรังสีตรง สำหรับที่สถานีนครปฐม ใช้ไฟราโนมิเตอร์ รุ่น CM11 ทำการวัดรังสีรวม สำหรับเครื่องวัดรังสีกระจายที่ใช้เหนือสถานีอื่นๆ และใช้เครื่องวัดรังสีตรง (pyrheliometer) รุ่น NIP ของบริษัท Eppley ประกอบกับอุปกรณ์ติดตามดวงอาทิตย์ (sun tracker) ของ Kipp & Zonen รุ่น 2 AP

สัญญาณที่ได้จากเครื่องวัดดังกล่าวจะบันทึกด้วยเครื่องบันทึกสัญญาณ datalogger รุ่น DC 100 ของ บริษัท Yokokawa เครื่องวัดและเครื่องบันทึกข้อมูลของสถานีวัด 4 แห่ง แสดงดังรูปที่ 3.2-3.16



รูปที่ 3.2 อุปกรณ์วัดรังสีรวมที่ศูนย์อุตุนิยมวิทยาภาคเหนือ จังหวัดเชียงใหม่



รูปที่ 3.3 อุปกรณ์วัดรังสีตรังที่ศูนย์อุตุนิยมวิทยาภาคเหนือ จังหวัดเชียงใหม่



รูปที่ 3.4 อุปกรณ์วัดรังสีกระจายที่ศูนย์อุตุนิยมวิทยาภาคเหนือ จังหวัดเชียงใหม่



รูปที่ 3.5 อุปกรณ์บันทึกข้อมูลที่ศูนย์อุตุนิยมวิทยาภาคเหนือ จังหวัดเชียงใหม่



รูปที่ 3.6 อุปกรณ์วัดรังสีรวมที่ศูนย์อุตุนิยมวิทยาภาคตะวันออกเฉียงเหนือ จังหวัดอุบลราชธานี



รูปที่ 3.7 อุปกรณ์วัดรังสีกระจายที่ศูนย์อุตุนิยมวิทยาภาคตะวันออกเฉียงเหนือ จังหวัดอุบลราชธานี



รูปที่ 3.8 อุปกรณ์บันทึกข้อมูลที่ศูนย์อุตุนิยมวิทยาภาคตะวันออกเฉียงเหนือ จังหวัดอุบลราชธานี



รูปที่ 3.9 อุปกรณ์วัดรังสีรวมทีมมหาวิทยาลัยศิลปากร จังหวัดนครปฐม



รูปที่ 3.10 อุปกรณ์วัดรังสีตรงทีมมหาวิทยาลัยศิลปากร จังหวัดนครปฐม



รูปที่ 3.11 อุปกรณ์วัดรังสีกระจายที่มหาวิทยาลัยศิลปากร จังหวัดนครปฐม



รูปที่ 3.12 อุปกรณ์บันทึกข้อมูลที่มหาวิทยาลัยศิลปากร จังหวัดนครปฐม



รูปที่ 3.13 อุปกรณ์วัดรังสีรวมที่ศูนย์อุตุนิยมวิทยาภาคใต้ฝั่งตะวันออก จังหวัดสงขลา



รูปที่ 3.14 อุปกรณ์วัดรังสีตรงที่ศูนย์อุตุนิยมวิทยาภาคใต้ฝั่งตะวันออก จังหวัดสงขลา



รูปที่ 3.15 อุปกรณ์วัดรังสีกราดกระจายที่ศูนย์อุตุนิยมวิทยาภาคใต้ฝั่งตะวันออก จังหวัดสงขลา



รูปที่ 3.16 อุปกรณ์บันทึกข้อมูลที่ศูนย์อุตุนิยมวิทยาภาคใต้ฝั่งตะวันออก จังหวัดสงขลา

3.1.2 การอ่านข้อมูล

ในการอ่านข้อมูล ผู้วิจัยได้ทำการตั้งโปรแกรมให้เครื่องบันทึกข้อมูลเก็บข้อมูลในรูปของสักยีไฟฟ้าจากเครื่องวัดความเข้มรังสีดวงอาทิตย์ ทุกๆ 1 วินาที และทำการเฉลี่ยค่าที่ได้ทุกๆ 10 นาที จากนั้นจะบันทึกค่าเฉลี่ยลงในหน่วยความจำ ค่าสักยีไฟฟ้าที่บันทึกได้ดังกล่าว จะถูกนำมาไปคำนวณเป็นค่าความเข้มรังสีดวงอาทิตย์ตาม สมการ

$$I = \frac{V}{S} \quad (3.1)$$

เมื่อ I คือ ความเข้มรังสีดวงอาทิตย์ [W/m^2]

V คือ สักยีไฟฟ้าที่ได้จากเครื่องวัด [V]

S คือ sensitivity ของเครื่องวัด [V/W m^{-2}]

3.1.3 การสอบเทียบเครื่องวัดความเข้มรังสีดวงอาทิตย์

เครื่องวัดความเข้มรังสีดวงอาทิตย์ เป็นเครื่องมือที่ใช้งานกลางแจ้งซึ่งเมื่อใช้เป็นระยะเวลานานจะมีการเสื่อมคุณภาพลง โดยค่า sensitivity จะค่อยๆ ลดลงตามเวลา ดังนั้นจึงต้องทำการสอบเทียบเครื่องวัดดังกล่าวอย่างสม่ำเสมอ

สำหรับหัววัด ไฟราโนมิเตอร์ซึ่งใช้วัดรังสีร่วมและรังสีกระเจาที่สถานีเชียงใหม่ อุบลราชธานี และสงขลา เป็นเครื่องมือที่จัดขึ้นเมื่อปี ค.ศ.1994 ซึ่งบริษัทผู้ผลิตได้ทำการสอบเทียบครั้งแรกจากโรงงานโดยใช้ indoor calibration facility ซึ่งสามารถเทียบมาตรฐานย้อนกลับไปยัง world pyrheliometric standard ได้ โดยนักวิจัยจากห้องปฏิบัติการวิจัยพลังงานแสงอาทิตย์ได้เดินทางไปสอบเทียบเครื่องวัดปีละ 1 ครั้ง

ในการสอบเทียบ ผู้วิจัยจะนำไฟราโนมิเตอร์มาตรฐานไปติดตั้งคู่กับไฟราโนมิเตอร์ที่ใช้งานจริงของสถานีวัดแต่ละแห่ง โดยตั้งไฟราโนมิเตอร์มาตรฐานให้อยู่ในระดับเดียวกันกับหัววัดที่ต้องการสอบเทียบ และต่อสัญญาณเข้าเครื่องบันทึกข้อมูลและบันทึกข้อมูลคู่กันกัน ทั้งนี้ผู้วิจัยจะเลือกวันที่ห้องฟ้าแจ่มใสและเก็บข้อมูลในช่วงเวลาระหว่าง 11:00-15:00 น. จากนั้น จะนำข้อมูลที่ได้ไปทำการคำนวณหา sensitivity ค่าใหม่ ซึ่งมีขั้นตอนดังนี้

- 1) นำข้อมูลที่ได้จากไฟราโนมิเตอร์อ้างอิงมาแปลงค่าความเข้มรังสีดวงอาทิตย์ให้อยู่ในหน่วย W/m^2 และนำค่าที่ได้มาเขียนกราฟกับค่าสักยีไฟฟ้าที่ได้จากไฟราโนมิเตอร์ซึ่งต้องการสอบเทียบ

2) อ่านค่าความชันของกราฟซึ่งจะเป็นค่า sensitivity ค่าใหม่ของไพรอโนมิเตอร์ที่ทำการสอบเทียบ

ค่า sensitivity (S) ของเครื่องวัดที่เป็นค่าความชันของกราฟ สามารถคำนวณจากความสัมพันธ์ในสมการ (3.2)

$$S = \frac{\text{ศักย์ไฟฟ้าของเครื่องที่ต้องการสอบเทียบ}}{\text{ความเข้มรังสีดวงอาทิตย์ที่ได้จากเครื่องวัดมาตรฐาน}} \quad (3.2)$$

ตัวอย่างการสอบเทียบเครื่องวัดและกราฟแสดงการคำนวณค่า sensitivity ของสถานีวัดต่างๆ ที่ผู้วิจัยและเจ้าหน้าที่ของห้องปฏิบัติการฯ เดินทางไปสอบเทียบ แสดงดังรูปที่ 3.17–3.20 และผลการสอบเทียบเครื่องวัดทั้ง 4 สถานี ดังกราฟในรูปที่ 3.21–3.24 ซึ่งค่า sensitivity จากการสอบเทียบแสงในตารางที่ 3.1



รูปที่ 3.17 การสอบเทียบไพรอโนมิเตอร์ที่สถานีเชียงใหม่ เมื่อเดือนพฤษภาคม 2009



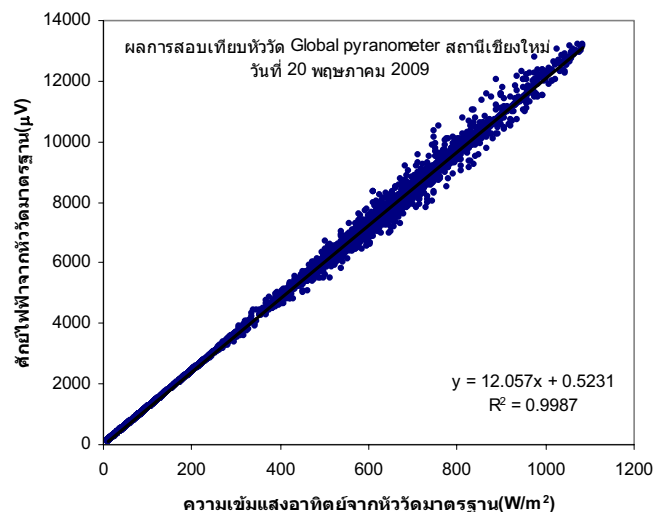
รูปที่ 3.18 การสอบเทียบไฟราโนมิเตอร์ที่สถานีอุบลราชธานี เมื่อเดือนพฤษภาคม 2009



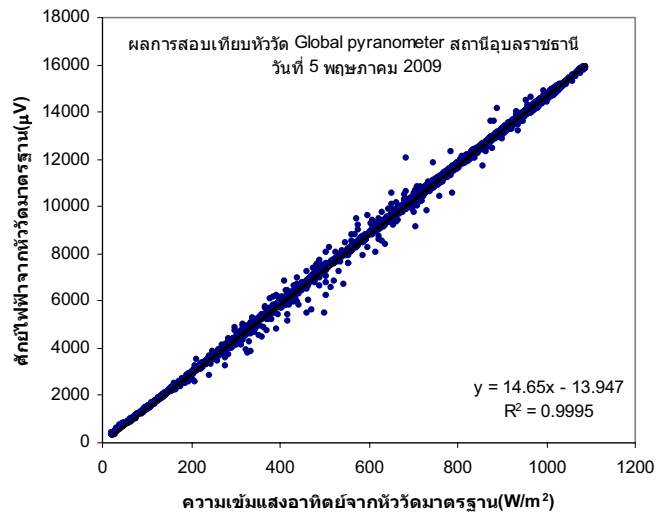
รูปที่ 3.19 การสอบเทียบไฟราโนมิเตอร์ที่สถานีนครปฐม เมื่อเดือนกุมภาพันธ์ 2010



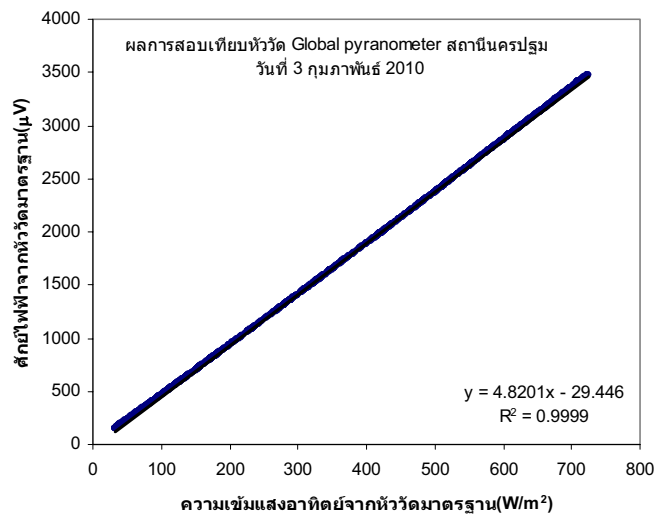
รูปที่ 3.20 การสอบเทียนไฟฟาราโนมิเตอร์ที่สถานีสังขลา เมื่อเดือนเมษายน 2009



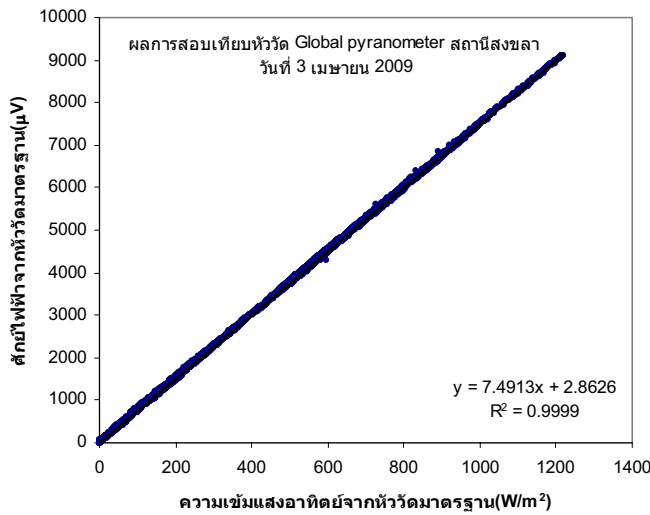
รูปที่ 3.21 กราฟความสัมพันธ์ระหว่างค่าความเข้มรังสีดวงอาทิตย์ที่ได้จากหัววัดมาตรฐาน กับค่าศักย์ไฟฟ้าจากหัววัดของสถานีเชียงใหม่



รูปที่ 3.22 กราฟความสัมพันธ์ระหว่างค่าความเข้มรังสีคงออาทิตย์ที่ได้จากหัววัดมาตรฐาน กับค่าศักย์ไฟฟ้าจากหัววัดของสถานีอุบลราชธานี



รูปที่ 3.23 กราฟความสัมพันธ์ระหว่างค่าความเข้มรังสีคงออาทิตย์ที่ได้จากหัววัดมาตรฐาน กับค่าศักย์ไฟฟ้าจากหัววัดของสถานีนครปฐม



รูปที่ 3.24 กราฟความสัมพันธ์ระหว่างค่าความเข้มรังสีดวงอาทิตย์ที่ได้จากหัววัดมาตรฐาน กับค่าสักย์ไฟฟ้าจากหัววัดของสถานีส่งขลา

ตารางที่ 3.1 ผลการสอบเทียบเครื่องวัดรังสีรวมของ 4 สถานี

สถานี	ค่า sensitivity เดิม ($\mu\text{V}/\text{W.m}^2$)	ค่า sensitivity ใหม่ ($\mu\text{V}/\text{W.m}^2$)
เชียงใหม่	12.03	12.03
อุบลราชธานี	14.52	14.52
นครปฐม	4.83	4.82
ส่งขลา	7.28	7.28

จากตารางแสดงให้เห็นว่าค่า sensitivity ของเครื่องวัดมีการเปลี่ยนแปลงน้อยมาก แสดงว่า เครื่องวัดที่ใช้ในการวัดมีสมรรถนะสูง

สำหรับเครื่องวัดรังสีตรงที่สถานีเชียงใหม่ และส่งขลา เป็นเครื่องมือที่จัดซื้อเมื่อปี ค.ศ 2007 ได้ทำการสอบเทียบก่อนนำไปติดตั้ง โดยนำเครื่องวัดรังสีตรงไปสอบเทียบกับเครื่องวัดมาตรฐานโดยใช้เครื่องวัดมาตรฐานของกรมพัฒนาพลังงานทดแทนและอนุรักษ์พลังงาน ซึ่งได้นำไปสอบเทียบกับเครื่องวัดมาตรฐานของโลกที่ World Radiation Center เมือง Davos ประเทศสวิตเซอร์แลนด์ หลังจากติดตั้งใช้งาน 1 ปี นักวิจัยของห้องปฏิบัติการพลังงานแสงอาทิตย์ได้เดินทางไปสอบเทียบเครื่องวัด โดยการนำโดยนำเครื่องวัดรังสีตรง รุ่น NIP ของ Eppley ซึ่งสอบ

เทียบโดยผู้ผลิตและเก็บรักษาไว้โดยไม่ใช้งานมาใช้เป็นมาตรฐานในการสอบเทียบผลการสอบเทียบพบว่าค่า sensitivity ของเครื่องวัดไม่เปลี่ยนแปลง

3.1.4 การควบคุมคุณภาพของข้อมูล

ข้อมูลความเข้มรังสีดวงอาทิตย์ในสภาพท้องฟ้าปราศจากเมฆที่นำมาใช้ในงานวิจัยนี้คือ ข้อมูลความเข้มรังสีรวมเฉพาะบนพื้นราบ (global horizontal irradiance) และรังสีตรงเฉพาะบนพื้นราบ (direct normal irradiance) และรังสีกระจายเฉพาะบนพื้นราบ (diffuse irradiance) ถึงแม้ว่าเครื่องมือวัดจะมีการสอบเทียบอยู่เป็นประจำ แต่ข้อมูลที่จะนำมาใช้งานก็จะต้องผ่านการควบคุมคุณภาพของข้อมูลก่อน (data quality control) เพื่อกำจัดข้อมูลที่ผิดปกติออกไป โดยผู้วิจัยได้ทำการควบคุมคุณภาพข้อมูลตามขั้นตอนดังต่อไปนี้

1) เลือกใช้ข้อมูลความเข้มรังสีดวงอาทิตย์ในช่วงเวลาที่มุ่งเน้นของดวงอาทิตย์มากกว่า 5 องศาขึ้นไป เพื่อหลีกเลี่ยงค่า error เนื่องจาก Cosine response ของหัววัด และผลกระทบสิ่งกีดขวางต่างๆ

2) เปรียบเทียบระหว่างข้อมูลความเข้มรังสีรวมกับความเข้มรังสีดวงอาทิตย์นอกบรรยากาศโลกบนพื้นราบ (I_o) โดยทั่วไปเมื่อรังสีดวงอาทิตย์เคลื่อนที่ผ่านบรรยากาศโลกจะถูกดูดกลืนและกระเจิง โดยองค์ประกอบของบรรยากาศ ทำให้ความเข้มรังสีรวมที่ตกรอบพื้นผิวโลกมีค่าน้อยกว่าความเข้มรังสีดวงอาทิตย์นอกบรรยากาศโลกเสมอ ค่าความเข้มรังสีรวม (I_G) ของดวงอาทิตย์ที่ไม่สอดคล้องกับเงื่อนไขดังสมการ (3.3) ถือว่าเป็นข้อมูลผิดพลาด ผู้วิจัยจะไม่นำข้อมูลมาใช้ในการวิเคราะห์

$$I_G < 0.9I_o \quad (3.3)$$

เมื่อ I_o คือ ความเข้มรังสีดวงอาทิตย์นอกบรรยากาศโลกบนพื้นราบ [W/m^2]

I_G คือ ความเข้มรังสีรวมบนพื้นราบ (global horizontal irradiance) [W/m^2]

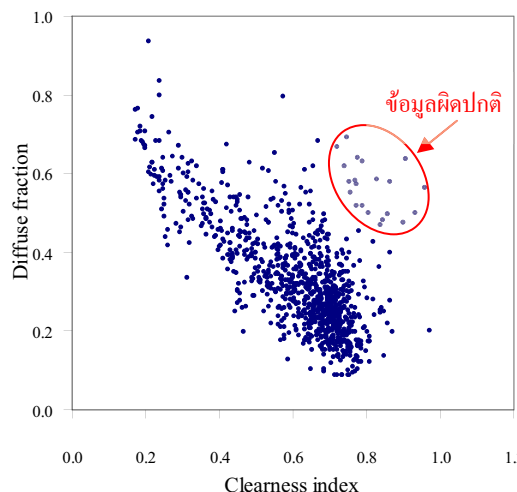
3) เปรียบเทียบระหว่างข้อมูลรังสีกระจายกับข้อมูลรังสีรวม โดยทั่วไปรังสีกระจาย (I_d) จะมีค่าน้อยกว่าหรือเท่ากับความเข้มรังสีรวม (I_G) ดังนั้นข้อมูลใดที่ขัดแย้งกับเงื่อนไขดังกล่าว จะถือว่าเป็นข้อมูลผิดพลาดและไม่นำมาใช้ในการวิเคราะห์ เราสามารถเชียนเป็นเงื่อนไขได้ดังนี้

$$I_d \leq I_G \quad (3.4)$$

เมื่อ I_d คือ ความเข้มรังสีกระจายบนพื้นราบ (diffuse irradiance) [W/m²]

I_G คือ ความเข้มรังสีรวมบนพื้นราบ (global horizontal irradiance) [W/m²]

4) สังเกตจากความสัมพันธ์ของค่า diffuse fraction และ clearness index เพื่อตรวจสอบค่าผิดปกติของข้อมูลรังสีกระจายกรณีที่วงแหวนไม่บังดวงอาทิตย์ เพราะเป็นข้อมูลที่มีความผิดพลาดตัวอย่างของข้อมูลที่ผิดปกติแสดงไว้ดังรูปที่ 3.25



รูปที่ 3.25 ลักษณะข้อมูลที่ผิดปกติ ซึ่งจำเป็นต้องตรวจสอบ

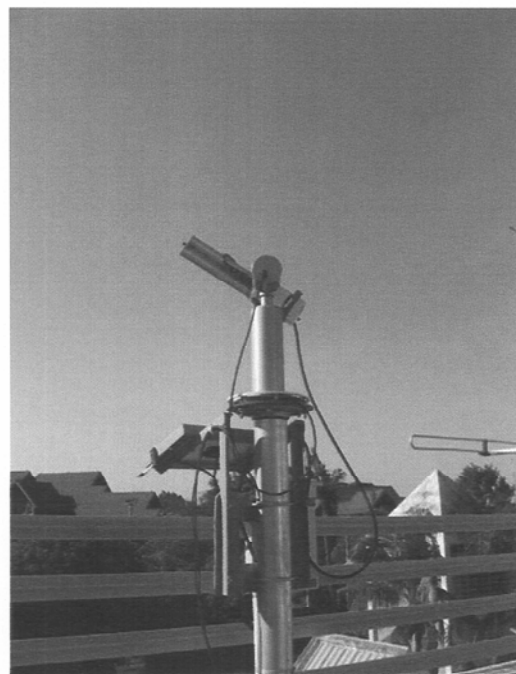
โดยปกติ เมื่อห้องฟ้ามีสภาพแจ่มใส ค่า clearness index จะมีค่ามาก ปริมาณรังสีกระจายจะมีค่าน้อยซึ่งส่งผลให้ค่า diffuse fraction จะมีค่าน้อยตามกัน ดังนั้นข้อมูล diffuse irradiance ที่ขัดกับหลักความจริงดังกล่าว ถือว่าเป็นข้อมูลที่เกิดจากการที่วงแหวนไม่บังดวงอาทิตย์ (ข้อมูลในวงกลมแสดงดังรูปที่ 3.25)

3.1.5 การคัดเลือกข้อมูล

ในงานวิจัยนี้ผู้วิจัยทำการคัดเลือกข้อมูลเฉพาะในช่วงที่ห้องฟ้าปราศจากเมฆ โดยอาศัยข้อมูลจากเครื่อง sunphotometer ของห้องปฏิบัติการวิจัยพลังงานแสงอาทิตย์ซึ่งเป็นสมาชิกของ AERONET (The Aerosol Robotic Network) เพื่อรับช่วงเวลาห้องฟ้าปราศจากเมฆ

AERONET เป็นเครือข่ายที่พัฒนาเทคโนโลยีการวัดคุณสมบัติของฝุ่นละออง(aerosol)ในบรรยากาศ เครื่อง sunphotometer ทำการวัดспектรัมรังสีตรงในช่วงที่ห้องฟ้าปราศจากเมฆ ในการวัดคุณสมบัติของฝุ่นละอองในบรรยากาศอย่างแม่นยำนั้นจะต้องใช้ข้อมูลสเปกตรัมในช่วงที่ห้องฟ้าปราศจากเมฆ โดย AERONET ได้พัฒนาโปรแกรมคอมพิวเตอร์สำหรับคัดกรองข้อมูลสเปกตรัม

รังสีดวงอาทิตย์ในช่วงที่ห้องฟ้าปราศจากเมฆ ผู้วิจัยจะใช้ช่วงเวลาดังกล่าวเป็นตัวบอกช่วงเวลาของรังสีดวงอาทิตย์ที่จะนำมาใช้งาน ห้องปฏิบัติการวิจัยพลังงานแสงอาทิตย์ ภาควิชาฟิสิกส์ คณะวิทยาศาสตร์ มหาวิทยาลัยศิลปากร ดำเนินการติดตั้งเครื่อง sunphotometer ที่สถานีวัด 4 แห่งดังที่กล่าวไว้ข้างต้น โดยเก็บข้อมูลบนนาโนปั๊กับเครื่องวัดความเข้มรังสีดวงอาทิตย์



รูปที่ 3.26 เครื่อง sunphotometer ของสถานีเชียงใหม่



รูปที่ 3.27 เครื่อง sunphotometer ของสถานีอุบลราชธานี



รูปที่ 3.28 เครื่อง sunphotometer ของสถานีนนทบุรี



รูปที่ 3.29 เครื่อง sunphotometer ของสถานีสงขลา

เนื่องจากสถานีที่ 4 แห่งมีเครื่องถ่ายภาพท้องฟ้า (sky view) ติดตั้งอยู่ด้วย ผู้วิจัยจะใช้ข้อมูลภาพถ่ายท้องฟ้ามาประกอบในการคัดเลือกช่วงเวลาที่ท้องฟ้าปราศจากเมฆ



รูปที่ 3.30 เครื่องถ่ายภาพท้องฟ้าของสถานีเชียงใหม่



รูปที่ 3.31 เครื่องถ่ายภาพท้องฟ้าของสถานีอุบลราชธานี



รูปที่ 3.32 เครื่องถ่ายภาพท้องฟ้าของสถานีนครปฐม



รูปที่ 3.33 เครื่องถ่ายภาพท้องฟ้าของสถานีสังขลา



รูปที่ 3.34 ตัวอย่างภาพถ่ายท้องฟ้าจากเครื่อง sky view ในสภาพท้องฟ้าปราศจากเมฆสถานีเชียงใหม่ วันที่ 30 พฤศจิกายน 2008 เวลา 12.00 น.



รูปที่ 3.35 ตัวอย่างภาพถ่ายท้องฟ้าจากเครื่อง sky view ในสภาพท้องฟ้าปราศจากเมฆสถานีอุบลราชธานี วันที่ 1 พฤศจิกายน 2009 เวลา 8.40 น.



รูปที่ 3.36 ตัวอย่างภาพถ่ายท้องฟ้าจากเครื่อง sky view ในสภาพท้องฟ้าปราศจากเมฆสถานีนนทบุรี วันที่ 2 ธันวาคม 2008 เวลา 12.00 น.



รูปที่ 3.37 ตัวอย่างภาพถ่ายท้องฟ้าจากเครื่อง sky view ในสภาพท้องฟ้า
ปราศจากเมมสถานีส่งขลา วันที่ 25 พฤษภาคม 2008 เวลา 10.00 น.

3.2 การพัฒนาแบบจำลองความเข้มรังสีรวมในสภาพท้องฟ้าปราศจากเมมสำหรับประเทศไทย

ค่าความเข้มรังสีดวงอาทิตย์ในสภาพท้องฟ้าปราศจากเมมสามารถใช้เป็นค่าอ้างอิงเพื่อคำนวณความเข้มรังสีดวงอาทิตย์จากภาพถ่ายดาวเทียม (Hammer et al., 2003) นอกจากนี้ยังใช้ในการคำนวณสมรรถนะของระบบรวมแสงต่างๆ (concentrating system) เนื่องจากปัจจุบันแบบจำลองสำหรับคำนวณความเข้มรังสีดวงอาทิตย์ในสภาพท้องฟ้าปราศจากเมมมีหลายแบบจำลอง โดยแต่ละแบบจำลองสร้างมาจากข้อมูลที่แตกต่างกัน และมีความเหมาะสมในการใช้งานที่ต่างกัน สำหรับกรณีประเทศไทยยังไม่สามารถระบุได้ชัดเจนว่าแบบจำลองใดมีความเหมาะสมต่อสภาพท้องฟ้าของประเทศไทย ดังนั้นผู้วิจัยจึงเสนอที่จะพัฒนาแบบจำลองความเข้มรังสีรวมที่เหมาะสมกับประเทศไทย

3.2.1 ข้อมูล

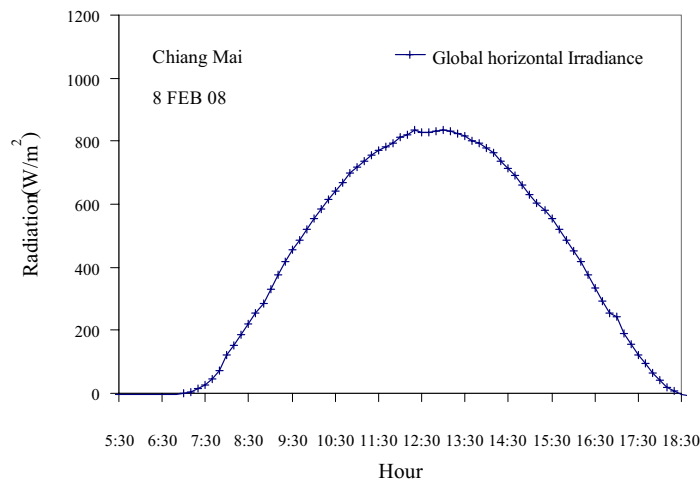
ในการสร้างแบบจำลองค่าความเข้มรังสีรวมในสภาพท้องฟ้าปราศจากเมมจำเป็นต้องใช้ข้อมูลต่างๆ ได้แก่ ค่าความเข้มรังสีรวมบนพื้นราบ มุมเชนิช แฟกเตอร์สำหรับแก้ผลจากความเรียกของวงโคจร (eccentricity correction factor) มวลอากาศ ค่าสัมประสิทธิ์ความชุ่มน้ำบรรยากาศของอังสตรอม (Angstrom turbidity coefficient) เลขยกกำลังอังสตรอม (Angstrom wavelength exponent) ปริมาณไอน้ำในบรรยากาศ (precipitable water) และปริมาณโอโซน (total column ozone) โดยช่วงเวลาของข้อมูลที่ใช้แสดงไว้ในตารางที่ 3.2

ตารางที่ 3.2 ช่วงข้อมูลที่ใช้ในการพัฒนาและทดสอบแบบจำลอง

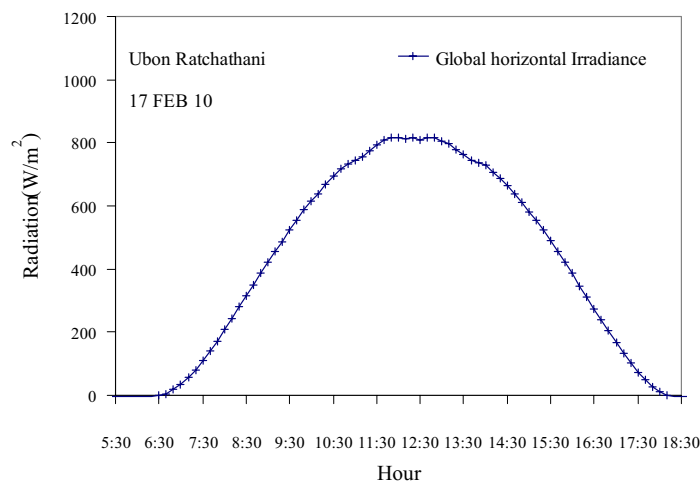
สถานี	ข้อมูลพัฒนาแบบจำลอง	ข้อมูลทดสอบแบบจำลอง
เชียงใหม่	มกราคม – ธันวาคม 2007	มกราคม – ธันวาคม 2008
นครปฐม	มกราคม – ธันวาคม 2007	มกราคม – ธันวาคม 2008
สงขลา	มกราคม – ธันวาคม 2007	มกราคม – ธันวาคม 2008
อุบลราชธานี	-	พฤษจิกายน 2009 – กุมภาพันธ์ 2010

3.2.1.1 ข้อมูลความเข้มรังสีรวมบนพื้นราบ

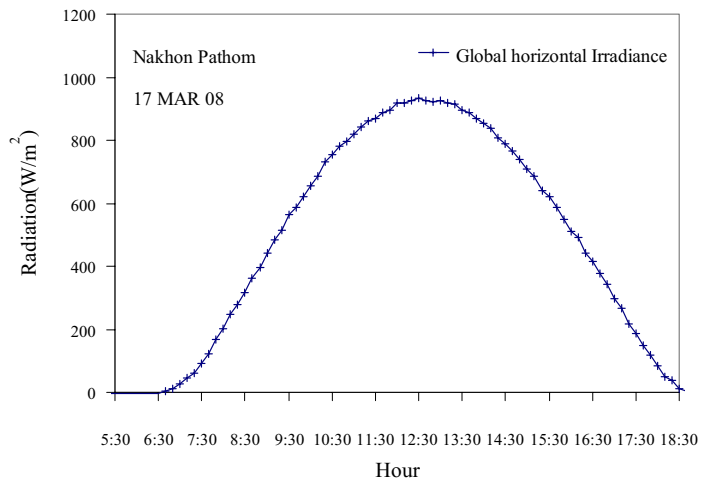
ในการพัฒนาแบบจำลองและทดสอบแบบจำลอง ผู้วิจัยใช้ข้อมูลความเข้มรังสีรวมบนพื้นราบ โดยอยู่ในรูปของข้อมูลเฉลี่ยรายชั่วโมง มีหน่วยเป็น W/m^2 ที่ได้จากการแปลงข้อมูลดิบรายสิบนาทีจากเครื่องไฟฟารอนิมิเตอร์ที่สถานีเชียงใหม่ สถานีนครปฐมและสถานีสงขลา ยกเว้นสถานีอุบลราชธานีไม่ได้นำมาใช้ในการพัฒนาแบบจำลองเนื่องจากข้อมูลໄอน้ำและผุ่นละอองจากเครื่อง sunphotometer มีจำกัด แต่ได้นำมาใช้ในการทดสอบแบบจำลอง ผู้วิจัยได้คัดเลือกช่วงเวลาที่ห้องฟ้าปราศจากเมฆจากการใช้ข้อมูลจากเครื่อง sunphotometer และภาพถ่ายห้องฟ้าเป็นตัวบ่งชี้ นอกจากนี้ผู้วิจัยยังนำข้อมูลรายสิบนาทีมาเขียนกราฟกับเวลาเพื่อสังเกตการเปลี่ยนแปลงของค่าความเข้มรังสีรวมตามเวลาในรอบวันซึ่งจะพบว่า ลักษณะกราฟที่ได้ จะมีการแปรค่าความเข้มรังสีดวงอาทิตย์อย่างสม่ำเสมอตามตัวอย่างในรูปที่ 3.38 – 3.41



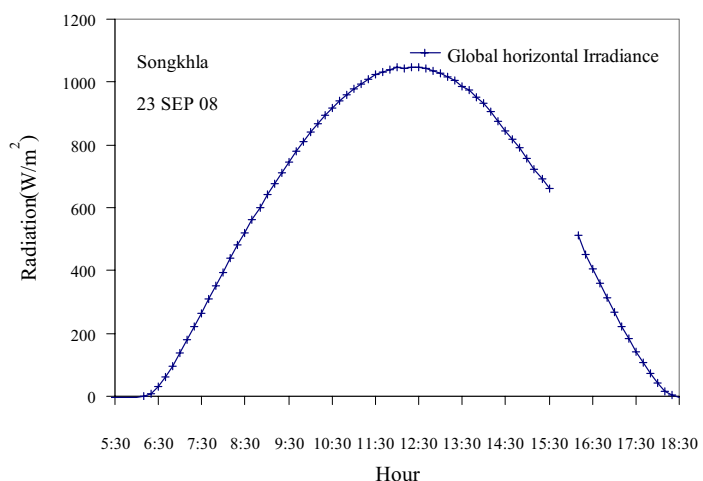
รูปที่ 3.38 ตัวอย่างกราฟความเข้มรังสีรวมในวันที่ 8 กุมภาพันธ์ 2008 สถานีเชียงใหม่ วันที่ 8 กุมภาพันธ์ 2008



รูปที่ 3.39 ตัวอย่างกราฟความเข้มรังสีรวมในวันที่ 17 กุมภาพันธ์ 2010 สถานีอุบลราชธานี วันที่ 17 กุมภาพันธ์ 2010



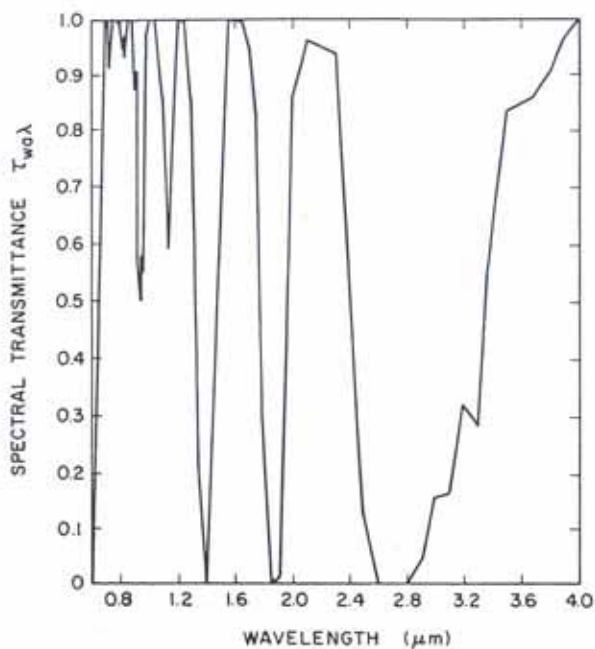
รูปที่ 3.40 ตัวอย่างกราฟความเข้มรังสีรวมในวันที่ท้องฟ้าปราศจากเมฆของสถานีนครปฐม วันที่ 17 มีนาคม 2008



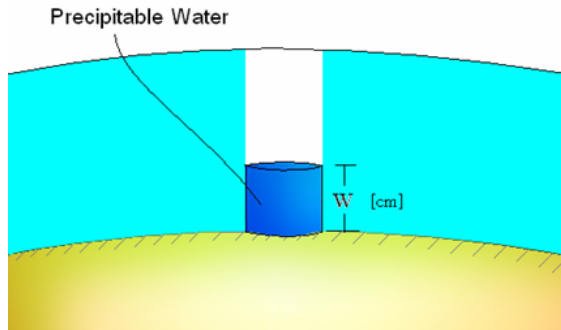
รูปที่ 3.41 ตัวอย่างกราฟความเข้มรังสีรวมในวันที่ท้องฟ้าปราศจากเมฆของสถานีสงขลา วันที่ 23 กันยายน 2008

3.2.1.2 ข้อมูลโอนนำ

นำสามารถดูยังไนบรรยายอากาศได้ 3 สถานะ คือ แก๊ส ของเหลวและของแข็ง นำในสถานะแก๊สเรียกว่า ไอนำ ปริมาณไอนำในบรรยายอากาศมีผลต่อค่าความเปื้นรังสีคิววิอาทิตี้เนื่องจากไอนำคุณลักษณะเดียวกันรังสีคิววิอาทิตี้ในช่วงอินฟราเรดดังกราฟรูปที่ 3.42 โดยทั่วไปปริมาณไอนำสามารถดูในรูปของปริมาณไอนำกลั่นตัวได้ (Precipitable water , w) ซึ่งเป็นปริมาณไอนำไปในคลั่มน์ของบรรยายอากาศที่พิจารณาดังแต่พื้นผิวโลกจนถึงส่วนบนของบรรยายอากาศ ดังรูปที่ 3.43 เมื่อสมมติว่า ไอนำกลั่นตัวเป็นนำซึ่งสามารถหาได้จากสมการ (3.5)



รูปที่ 3.42 การดูดกลืนรังสีดาวอาทิตย์ที่ความยาวคลื่นต่าง ๆ ของไอน้ำในบรรยากาศ



รูปที่ 3.43 ปริมาณไอน้ำกลั่นตัวในบรรยากาศ

$$w = \frac{1}{g_0} \int M_r dZ \quad (3.5)$$

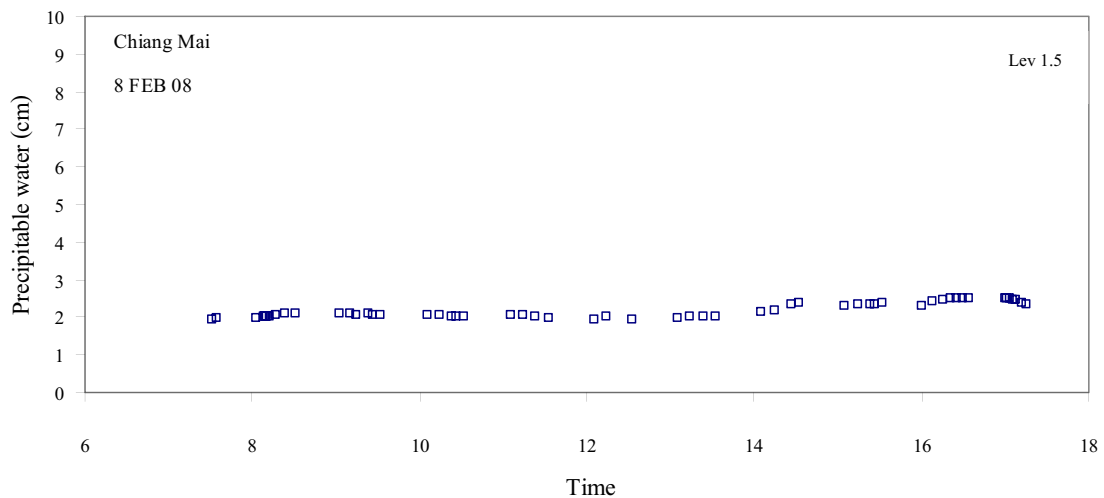
เมื่อ

M_r คือ mixing ratio ซึ่งเป็นอัตราส่วนของไอน้ำต่อมวลของอากาศแห้งในปริมาตรหนึ่งหน่วย

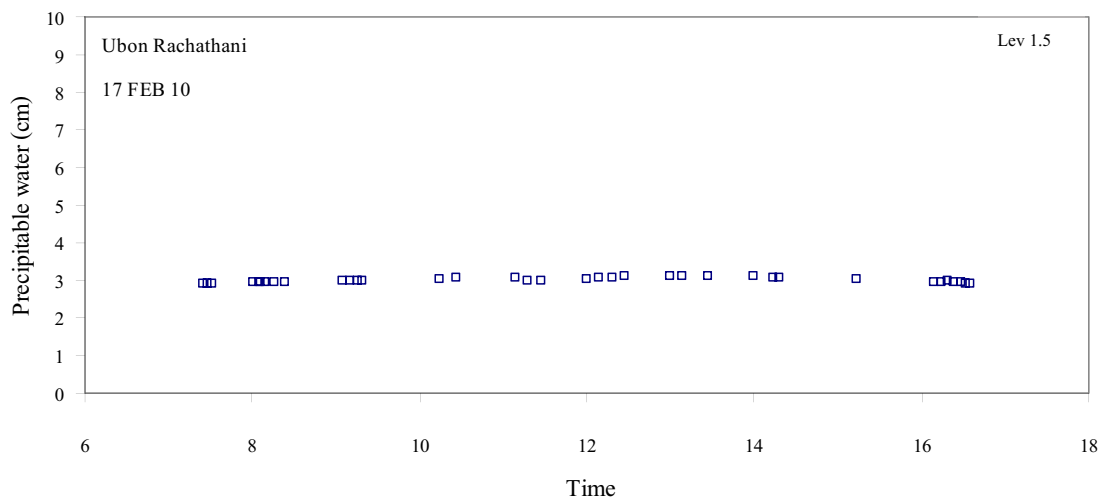
Z คือ ความสูงในแนวตั้ง

G คือ ความเร่งเนื่องจากความโน้มถ่วงของโลก

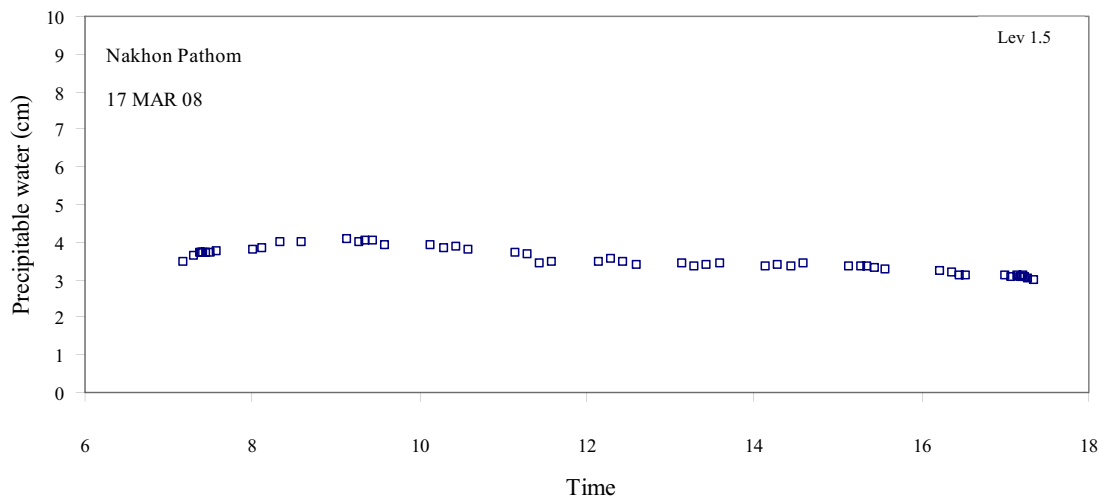
ในการพัฒนาแบบจำลองและทดสอบแบบจำลอง ผู้วิจัยใช้ข้อมูลปริมาณไอน้ำในรูปของปริมาณไอน้ำกลั่นตัวในหน่วย cm ที่ได้จากการวัดด้วยเครื่อง sunphotometer ตัวอย่างของปริมาณไอน้ำในวันที่ห้องฟ้าปราศจากเมฆจะมีค่าค่อนข้างคงที่ดังรูปที่ 3.44-3.47 เมื่อผู้วิจัยนำมาเขียนกราฟเพื่อสังเกตการแปรค่าตามเวลาในรอบปีพบว่าปริมาณไอน้ำมีการเปลี่ยนแปลงตามฤดูกาลดังรูปที่ 3.48-3.51



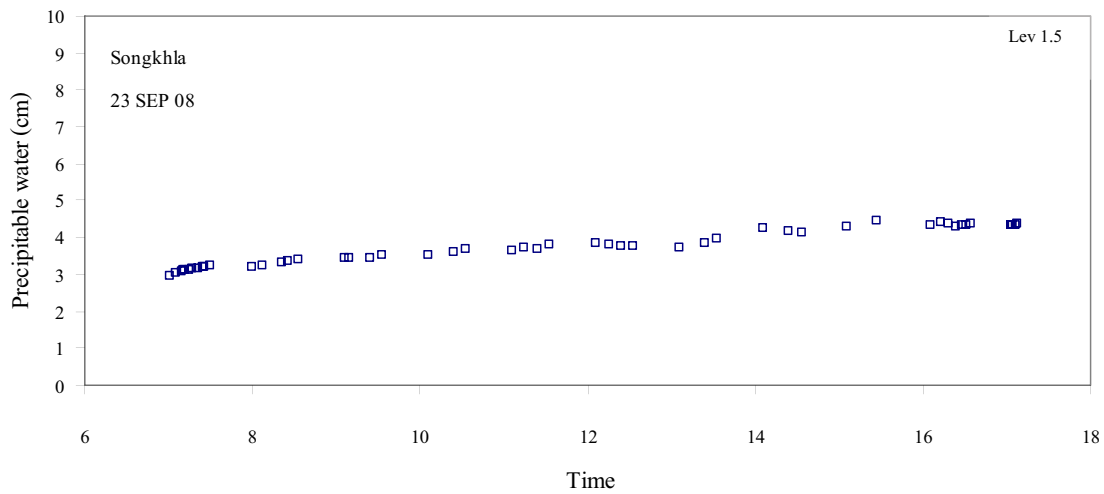
รูปที่ 3.44 การเปลี่ยนแปลงของปริมาณไอน้ำตามเวลาในรอบวันของสถานี
เชียงใหม่ วันที่ 8 กุมภาพันธ์ 2008



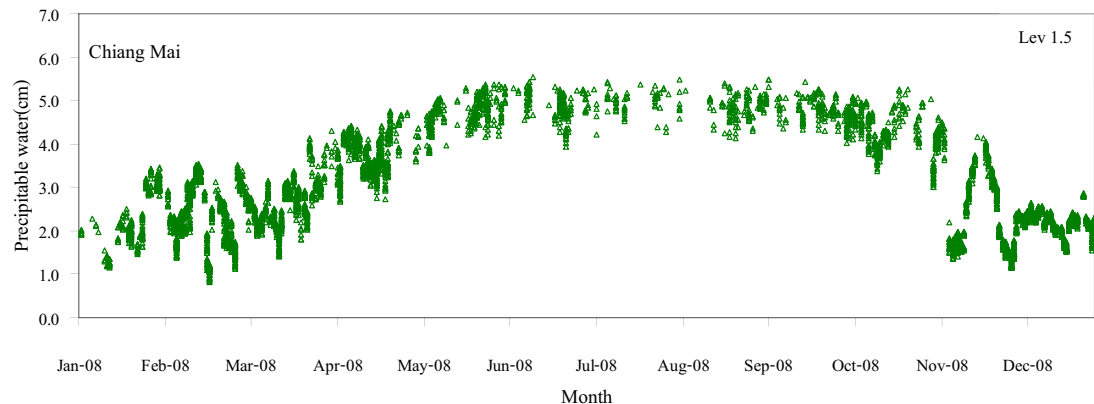
รูปที่ 3.45 การเปลี่ยนแปลงของปริมาณไอน้ำตามเวลาในรอบวันของสถานี
อุบลราชธานี วันที่ 17 กุมภาพันธ์ 2010



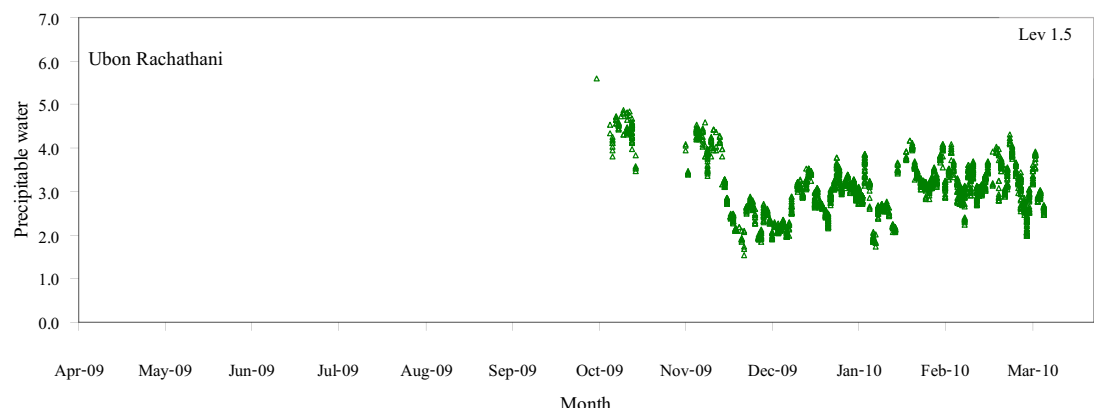
รูปที่ 3.46 การเปลี่ยนแปลงของปริมาณไอน้ำตามเวลาในรอบวัน ของสถานี
นครปฐม วันที่ 17 มีนาคม 2008



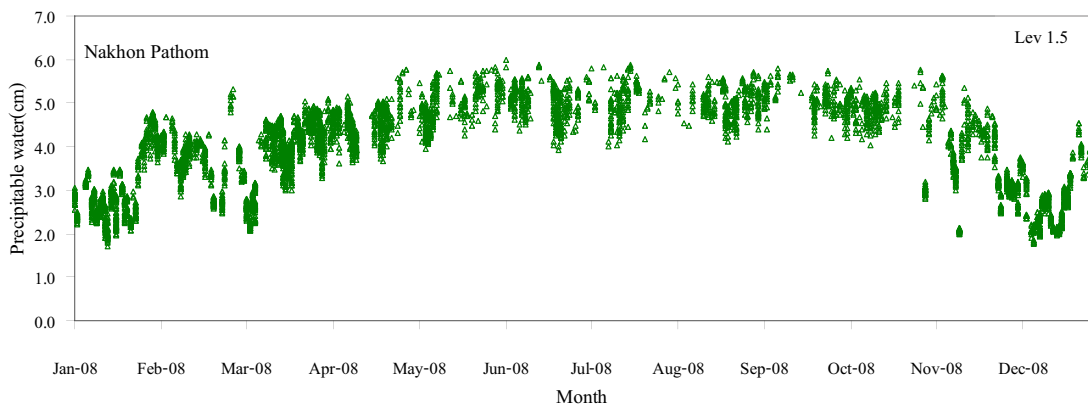
รูปที่ 3.47 การเปลี่ยนแปลงของปริมาณไอน้ำตามเวลาในรอบวัน ของสถานี
สงขลา วันที่ 23 กุมภาพันธ์ 2008



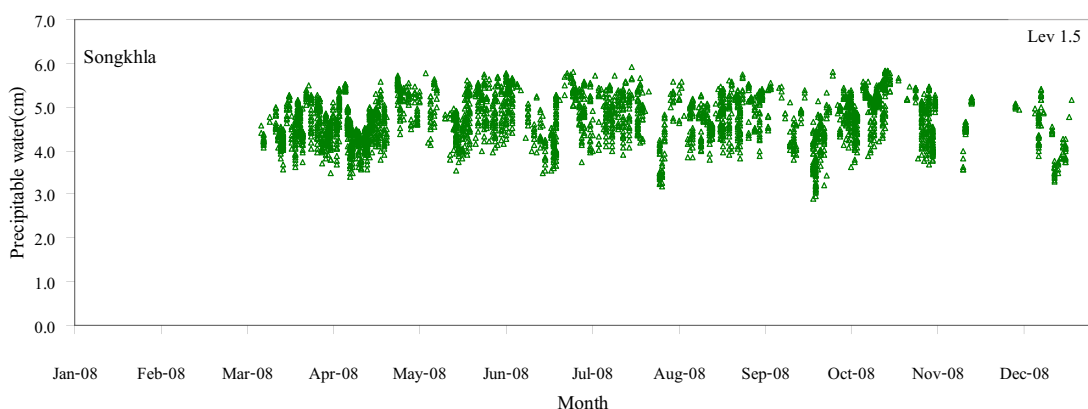
รูปที่ 3.48 การเปลี่ยนแปลงของปริมาณไอน้ำในรอบปี ของสถานีเชียงใหม่ ปี 2008



รูปที่ 3.49 การเปลี่ยนแปลงของปริมาณไอน้ำในรอบปี ของสถานีอุบลราชธานี
ตุลาคม 2009 – มีนาคม 2010



รูปที่ 3.50 การเปลี่ยนแปลงของปริมาณไอน้ำในรอบปี ของสถานีนครปฐม ปี 2008



รูปที่ 3.51 การเปลี่ยนแปลงของค่าปริมาณไอน้ำในรอบปี ของสถานีสงขลา ปี 2008

3.2.1.3 ข้อมูลผู้นักօรง

ผุนละอองเป็นตัวแปรที่มือทิพลหลักต่อการลดลงของรังสีคิวติกาทิตี้ในช่วงที่ตามมองเห็น(visible) ดังกราฟในรูปที่ 3.52 เพราะมีค่าสัมประสิทธิ์การส่งผ่านมากที่สุดในช่วงความยาวคลื่น 0.4-0.7 μm และยังมีความหลากหลายทั้งชนิดและขนาด ทำให้ผุนละอองมีผลต่อรังสีคิวติกาทิตี้อย่างซับซ้อนที่สุดในบรรดาองค์ประกอบของบรรยากาศทั้งหมด ปริมาณและขนาดผุนละอองบวกกับพารามิเตอร์ 2 ตัว คือ สัมประสิทธิ์ความขุ่น ม้วนบรรยากาศของอังสตรอม และเลขยกกำลังอัจฉริยะ ตามความสัมพันธ์ใน Angstrom's turbidity formula [Iqbal, 1983]

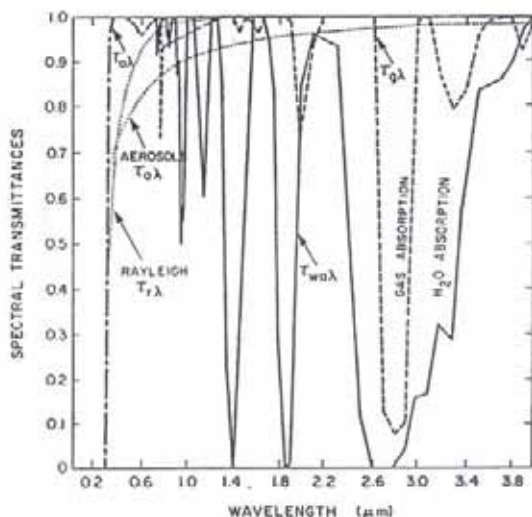
$$k_{a\lambda} = \beta \lambda^{-\alpha} \quad (3.6)$$

ໄຊຍ້

$k_{\alpha\lambda}$ คือ ค่าความลึกเชิงแสงของผุนละอองที่ความยาวคลื่นต่างๆ [-]

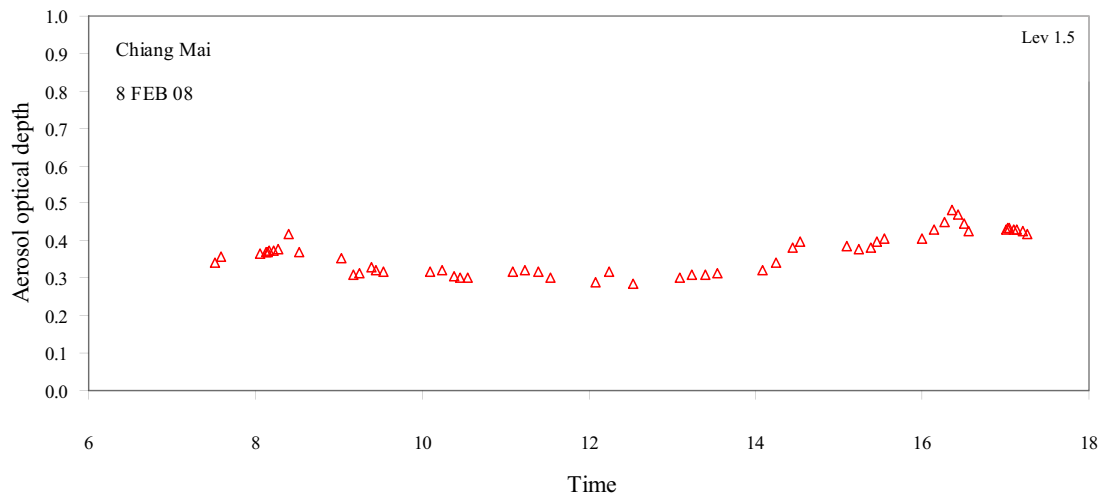
β คือ สัมประสิทธิ์ความชุ่น溼度 ของรากกาศ [-]

α គឺ លេខកកំលាំងអំពីរម [-]

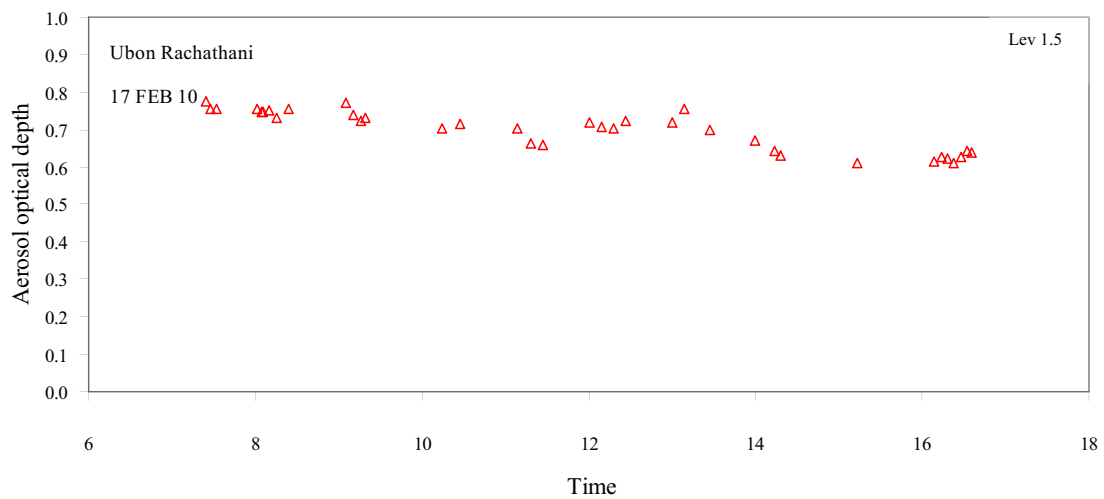


รูปที่ 3.52 การกระเจิงและดูดกลืนรังสีคงอาทิตย์ที่ความยาวคลื่นต่างๆ
ขององค์ประกอบในบรรยายกาศ

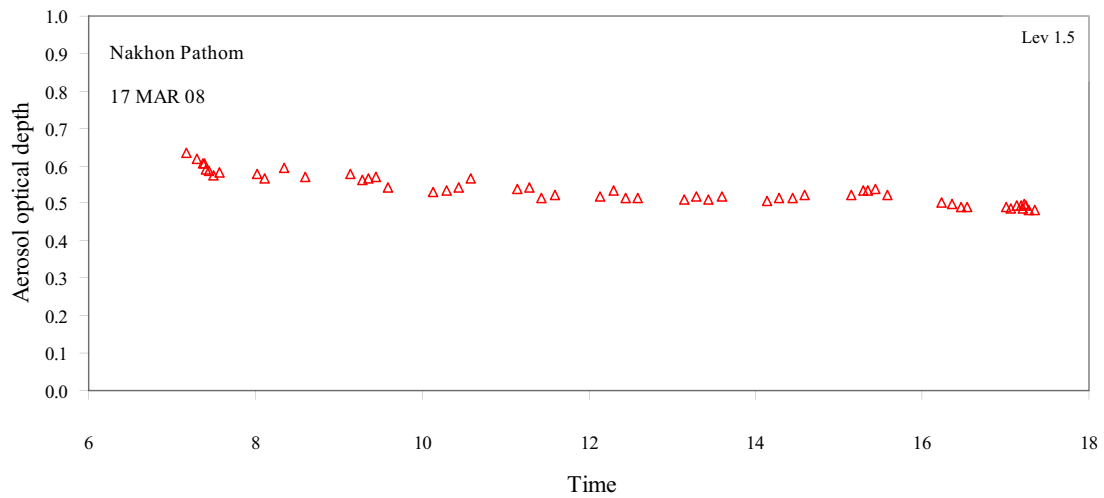
albedo และไอน้ำ สำหรับงานวิจัยนี้ผู้วิจัยใช้ค่า α จากเครื่องวัดโดยตรง ในส่วนของค่า สัมประสิทธิ์ความชุ่มน้ำบรรยายภาคของอังสตรอม (β) นั้นคำนวณจากความสัมพันธ์ของ k_{sw} และ α ในสมการ (3.6) ตัวอย่างของคุณสมบัติเชิงแสงของผุ่นละอองในวันที่ห้องฟ้าปราศจากเมฆ แสดงไว้ในรูปที่ 3.53-3.64 โดยมีค่าค่อนข้างคงที่ เมื่อนำมาเขียนกราฟการแปรค่าตามเวลาในรอบปี พบว่ามีการเปลี่ยนแปลงตามฤดูกาลดังแสดงในรูปที่ 3.65-3.76



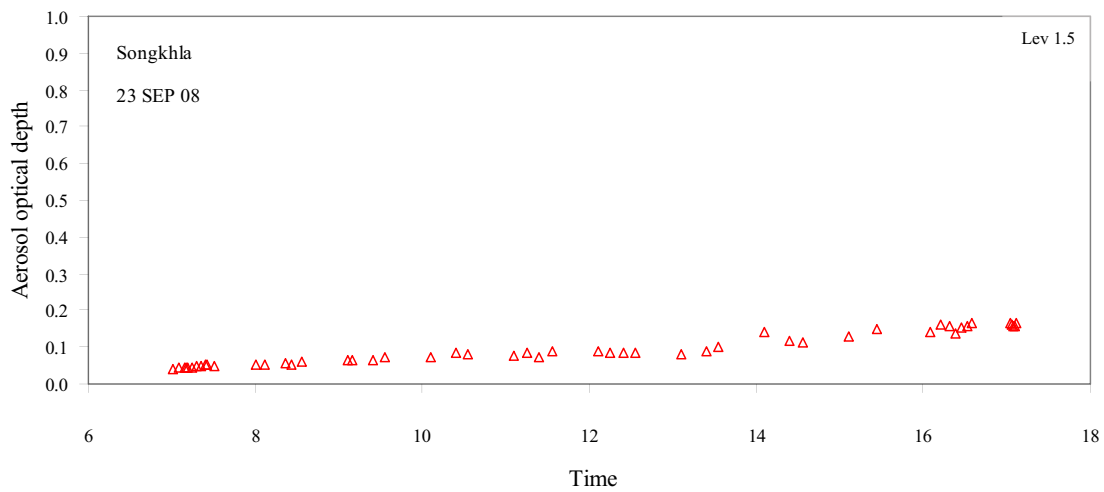
รูปที่ 3.53 การเปลี่ยนแปลงค่าความลึกเชิงแสงของฝุ่นละออง (aerosol optical depth) ตามเวลาในรอบวันของสถานีเชียงใหม่ วันที่ 8 กุมภาพันธ์ 2008



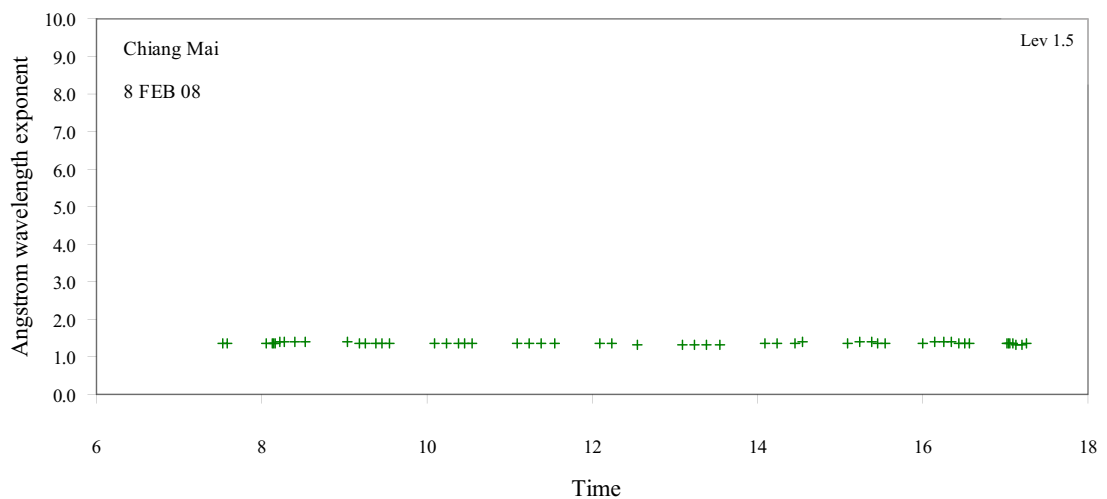
รูปที่ 3.54 การเปลี่ยนแปลงค่าความลึกเชิงแสงของฝุ่นละออง (aerosol optical depth) ตามเวลาในรอบวันของสถานีอุบลราชธานี วันที่ 17 กุมภาพันธ์ 2010



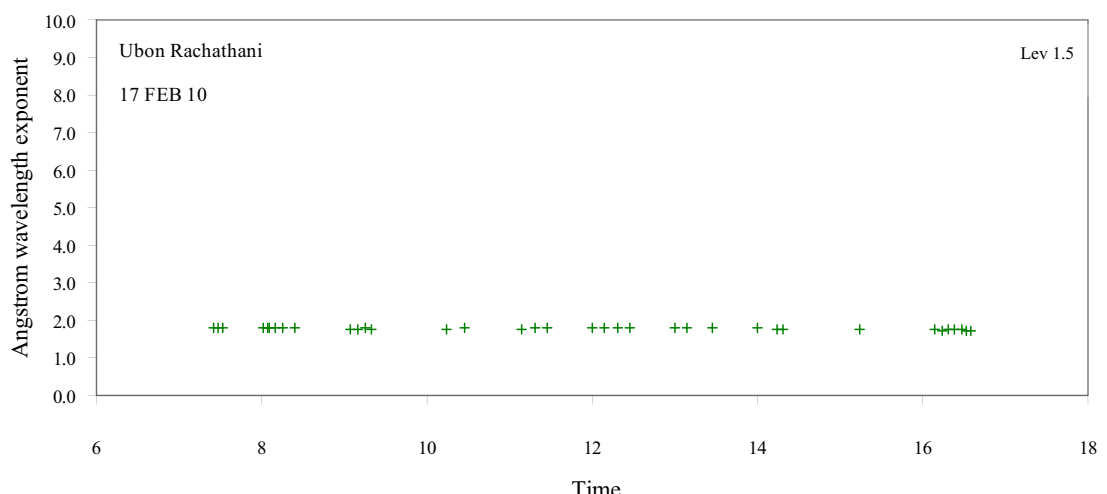
รูปที่ 3.55 การเปลี่ยนแปลงค่าความลึกเชิงแสงของฝุ่นละออง (aerosol optical depth) ตามเวลาในรอบวันของสถานีนครปฐม วันที่ 17 มีนาคม 2008

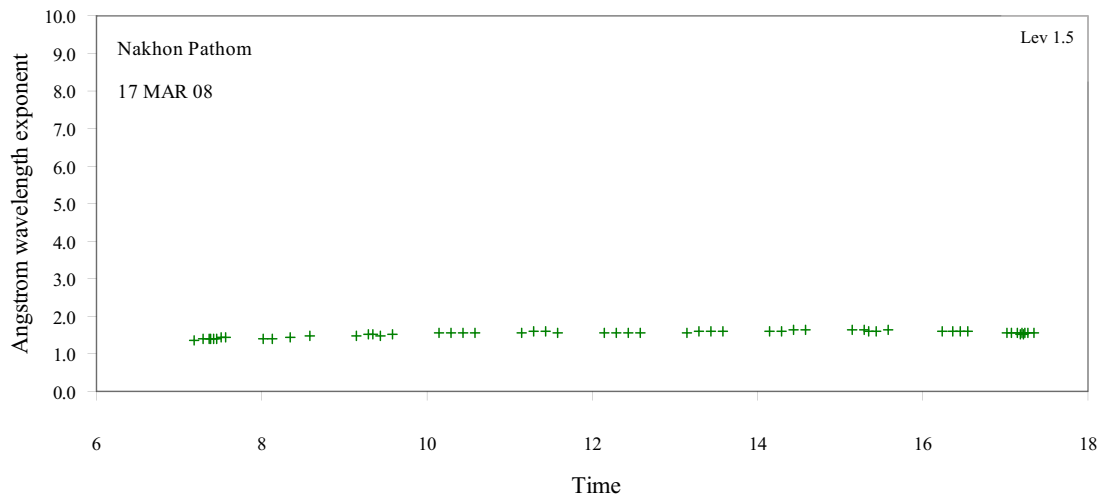


รูปที่ 3.56 การเปลี่ยนแปลงค่าความลึกเชิงแสงของฝุ่นละออง (aerosol optical depth) ตามเวลาในรอบวันของสถานีสังขลา วันที่ 23 กันยายน 2008

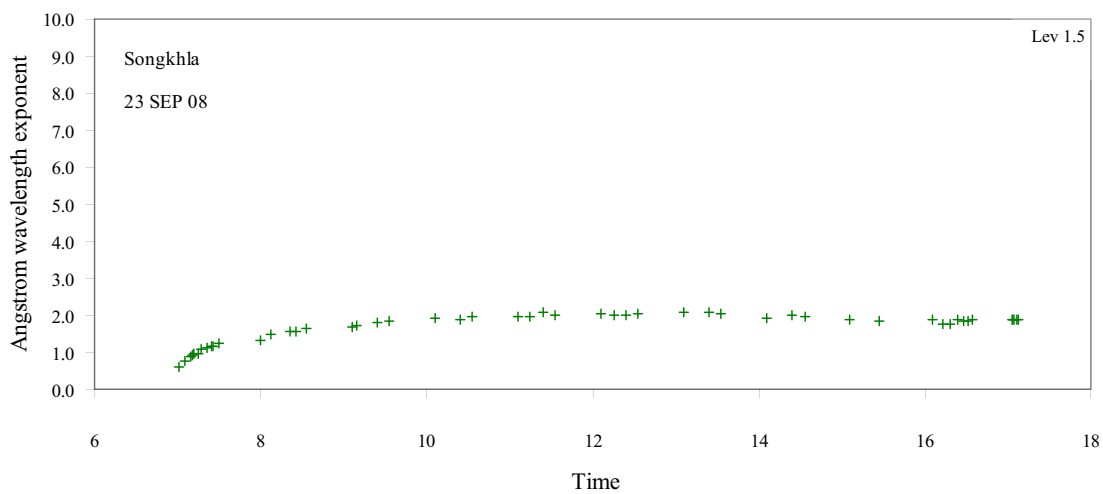


รูปที่ 3.57 การเปลี่ยนแปลงค่า Angstrom wavelength exponent ตามเวลา
ในรอบวันของสถานีเชียงใหม่ วันที่ 8 กุมภาพันธ์ 2008

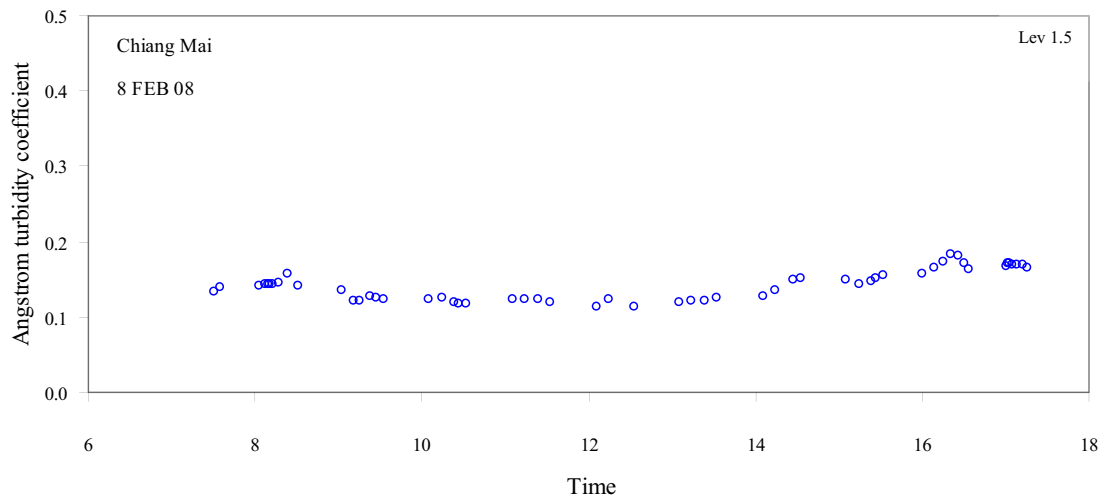




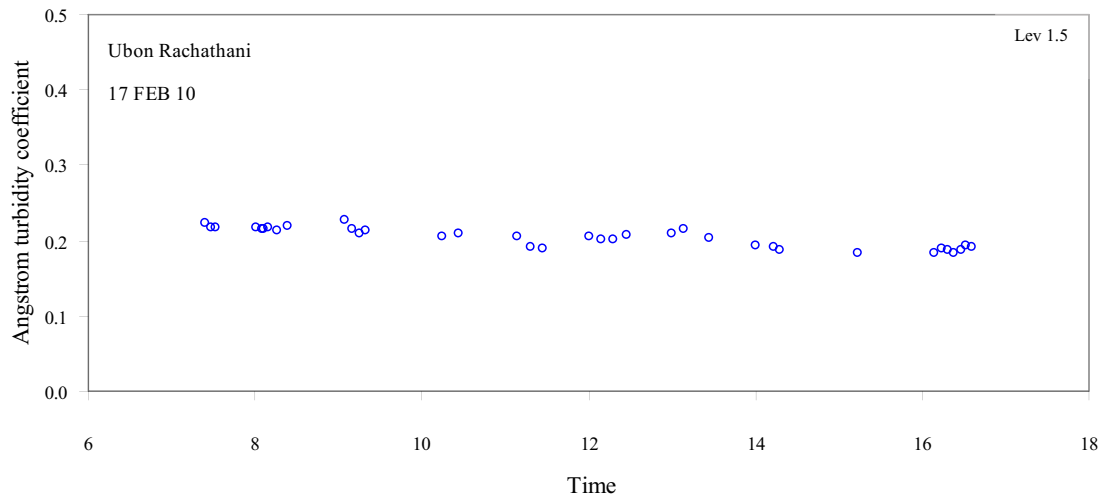
รูปที่ 3.59 การเปลี่ยนแปลงค่า Angstrom wavelength exponent ตามเวลาในรอบวันของสถานีนิครปฐมวันที่ 17 มีนาคม 2008



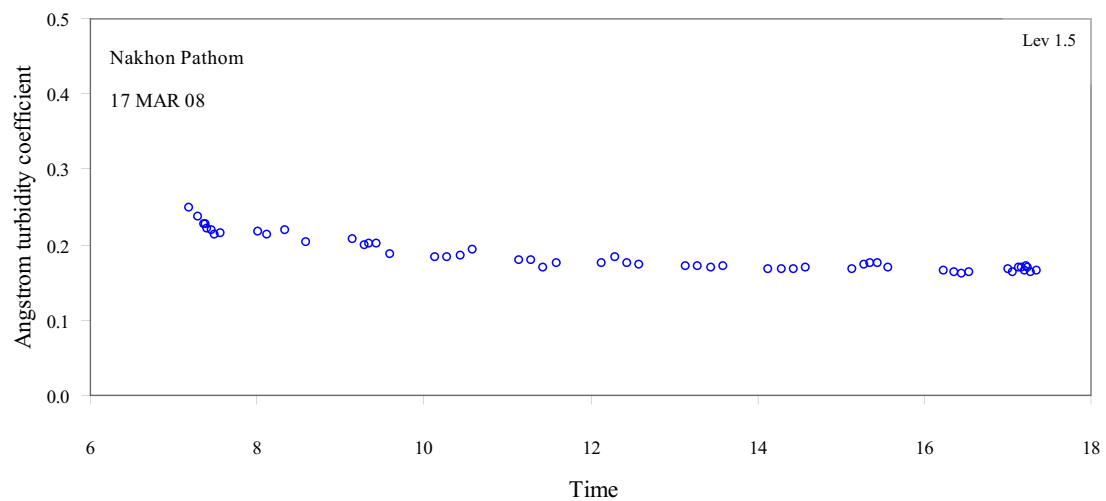
รูปที่ 3.60 การเปลี่ยนแปลงค่า Angstrom wavelength exponent ตามเวลาในรอบวันของสถานีสงขลา วันที่ 23 กันยายน 2008



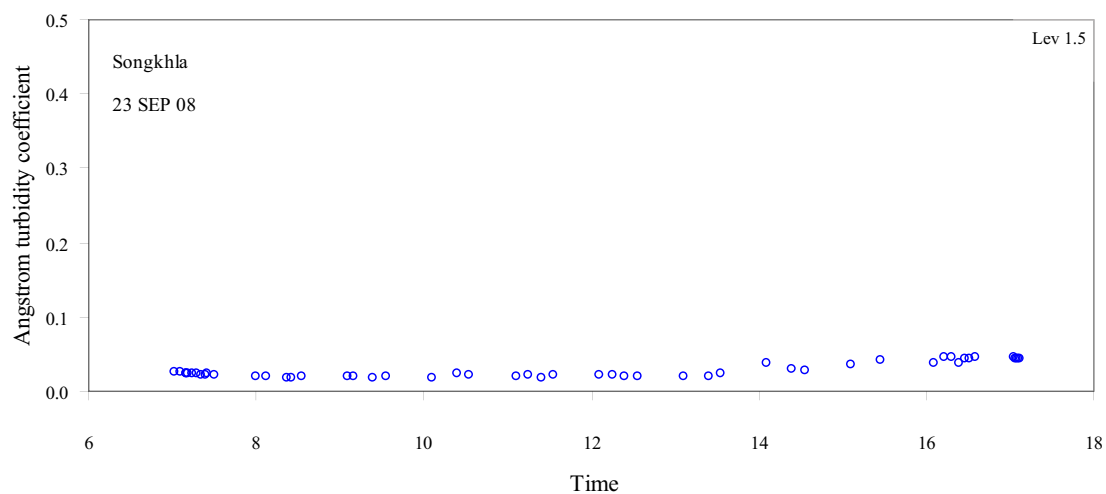
รูปที่ 3.61 การเปลี่ยนแปลงค่า Angstrom turbidity coefficient ตามเวลาในรอบวันของสถานีเชียงใหม่ วันที่ 8 กุมภาพันธ์ 2008



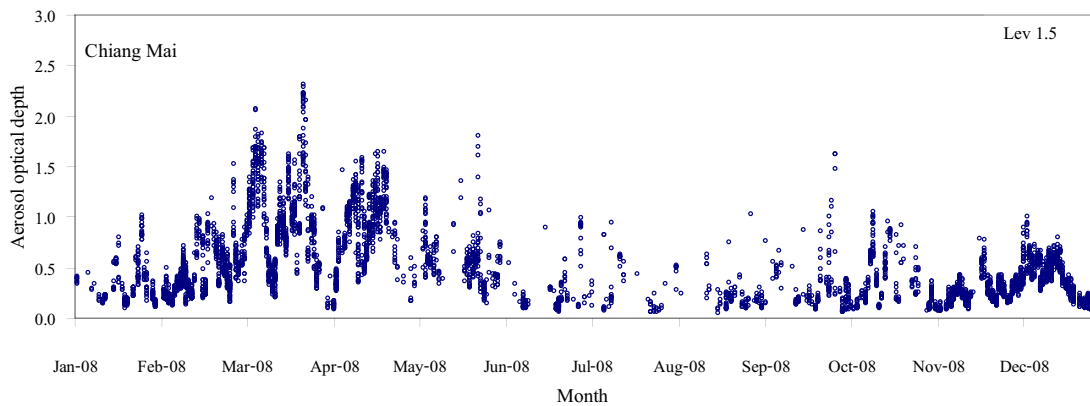
รูปที่ 3.62 การเปลี่ยนแปลงค่า Angstrom turbidity coefficient ตามเวลาในรอบวันของสถานีอุบลราชธานี วันที่ 17 กุมภาพันธ์ 2010



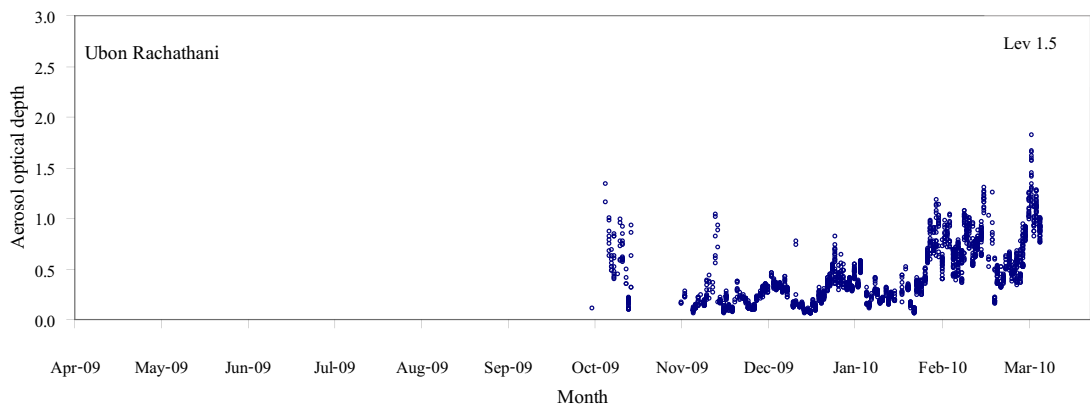
รูปที่ 3.63 การเปลี่ยนแปลงค่า Angstrom turbidity coefficient ตามเวลาในรอบวันของสถานีนนทบุรี วันที่ 17 มีนาคม 2008



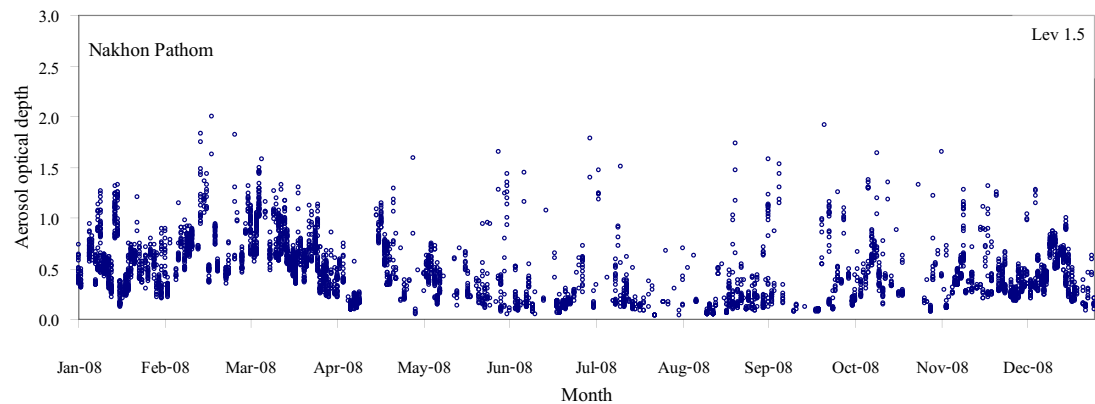
รูปที่ 3.64 การเปลี่ยนแปลงค่า Angstrom turbidity coefficient ตามเวลาในรอบวันของสถานีสงขลา วันที่ 23 กันยายน 2008



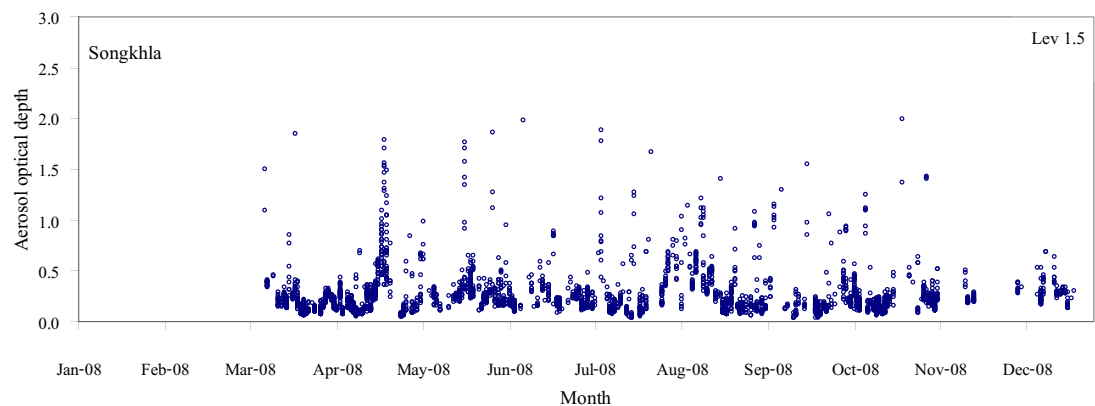
รูปที่ 3.65 การเปลี่ยนแปลงค่าความลึกเชิงแสงของฝุ่นละออง (aerosol optical depth) ในรอบปี ของสถานีเชียงใหม่ ปี 2008



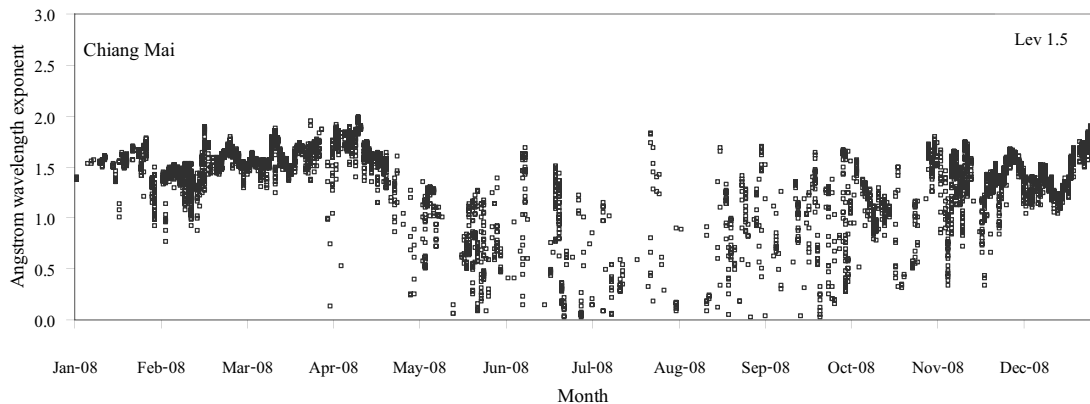
รูปที่ 3.66 การเปลี่ยนแปลงค่าความลึกเชิงแสงของฝุ่นละออง (aerosol optical depth) ในรอบปี ของสถานีอุบลราชธานี ตุลาคม 2009 – มีนาคม 2010



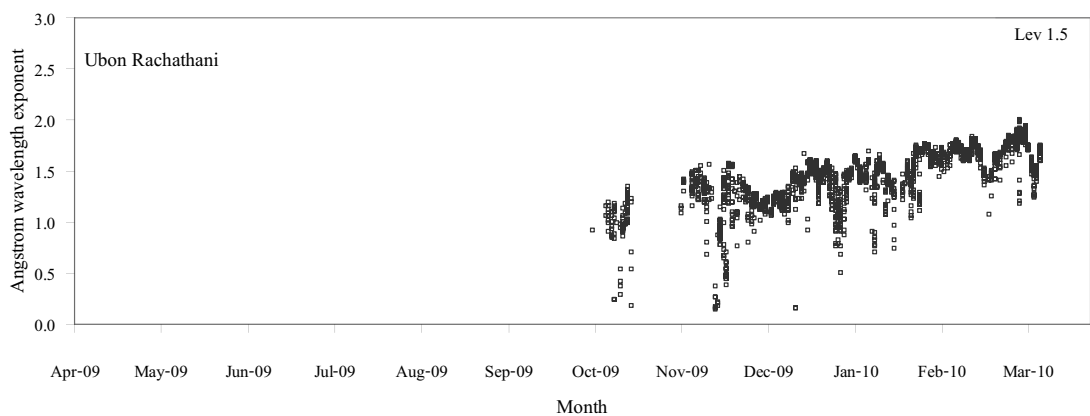
รูปที่ 3.67 การเปลี่ยนแปลงค่าความลึกเชิงแสงของฝุ่นละออง (aerosol optical depth) ในรอบปี ของสถานีนนนครปฐม ปี 2008



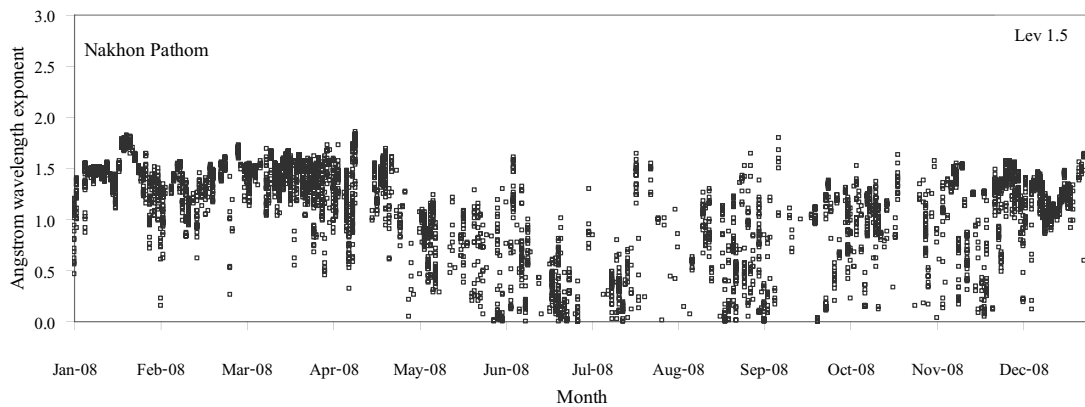
รูปที่ 3.68 การเปลี่ยนแปลงค่าความลึกเชิงแสงของฝุ่นละออง (aerosol optical depth) ในรอบปี ของสถานีสงขลา ปี 2008



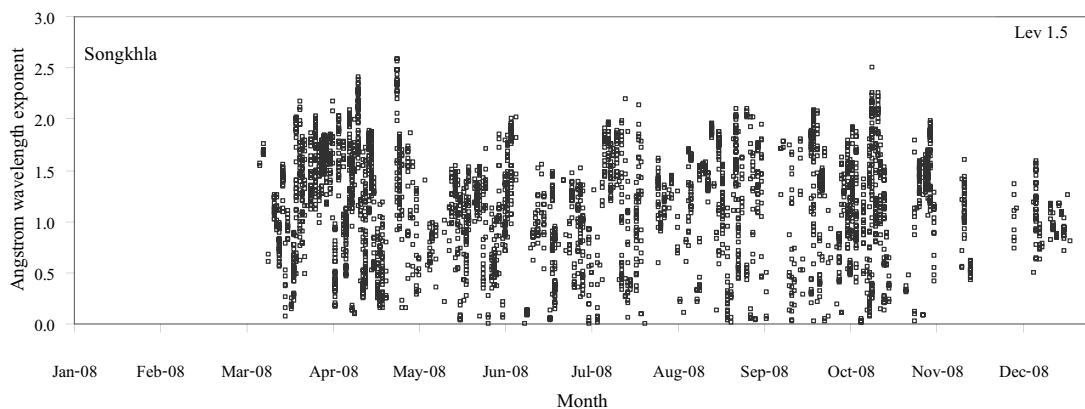
รูปที่ 3.69 การเปลี่ยนแปลงค่า Angstrom wavelength exponent ในรอบปี ของสถานี เชียงใหม่ ปี 2008



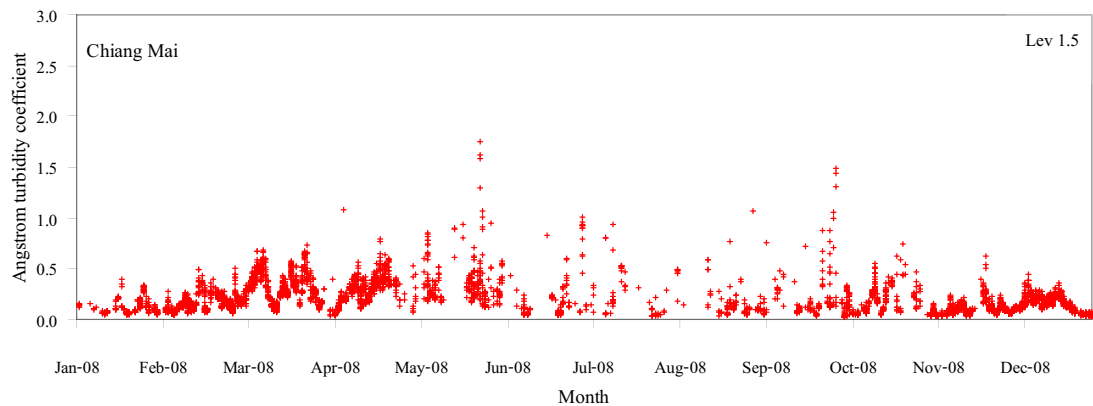
รูปที่ 3.70 การเปลี่ยนแปลงค่า Angstrom wavelength exponent ในรอบปี ของสถานี อุบลราชธานี ตุลาคม 2009 – มีนาคม 2010



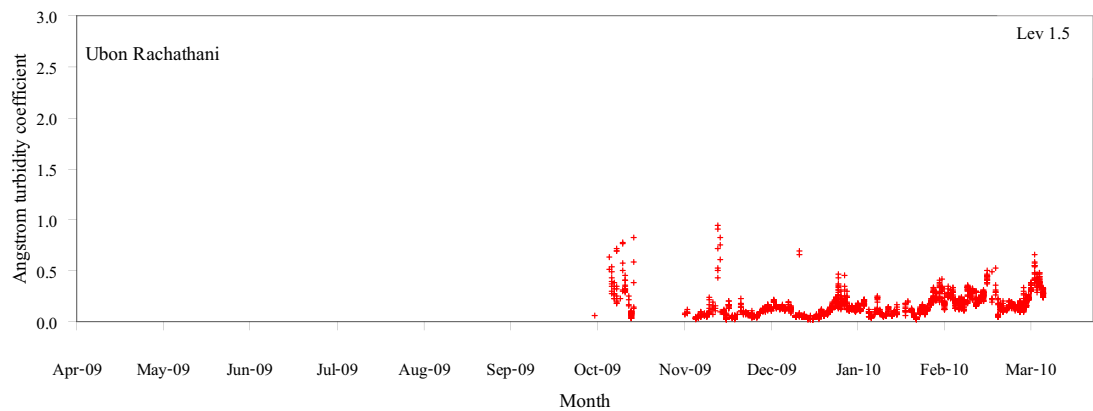
รูปที่ 3.71 การเปลี่ยนแปลงค่า Angstrom wavelength exponent ในรอบปี
ของสถานีนครปฐม ปี 2008



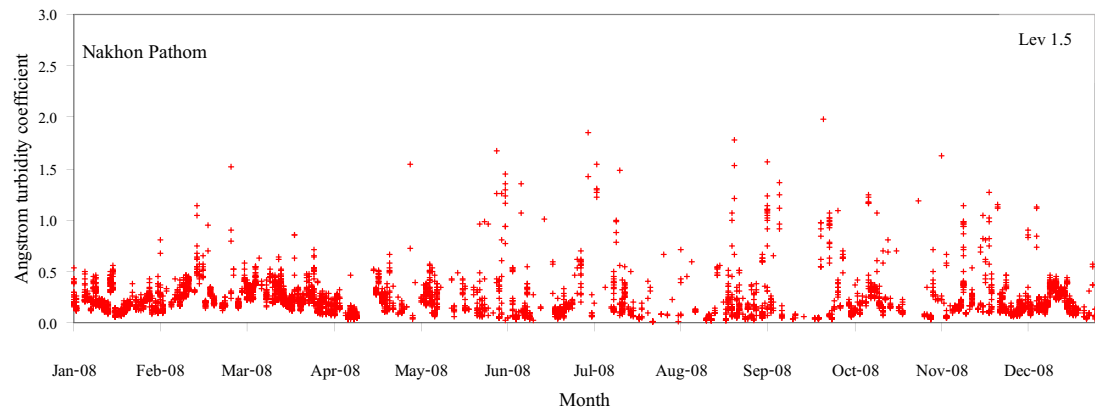
รูปที่ 3.72 การเปลี่ยนแปลงค่า Angstrom wavelength exponent ในรอบปี
ของสถานีสงขลา ปี 2008



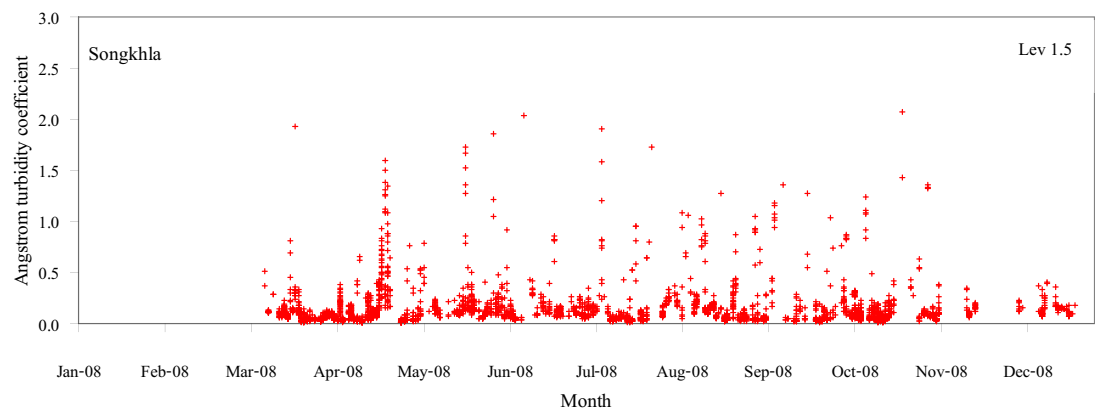
รูปที่ 3.73 การเปลี่ยนแปลงค่า Angstrom turbidity coefficient ในรอบปี ของสถานีเชียงใหม่ ปี 2008



รูปที่ 3.74 การเปลี่ยนแปลงค่า Angstrom turbidity coefficient ในรอบปี ของสถานีอุบลราชธานี ตุลาคม 2009 – มีนาคม 2010



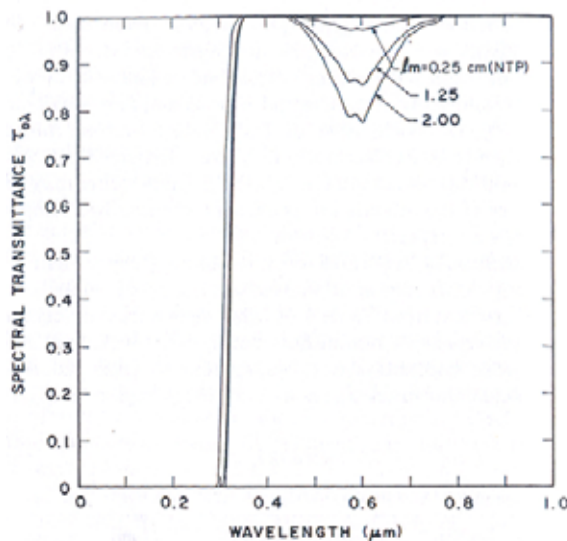
รูปที่ 3.75 การเปลี่ยนแปลงค่า Angstrom turbidity coefficient ในรอบปี
ของสถานีนครปฐม ปี 2008



รูปที่ 3.76 การเปลี่ยนแปลงค่า Angstrom turbidity coefficient ในรอบปี
ของสถานีสงขลา ปี 2008

3.2.1.4 ข้อมูลโอโซน

โอโซนเป็นก๊าซที่มีสมบัติในการดูดกลืนรังสีอุลดตราไวโอลেตที่ความยาวคลื่นสั้นกว่า 290 nm ไว้ทั้งหมด นอกจากนี้ยังสามารถดูดกลืนรังสีดวงอาทิตย์ที่ความยาวคลื่น 610 – 4,800 9,600 และช่วง 13,000-15,000 nm ดังนั้นปัจจุบัน โอโซนในบรรยากาศจึงมีผลต่อค่าความเข้มรังสีดวงอาทิตย์ที่ตกกระทบพื้นโลกในสภาพท้องฟ้าปราศจากเมฆ



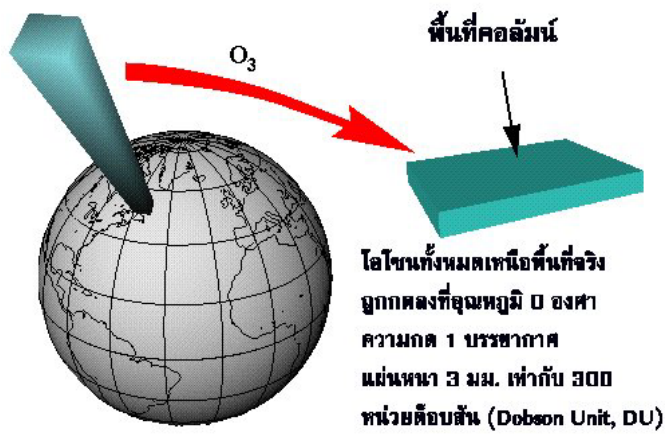
รูปที่ 3.77 การดูดกลืนรังสีดวงอาทิตย์ที่ความยาวคลื่นต่างๆ ของโอโซนในบรรยากาศ

โดยทั่วไปปัจจุบัน โอโซนจะรายงานเป็นความหนาของชั้นโอโซนรวมตามแนวคิด ในบรรยากาศ โดยสมมุติว่านำโอโซนตลอดทั้งคอลัมน์ของบรรยากาศรวมกันที่พื้นผิวโลกที่ STP (อุณหภูมิและความดันมาตรฐาน) แล้ววัดความสูงของคอลัมน์โอโซนเป็นเซนติเมตร (cm) หรือวัดเป็นมิลลิ-บรรยากาศ-เซนติเมตร (m-atm-cm)

$$1 \text{ m-atm-cm} = 1 \text{ DU}$$

$$= 10^{-5} \text{ m}$$

$$= 10^{-3} \text{ cm } \text{ของ } \text{โอโซนบริสุทธิ์ที่ STP}$$

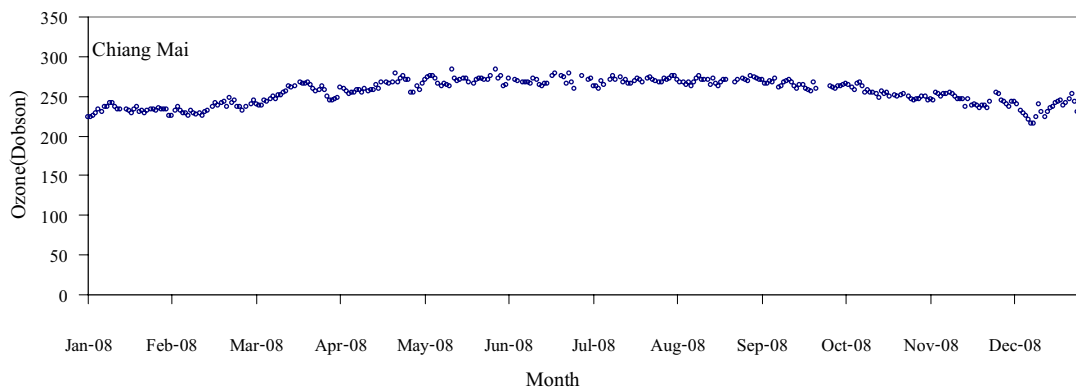


รูปที่ 3.78 การวัดปริมาณโอโซนในบรรยากาศ

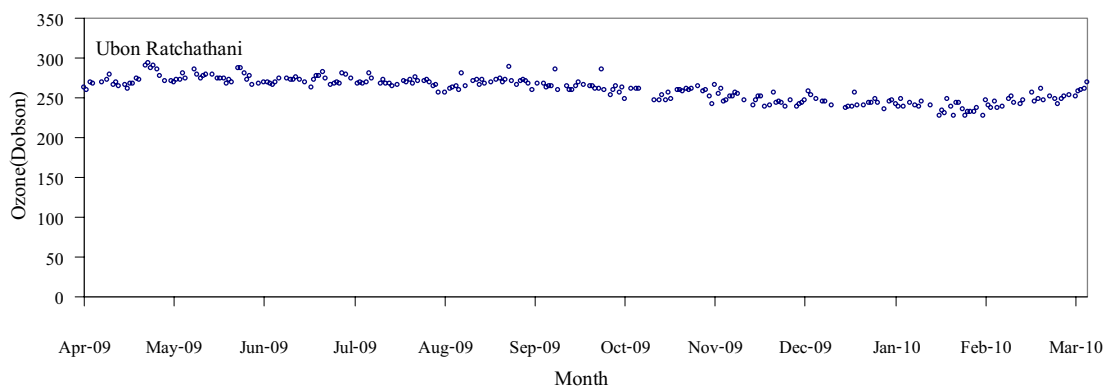
ในการพัฒนาและทดสอบแบบจำลองผู้วิจัยใช้ข้อมูลปริมาณโอโซนที่วัดจากเครื่องวัด Ozone Monitoring Instrument (OMI) ที่ติดตั้งบนดาวเทียม AURA โดยจะวัดค่าปริมาณโอโซนวันละ 1 ครั้งในหน่วย Dobson [DU] และแต่ละครั้งมีความละเอียดเชิงพื้นที่ (spatial resolution) 1° ตามแนวละติจูดและ 1° ตามแนวลองจิจูด หรือมีขนาดพิกเซล (pixel) $1^\circ \times 1^\circ$ โดยมีช่วงเวลาการวัดตั้งแต่ 1 ตุลาคม 2004 – ปัจจุบัน ผู้วิจัยได้นำข้อมูลปริมาณโอโซนดังกล่าวมาพล็อตเพื่อสังเกตการเปลี่ยนแปลงในรอบปีได้ผลดังกราฟ รูปที่ 3.80-3.83



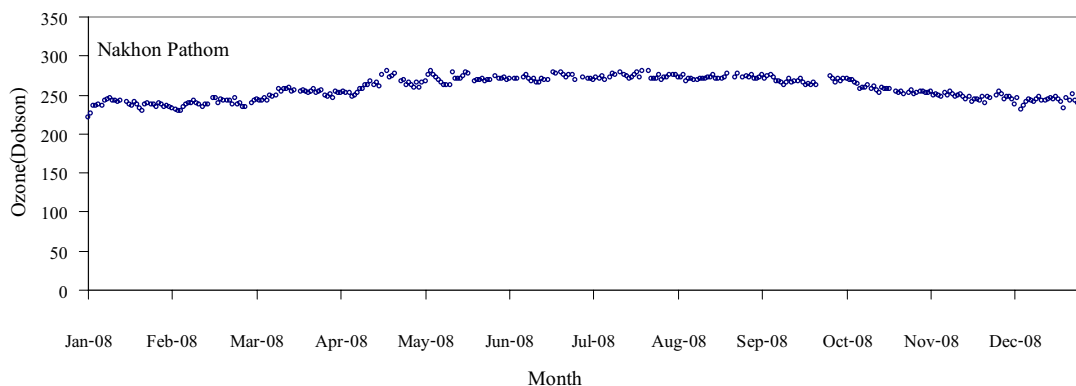
รูปที่ 3.79 ดาวเทียม AURA ขององค์การ NASA



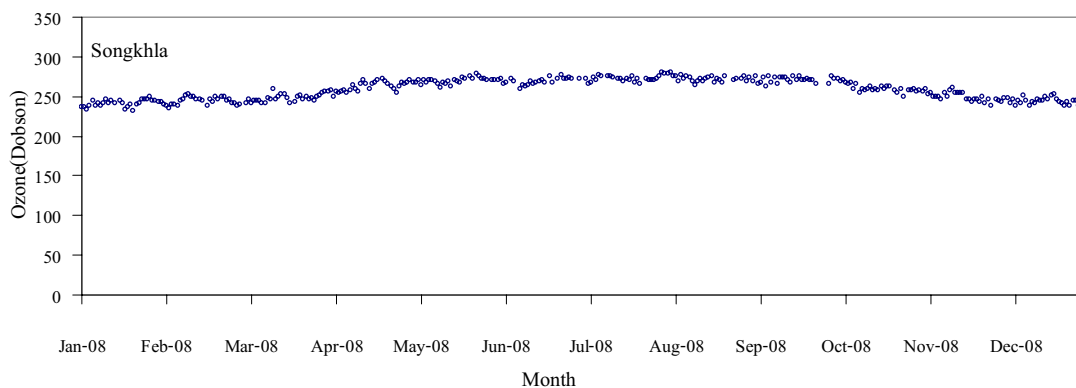
รูปที่ 3.80 การเปลี่ยนแปลงของปริมาณ โอโซนในรอบปี ของสถานีเชียงใหม่ ปี 2008



รูปที่ 3.81 การเปลี่ยนแปลงของปริมาณ โอโซนในรอบปี ของสถานี
อุบลราชธานี เมษายน 2009 – มีนาคม 2010



รูปที่ 3.82 การเปลี่ยนแปลงของปริมาณโอโซนในรอบปี ของสถานีนครปฐม ปี 2008



รูปที่ 3.83 การเปลี่ยนแปลงของค่าปริมาณโอโซนในรอบปี ของสถานีสงขลา ปี 2008

3.2.2 การสร้างแบบจำลอง

เมื่อพิจารณาค่าความเข้มรังสีดวงอาทิตย์ในสภาพท้องฟ้าปราศจากเมฆที่ตกลงสู่พื้นโลก ในขณะที่รังสีดวงอาทิตย์เดินทางผ่านชั้นบรรยากาศ รังสีส่วนหนึ่งจะถูกดูดกลืนและกระเจิงออกไปนอกบรรยากาศเนื่องจากผลขององค์ประกอบต่าง ๆ ภายในบรรยากาศโดยไม่มีผลของเมฆเข้ามาเกี่ยวข้อง ทำให้ผู้วิจัยใช้เป็นแนวคิดพื้นฐานของแบบจำลองที่พัฒนาขึ้นในงานวิจัยนี้ ซึ่งพิจารณาจากความจริงที่ว่าโดยทั่วไปแล้วผู้คนจะมองและไอน้ำในบรรยากาศจะมีผลต่อการดูดกลืนรังสีดวงอาทิตย์ในช่วงความยาวคลื่นแสงที่ตามองเห็น และความยาวคลื่นอินฟราเรด สำหรับปริมาณโอโซนในบรรยากาศจะมีผลต่อการดูดกลืนรังสีดวงอาทิตย์ในช่วงรังสีอัลตราไวโอเลต ในการสร้างแบบจำลองจากแนวคิดดังกล่าวผู้วิจัยจึงเสนอแบบจำลองที่คำนึงถึงผลของพารามิเตอร์ที่เป็นองค์ประกอบในชั้นบรรยากาศในรูปสมการอย่างง่ายดังสมการ

$$I_G = A_1 e^{-B_1 m_a} \quad (3.7)$$

$$A_1 = a_1 E_o I_{sc} (\cos \theta_z)^{\beta_1} \quad (3.8)$$

$$B_1 = c_1 + d_1 \beta + e_1 \alpha + f_1 w + g_1 \ell \quad (3.9)$$

โดยที่

$$E_o = 1.000110 + 0.034221 \cos \Gamma + 0.001280 \sin \Gamma + 0.000719 \cos 2\Gamma + 0.000077 \sin 2\Gamma \quad (3.10)$$

$$\Gamma = 2\pi(d_n - 1) / 365 \quad (3.11)$$

$$m_a = m_r (P / P_o) \quad (3.12)$$

$$P / P_o = \exp(-0.0001184h) \quad (3.13)$$

$$m_r = [\cos \theta_z + 0.15(93.885 - \theta_z)^{-1.253}]^{-1} \quad (3.14)$$

เมื่อ

I_G คือ ค่าความเข้มรังสีรวมบนพื้นราบ(global horizontal irradiance) [W/m²]

I_{sc} คือ ค่าคงที่สุริยะ [1366.1 W/m²]

m_a คือ มวลอากาศ (relative optical air mass) [-]

β คือ ค่าสัมประสิทธิ์ความชุ่มน้ำบรรยากาศของอังสตรอม (Angstrom turbidity coefficient) [-]

α คือ เลขยกกำลังอังสตรอม (Angstrom exponent) [-]

w คือ ปริมาณไอน้ำกั้นตัว (precipitable water)[cm]

ℓ คือ ปริมาณโอโซน (total column ozone) [cm]

E_o คือ แฟกเตอร์สำหรับแก้ผลจากความรีของวงโคจร [-]

h คือ ความสูงจากระดับน้ำทะเล [m]

P คือ ความดันบรรยายกาศ [mbar]

P_0 คือ ความดันบรรยายกาศมาตรฐาน [1013.25 mbar]

d_n คือ ลำดับวันในรอบปี ($d_n = 1$ สำหรับวันที่ 1 มกราคม) [-]

θ_z คือ มนุษย์ชนิช [องศา]

$a_1, b_1, c_1, d_1, e_1, f_1$ และ g_1 คือ สัมประสิทธิ์สำหรับแบบจำลอง

ในการสร้างแบบจำลอง ผู้วิจัยทำการรวบรวมข้อมูลความเข้มรังสีรวมในสภาพท้องฟ้า ปราศจากเมฆของสถานีเรียงใหม่ นครปฐมและสงขลา และคำนวณค่ามนุษย์ชนิช (θ_z) แฟกเตอร์สำหรับแก้ผลจากความรีของวงโคจร (E_0) และมวลอากาศ (m_a) แล้วทำการหาค่า A_1 โดยการทดลองแทนค่าสัมประสิทธิ์ a_1 และ b_1 ลงในสมการ (3.8) จนได้ค่าที่เหมาะสมที่สุด จากนั้นทำการคำนวณค่า B_1 จากการจัดรูปสมการ (3.7) ซึ่งค่า B_1 ขึ้นกับค่าสัมประสิทธิ์ความชุ่มน้ำบรรยายกาศของอังสตรอม (β) เลขยกกำลังอังสตรอม (α) ปริมาณไอน้ำในบรรยายกาศ (w) และปริมาณไอโอดิน (ℓ) ตามสมการ (3.9) หลังจากนั้นใช้เทคนิค multiple regression เพื่อหาค่าสัมประสิทธิ์ c_1, d_1, e_1, f_1 และ g_1 ซึ่งค่าสัมประสิทธิ์ที่ได้ดังกล่าวแสดงดังตารางที่ 3.3

ตารางที่ 3.3 ค่าสัมประสิทธิ์ของแบบจำลองรังสีรวมที่พัฒนาขึ้น

สัมประสิทธิ์	ค่าสัมประสิทธิ์	t- statistic
a_1	0.80	-
b_1	1.15	-
c_1	-0.032270	-1.80
d_1	0.403457	37.77
e_1	0.018740	8.34
f_1	0.003025	3.44
g_1	0.093532	1.20
$R^2 = 0.64$	-	-
$N = 899$	-	-

จากตารางที่ 3.3 สัมประสิทธิ์ของพารามิเตอร์ต่าง ๆ ที่ได้ส่วนใหญ่มีค่า $|t| > 2.0$ สรุปได้ว่าค่าพารามิเตอร์ต่าง ๆ ในแบบจำลองมีความสัมพันธ์กับค่าความเข้มรังสีรวมที่นัยสำคัญ 0.05

3.2.3 การทดสอบสมรรถนะของแบบจำลอง

ในการทดสอบสมรรถนะของแบบจำลองค่าความเข้มรังสีรวมในสภาพห้องฟ้าปราศจากเมฆที่สร้างขึ้น ผู้วิจัยจะทำการเปรียบเทียบระหว่างค่าความเข้มรังสีรวมที่คำนวณได้จากแบบจำลองจากการแทนค่าพารามิเตอร์ต่างๆ ลงในสมการที่ 3.7-3.9 ซึ่งได้แก่ มนุษยนิช (θ_z) แฟกเตอร์สำหรับแก๊สจากความรีของวงโคจร (E_o) มวลอากาศ (m_a) ค่าสัมประสิทธิ์ความชุนมวลบรรยากาศของอังศตรอม (β) เลขยกกำลังอังศตรอม (α) ปริมาณไอน้ำในบรรยากาศ (w) และปริมาณโอดิโซน (ℓ) ที่ได้จากการวัดของ 4 สถานี (ตารางที่ 3.2) ที่เป็นข้อมูลอิสระ (independent data) และมิได้นำมาใช้ในการสร้างแบบจำลอง แล้วนำมาเปรียบเทียบกับค่าความเข้มรังสีรวมที่ได้จากการวัดจริง ซึ่งการเปรียบเทียบจะอาศัยพารามิเตอร์ทางสถิติ 2 ตัว คือ root mean square difference (RMSD) และ mean bias difference (MBD) ซึ่งสามารถหาได้จากสมการที่ 3.15 และ 3.16 ตามลำดับ โดยผลการเปรียบเทียบดังกล่าวแสดงดังรูปที่ 3.84-3.88

$$\text{RMSD} = \sqrt{\frac{\sum_{i=1}^N (I_{G,\text{model}} - I_{G,\text{meas}})^2}{\sum_{i=1}^N I_{G,\text{meas}}}} \times 100 \% \quad (3.15)$$

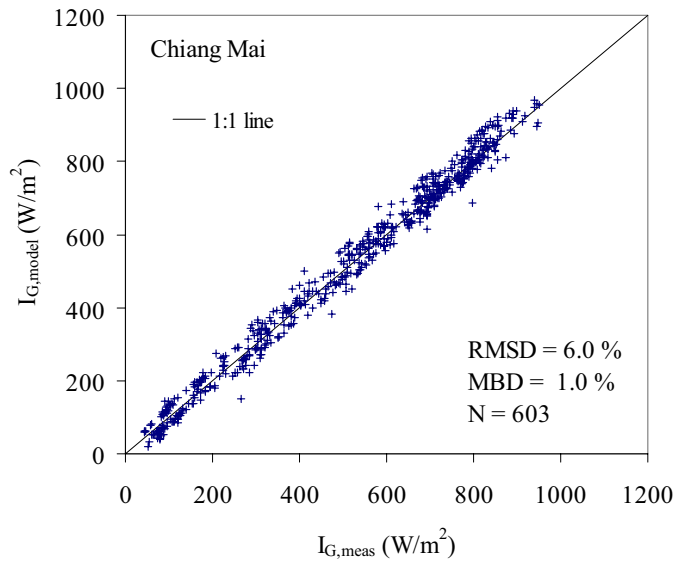
$$\text{MBD} = \frac{\sum_{i=1}^N (I_{G,\text{model}} - I_{G,\text{meas}})}{\sum_{i=1}^N I_{G,\text{meas}}} \times 100 \% \quad (3.16)$$

เมื่อ

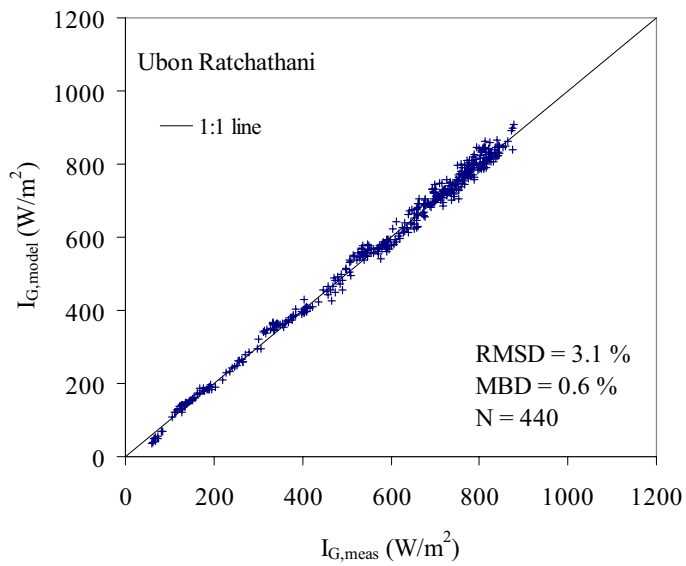
$I_{G,\text{model}}$ คือ ค่าความเข้มรังสีรวมที่คำนวณจากแบบจำลอง [W/m^2]

$I_{G,\text{meas}}$ คือ ค่าความเข้มรังสีรวมที่ได้จากการวัด [W/m^2]

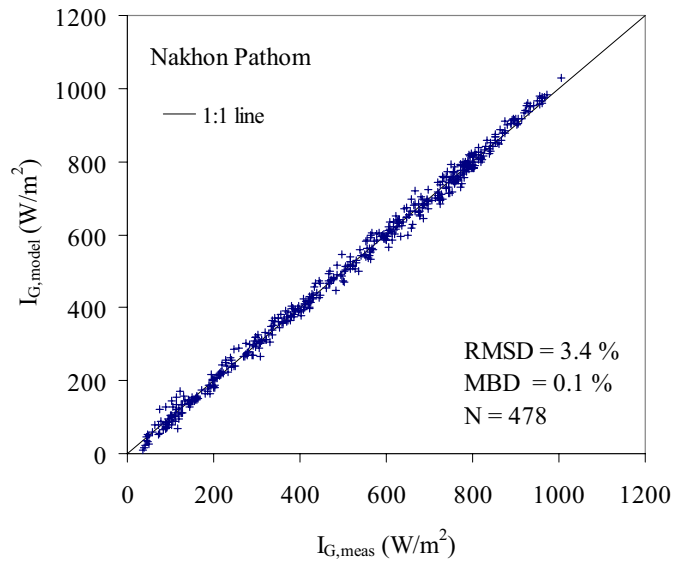
N คือ จำนวนข้อมูล



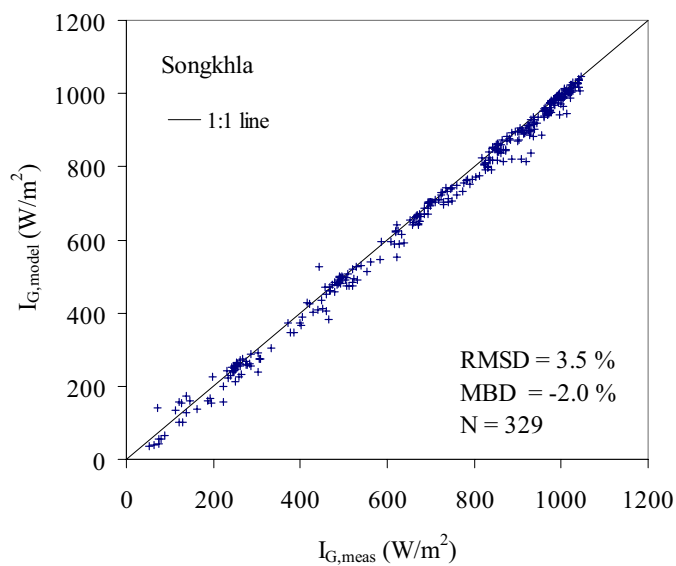
รูปที่ 3.84 การเปรียบเทียบค่าความเข้มรังสีรวมที่ได้จากการวัดและการคำนวณของสถานีเชียงใหม่



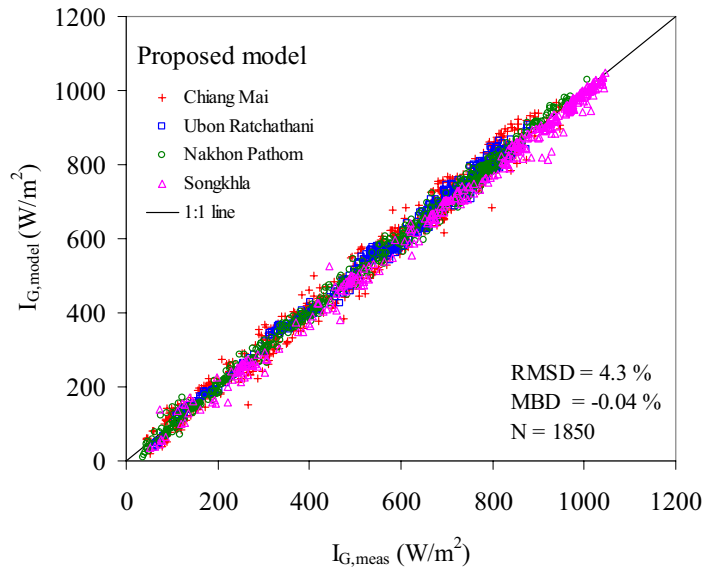
รูปที่ 3.85 การเปรียบเทียบค่าความเข้มรังสีรวมที่ได้จากการวัดและการคำนวณของสถานีอุบลราชธานี



รูปที่ 3.86 การเปรียบเทียบค่าความเข้มรังสีรวมที่ได้จากการวัดและการคำนวณของสถานีนครปฐม



รูปที่ 3.87 การเปรียบเทียบค่าความเข้มรังสีรวมที่ได้จากการวัดและการคำนวณของสถานีสงขลา



รูปที่ 3.88 การเปรียบเทียบค่าความเข้มรังสีรวมที่ได้จากการวัดและการคำนวณของทุกสถานี

ตารางที่ 3.4 ค่า root mean square difference (RMSD) และ mean bias difference (MBD) ของสถานีเชียงใหม่ อุบลราชธานี นครปฐม และสงขลา

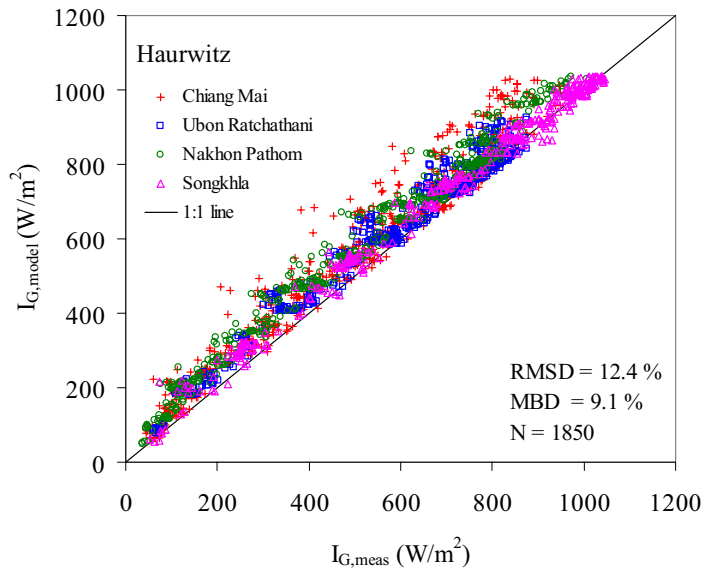
สถานี	RMSD (%)	MBD (%)
เชียงใหม่	6.0	1.0
อุบลราชธานี	3.1	0.6
นครปฐม	3.4	0.1
สงขลา	3.5	-2.0
รวมทุกสถานี	4.3	-0.04

จากรูปที่ 3.84 – 3.88 และตารางที่ 3.4 จะเห็นว่า แบบจำลองความเข้มรังสีรวมในสภาพท้องฟ้าปราศจากเมฆที่พัฒนาขึ้นคำนวณค่าความเข้มรังสีรวมบนพื้นราบรายชั่วโมงของสถานีเชียงใหม่ อุบลราชธานี นครปฐม และสงขลาใกล้เคียงกับค่าที่ได้จากการวัด โดยมีค่า RMSD อยู่ในช่วง 3.1 – 6.0 % และ MBD ระหว่าง -2.0 - 1.0 % โดยค่าความแตกต่างของข้อมูลรวมทุกสถานีคือ RMSD = 4.3 % และ MBD = -0.04 %

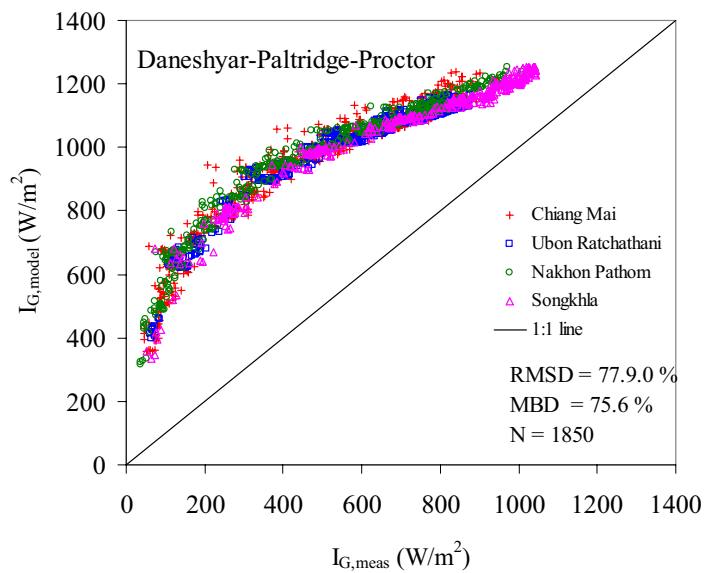
นอกจากนี้ผู้วิจัยทำการเปรียบเทียบสมรรถนะของแบบจำลองที่สร้างขึ้นกับแบบจำลองของนักวิจัยอื่นๆ (ตารางที่ 3.5) กับค่าที่ได้จากการวัด โดยจะเปรียบเทียบความแตกต่างในรูปของ RMSD และ MBD ผลที่ได้แสดงดังรูปที่ 3.89-3.95 และตารางที่ 3.6

ตารางที่ 3.5 แบบจำลองความเข้มรังสีรวมในสภาพห้องฟ้าปราศจากเมฆ

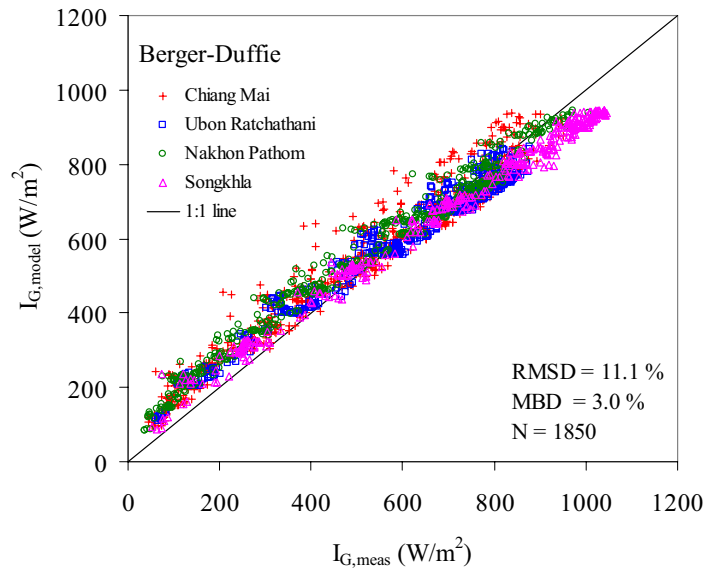
แบบจำลอง	สมการ
1. Haurwitz	$I_G = 1098 \cos \theta_z e^{-0.057/\cos \theta_z}$
2. Daneshyar-Paltridge-Proctor	$I_G = 950.0 \left\{ 1 - e^{[-0.075(90-\theta_z)]} \right\} + 2.534 + 3.475(90 - \theta_z)$
3. Berger-Duffie	$I_G = 1350(0.70 \cos \theta_z)$
4. Adnote- Bourges-Campana-Gicquel	$I_G = 951.39 \cos^{1.15} \theta_z$
5. Kasten-Czeplak	$I_G = 910 \cos \theta_z - 30$
6. Robledo-Soler	$I_G = 1159.24 \cos \theta_z^{1.179} e^{-0.0019(90-\theta_z)}$
7. Berlynd	$I_G = I_{sc} \cos \theta_z / (1 + f \sec \theta_z)$



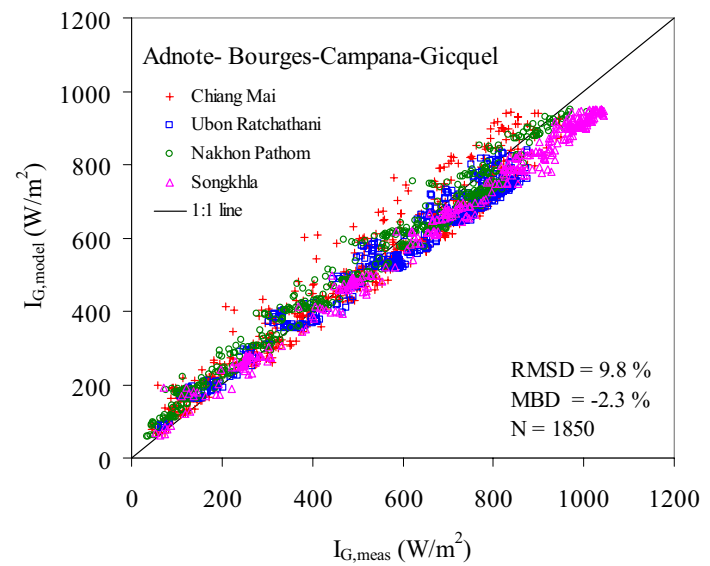
รูปที่ 3.89 การเปรียบเทียบค่าความเข้มรังสีรวมที่ได้จากการวัดและจากแบบจำลอง Haurwitz



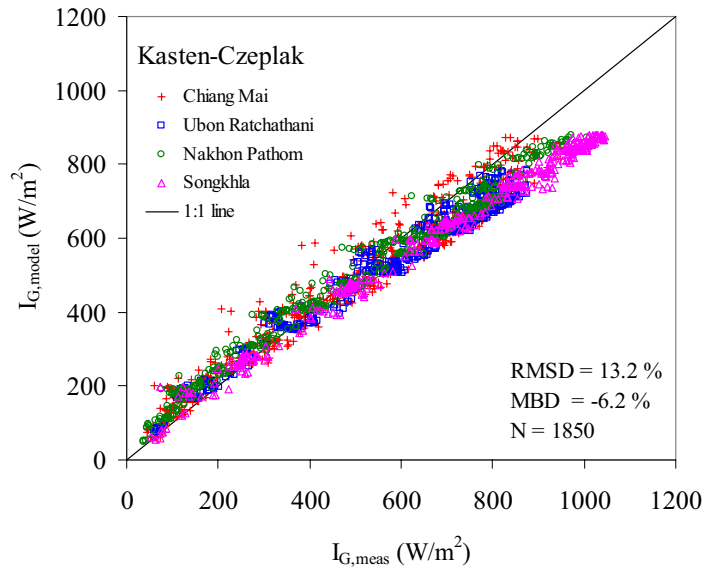
รูปที่ 3.90 การเปรียบเทียบค่าความเข้มรังสีรวมที่ได้จากการวัดและจากแบบจำลอง Daneshyar-Paltridge-Proctor



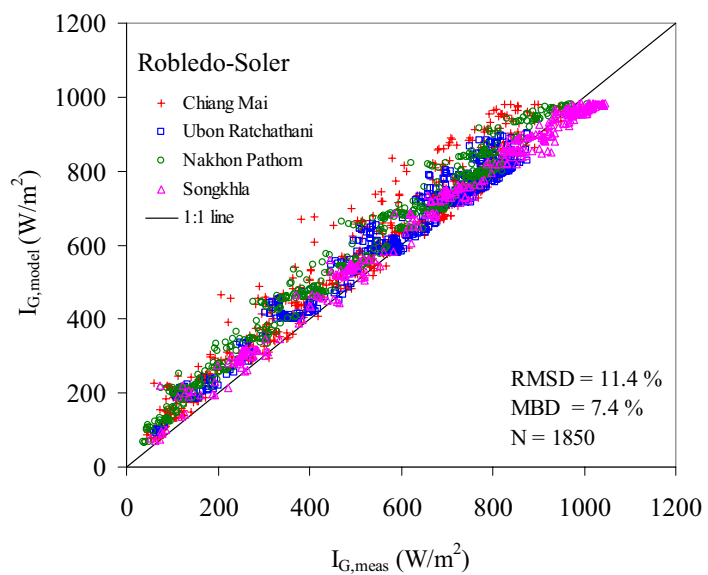
รูปที่ 3.91 การเปรียบเทียบค่าความเข้มรังสีรวมที่ได้จากการวัดและจากแบบจำลอง Berger-Duffie



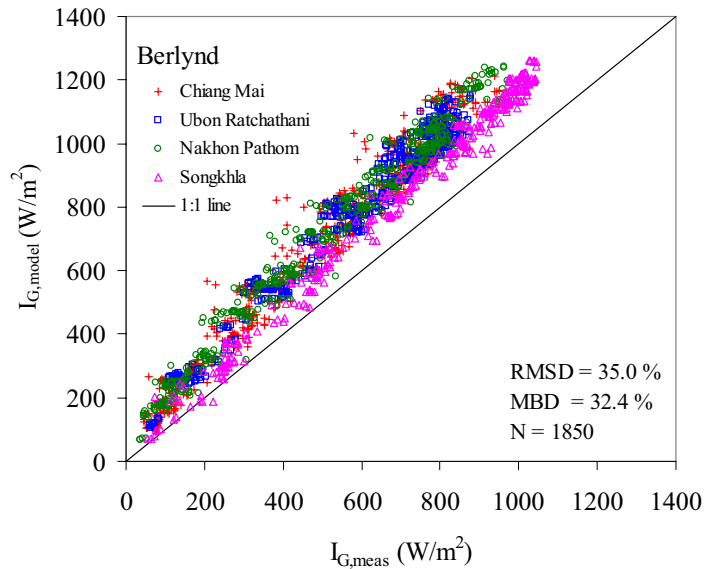
รูปที่ 3.92 การเปรียบเทียบค่าความเข้มรังสีรวมที่ได้จากการวัดและจากแบบจำลอง Adnote- Bourges-Campana-Gicquel



รูปที่ 3.93 การเปรียบเทียบค่าความเข้มรังสีรวมที่ได้จากการวัดและจากแบบจำลอง Kasten-Czeplak



รูปที่ 3.94 การเปรียบเทียบค่าความเข้มรังสีรวมที่ได้จากการวัดและจากแบบจำลอง Robledo-Soler



รูปที่ 3.95 แสดงการเปรียบเทียบค่าความเข้มรังสีรวมที่ได้จากการวัดและจากแบบจำลอง Berlynd

ตารางที่ 3.6 ค่า RMSD (%) และ MBD (%) ของแต่ละแบบจำลองสำหรับ 4 สถานี

Model	Chiang Mai		Ubon Ratchathani		Nakhon Pathom		Songkhla		total	
	RMSD (%)	MBD (%)	RMSD (%)	MBD (%)	RMSD (%)	MBD (%)	RMSD (%)	MBD (%)	RMSD (%)	MBD (%)
Proposed Model	6.0	1.0	3.1	0.6	3.4	0.1	3.5	-2.0	4.3	-0.04
Haurwitz	16.2	11.8	9.6	6.8	15.3	13.4	5.5	3.5	12.4	9.1
Daneshyar-Paltridge-Proctor	88.1	86.0	75.0	73.4	90.2	88.0	53.5	50.6	77.9	75.6
Berger - Duffie	13.3	6.0	9.2	0.8	12.5	7.5	8.7	-3.6	11.1	3.0
Adnote-Bourges-Campana-Gicquel	11.4	-0.1	9.5	-4.7	8.6	1.4	8.8	-6.6	9.8	-2.3
Kasten-Czeplak	13.1	-3.7	12.9	-8.2	11.4	-2.4	14.5	-11.4	13.2	-6.2
Robledo - Soler	14.8	10.3	8.8	5.5	13.9	11.8	5.5	1.1	11.4	7.4
Berlynd	39.6	36.5	35.8	34.0	40.9	38.4	20.3	18.7	35.0	32.4

จากกราฟในรูปที่ 3.88-3.95 และตารางที่ 3.6 พบว่าแบบจำลองที่ให้ผลการคำนวณค่าความเข้มรังสีรวมใกล้เคียงกับค่าจากการวัด “ได้แก่” แบบจำลอง Haurwitz แบบจำลอง Berger– Duffie แบบจำลอง Adnote-Bourges-Campana-Gicquel แบบจำลอง Kasten-Czeplak และแบบจำลอง Robledo-Soler โดยมีค่า RMSD อยู่ในช่วง 4.3 % ถึง 13.2 % และ MBD อยู่ในช่วง -6.2 % ถึง 9.1 % สำหรับแบบจำลอง Berlynd และแบบจำลอง Daneshyar-Paltridge-Proctor ให้ผลการทดสอบมีความคลาดเคลื่อนค่อนข้างสูง

เมื่อเปรียบเทียบผลการทดสอบของแบบจำลองดังกล่าวกับแบบจำลองที่สร้างขึ้น พบว่า แบบจำลองที่สร้างขึ้นในงานวิจัยนี้มีความแม่นยำสูงที่สุด โดยมีค่า RMSD เท่ากับ 4.3 % และ MBD เท่ากับ -0.04 % ทั้งนี้เนื่องจากแบบจำลองที่พัฒนาขึ้นในงานวิจัยนี้สร้างจากข้อมูลในประเทศไทยและเป็นแบบจำลองกึ่งเอมพิริกัล (semi-empirical model) ที่สร้างจากความสัมพันธ์ของพารามิเตอร์จากองค์ประกอบต่างๆ ในบรรยายกาศ “ได้แก่” ไอน้ำ ฝุ่นละอองและไอโอดิน ซึ่งมีสมรรถนะสูงในการคำนวณค่ารังสีรวมสำหรับประเทศไทย ซึ่งแตกต่างจากแบบจำลองอย่างง่าย (empirical model) ทั้ง 7 แบบจำลองที่นำมาเปรียบเทียบซึ่งกันมุนเซนิชเพียงอย่างเดียวจึงมีข้อจำกัดในการใช้ทำนายค่ารังสีรวมสำหรับประเทศไทย

3.3 การพัฒนาแบบจำลองความเข้มรังสีตรงในสภาพท้องฟ้าปราศจากเมฆสำหรับประเทศไทย

จากการวิจัยเกี่ยวกับการพัฒนาแบบจำลองรังสีตรงของนักวิจัยหลายท่านพบว่าแบบจำลองที่พัฒนาขึ้นส่วนใหญ่เป็นแบบจำลองที่มีความซับซ้อนและไม่สะดวกต่อการใช้งาน อีกทั้งสำหรับประเทศไทยเองยังไม่มีแบบจำลองที่ใช้คำนวณค่าความเข้มรังสีตรงในสภาพท้องฟ้าปราศจากเมฆ ดังนั้นผู้วิจัยจึงเสนอที่จะพัฒนาแบบจำลองความเข้มรังสีตรงขึ้นด้วยข้อมูลจากการวัดในประเทศไทย

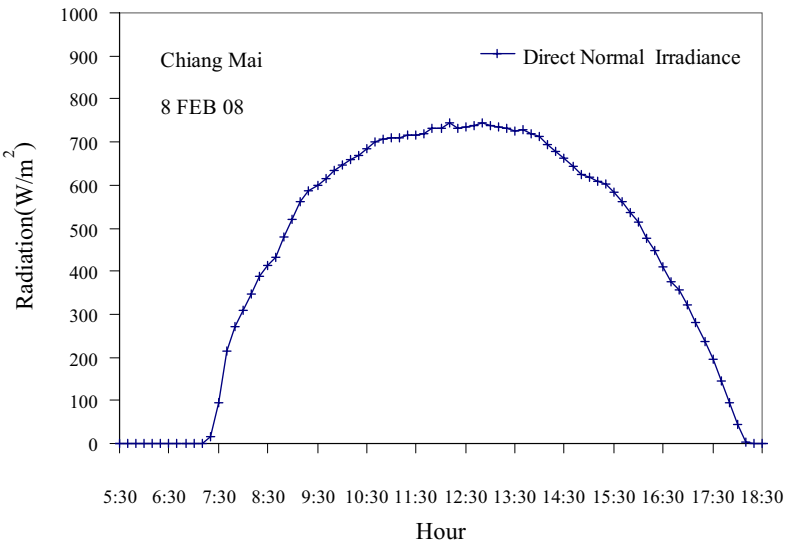
3.3.1 ข้อมูล

ในการพัฒนาและทดสอบสมรรถนะของแบบจำลองรังสีตรงในสภาพท้องฟ้าปราศจากเมฆ จำเป็นต้องใช้ข้อมูลต่างๆ ได้แก่ ค่าความเข้มรังสีตรงบนระนาบตั้งฉากกับลำแสงอาทิตย์ มุนเซนิช แฟกเตอร์สำหรับแก้ผลจากความเรื่องของวงโคจร มวลอากาศ ค่าสัมประสิทธิ์ความชุ่มน้ำบรรยายกาศ ของอังสตรอม เลขยกกำลังอังสตรอม ปริมาณไอน้ำในบรรยายกาศ และปริมาณโอโซน โดยที่ปริมาณไอน้ำในบรรยายกาศและเลขยกกำลังอังสตรอม ได้จากการวัดด้วยเครื่อง sunphotometer สำหรับค่าสัมประสิทธิ์ความชุ่มน้ำบรรยายกาศของอังสตรอม ได้จากการคำนวณจากความสัมพันธ์ ของค่าความลึกเชิงแสงเนื่องจากฝุ่นละออง และเลขยกกำลังอังสตรอม (สมการ 3.6) สำหรับข้อมูลปริมาณโอโซน ได้จากการวัด Ozone Monitoring Instrument (OMI) ที่ติดตั้งบนดาวเทียม AURA ซึ่งช่วงข้อมูลที่ใช้ในการพัฒนาและทดสอบแบบจำลองมีรายละเอียดแสดงดังตารางที่ 3.7

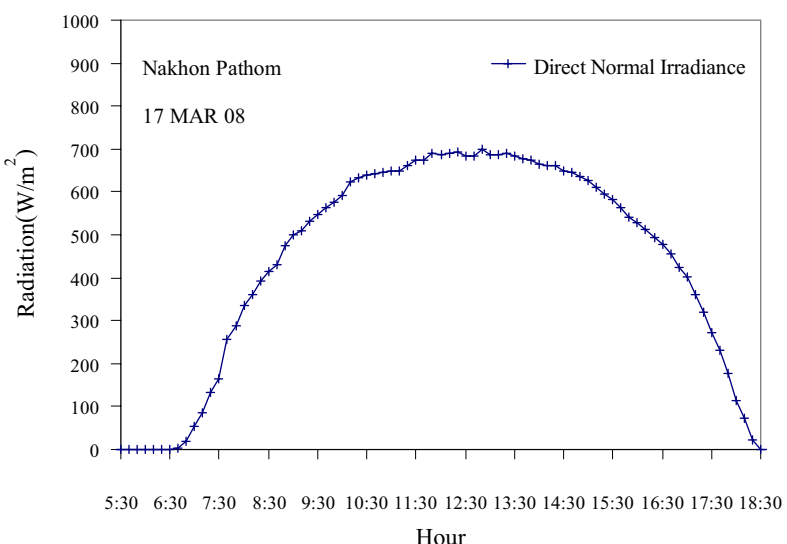
ตารางที่ 3.7 ช่วงข้อมูลที่ใช้ในการพัฒนาและทดสอบแบบจำลอง

สถานี	ช่วงข้อมูลพัฒนาแบบจำลอง	ช่วงข้อมูลทดสอบแบบจำลอง
เชียงใหม่	มกราคม – ธันวาคม 2008	มกราคม – กันยายน 2009
นครปฐม	มกราคม – ธันวาคม 2008	มกราคม – กันยายน 2009
สงขลา	มกราคม – ธันวาคม 2008	มกราคม – กันยายน 2009

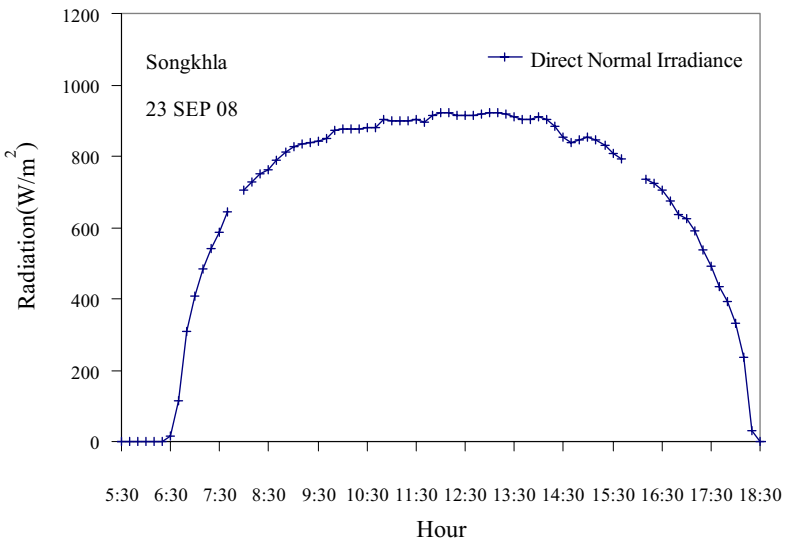
สำหรับข้อมูลความเข้มรังสีตรงบนระนาบตั้งฉากกับลำแสงอาทิตย์ที่ใช้ในการสร้างและทดสอบแบบจำลองอยู่ในรูปของข้อมูลเฉลี่ยรายชั่วโมงมีหน่วยเป็น W/m^2 ที่ได้จากการแปลงข้อมูลดิบรายสิบนาทีจากเครื่องวัดความเข้มรังสีตรง (pyrheliometer) ที่สถานีเชียงใหม่ สถานีนครปฐม และสถานีสงขลา ผู้วิจัยได้คัดเลือกช่วงเวลาที่ท้องฟ้าปราศจากเมฆจากการใช้ข้อมูลจากเครื่อง



รูปที่ 3.96 ตัวอย่างกราฟความเข้มรังสีตรงในวันที่ห้องไฟปราศจากเมฆ ของสถานีเชียงใหม่ วันที่ 8 กุมภาพันธ์ 2008



รูปที่ 3.97 ตัวอย่างกราฟความเข้มรังสีตรงในวันที่ห้องไฟปราศจากเมฆ ของสถานีนครปฐม วันที่ 17 มีนาคม 2008



รูปที่ 3.98 การเปลี่ยนแปลงของค่าความเข้มรังสีตรงตามเวลาในรอบวัน ของสถานีสงขลา วันที่ 23 กันยายน 2008

3.3.2 การสร้างแบบจำลอง

ผู้วิจัยเสนอแบบจำลองความเข้มรังสีตรงที่คำนึงถึงผลของการมิเตอร์ที่เป็นองค์ประกอบในชั้นบรรยากาศในรูปสมการอย่างง่ายดังสมการ

$$I_{BN} = A_2 e^{-B_2 m_a} \quad (3.17)$$

$$A_2 = a_2 E_o I_{sc} (\cos \theta_z)^{b_2} \quad (3.18)$$

$$B_2 = c_2 + d_2 \beta + e_2 \alpha + f_2 w + g_2 \ell \quad (3.19)$$

เมื่อ

I_{BN} คือ ค่าความเข้มรังสีตรงบนระนาบตั้งฉากกับลำแสงอาทิตย์ (direct normal irradiance)

[W/m²]

I_{sc} คือ ค่าคงที่สุริยะ [1366.1 W/m²]

m_a คือ มวลอากาศ (relative optical air mass) [-]

β คือ ค่าสัมประสิทธิ์ความชุ่มน้ำบรรยายกาศของอั้งสตรอม

(Angstrom turbidity coefficient) [-]

α คือ เลขยกกำลังอั้งสตรอม (Angstrom exponent) [-]

w คือ ปริมาณไอน้ำในบรรยายกาศ (precipitable water) [cm]

ℓ คือ ปริมาณโอโซน (total ozone column) [cm]

E_o คือ แฟกเตอร์สำหรับแก้ผลจากความรีของวงโคจร [-]

θ_z คือ มุมเซนิช [องศา]

$a_2, b_2, c_2, d_2, e_2, f_2$ และ g_2 คือ สัมประสิทธิ์สำหรับแบบจำลอง

ในการสร้างแบบจำลอง ผู้วิจัยทำการรวมข้อมูลความเข้มรังสีตรงในสภาพท้องฟ้า ปราศจากเมฆของสถานีเชียงใหม่ นครปฐมและสงขลา และคำนวณค่ามุมเซนิช (θ_z) แฟกเตอร์ สำหรับแก้ผลจากความรีของวงโคจร (E_o) และมวลอากาศ (m_a) แล้วทำการหาค่า A_2 โดยการ ทดลองแทนค่าสัมประสิทธิ์ a_2 และ b_2 ลงในสมการ (3.18) จะได้ค่าที่เหมาะสมที่สุด จากนั้นทำการ คำนวณค่า B_2 จากการจัดรูปสมการ (3.17) ซึ่งค่า B_2 ขึ้นอยู่กับค่าสัมประสิทธิ์ความชุ่มน้ำ บรรยากาศของอังสตรอม (β) เลขยกกำลังอังสตรอม (α) ปริมาณไอน้ำในบรรยากาศ (w) และ ปริมาณโอโซน (ℓ) ตามสมการ (3.19) หลังจากนั้นใช้เทคนิค multiple regression เพื่อหาค่า สัมประสิทธิ์ c_2, d_2, e_2, f_2 และ g_2 ซึ่งค่าสัมประสิทธิ์ที่ได้ดังกล่าวแสดงดังตารางที่ 3.8

ตารางที่ 3.8 ค่าสัมประสิทธิ์ของแบบจำลองรังสีตรงที่พัฒนาขึ้น

สัมประสิทธิ์	ค่าสัมประสิทธิ์	t- statistic
a_2	0.70	-
b_2	0.25	-
c_2	-0.102073	-3.84
d_2	1.421569	111.85
e_2	0.080228	18.98
f_2	0.011522	8.36
g_2	-0.208154	-1.79
$R^2 = 0.89$	-	-
$N = 1573$	-	-

จากตารางที่ 3.8 สัมประสิทธิ์ของพารามิเตอร์ต่าง ๆ ที่ได้ส่วนใหญ่มีค่า $|t| > 2.0$ สรุปได้ว่าค่าพารามิเตอร์ต่าง ๆ ในแบบจำลองมีความสัมพันธ์กับค่าความเข้มรังสีตรงที่นัยสำคัญ 0.05

3.3.3 การทดสอบสมรรถนะของแบบจำลอง

ในการทดสอบสมรรถนะของแบบจำลองรังสีตระหง่านสภาพท้องฟ้าปราศจากเมฆที่สร้างขึ้น ผู้วิจัยจะใช้ข้อมูลของ 3 สถานีวัด (ตารางที่ 3.7) ซึ่งเป็นข้อมูลอิสระ (independent data) และมิได้นำมาใช้ในการสร้างแบบจำลอง โดยนำพารามิเตอร์ต่าง ๆ ได้แก่ มุนเซนิช (θ_z) แฟกเตอร์สำหรับแก้ผลกระทบความรีของวงโคจร (E_o) มวลอากาศ (m_a) ค่าสัมประสิทธิ์ความชุ่มน้ำบรรยายกาศของอังสตรอม (β) เลขยกกำลังอังสตรอม (α) ปริมาณไอน้ำในบรรยากาศ (w) และปริมาณโอดูโซน (ℓ) แทนค่าลงในแบบจำลองตามสมการที่ 3.17-3.19 เพื่อกำหนดค่าความเข้มรังสีตระหง่าน จากนั้นจึงนำค่าจากการคำนวณที่ได้ไปทำการเปรียบเทียบกับค่าที่ได้จากการวัดของทั้ง 3 สถานี ผลการเปรียบเทียบอยู่ในรูปของค่า RMSD และ MBD ตามสมการ (3.20) และ (3.21) ผลที่ได้แสดงดังรูปที่ 3.99 -3.102 และ ตารางที่ 3.9

$$\text{RMSD} = \sqrt{\frac{\sum_{i=1}^N (I_{BN,\text{model}} - I_{BN,\text{meas}})^2}{N}} \times 100 \% \quad (3.20)$$

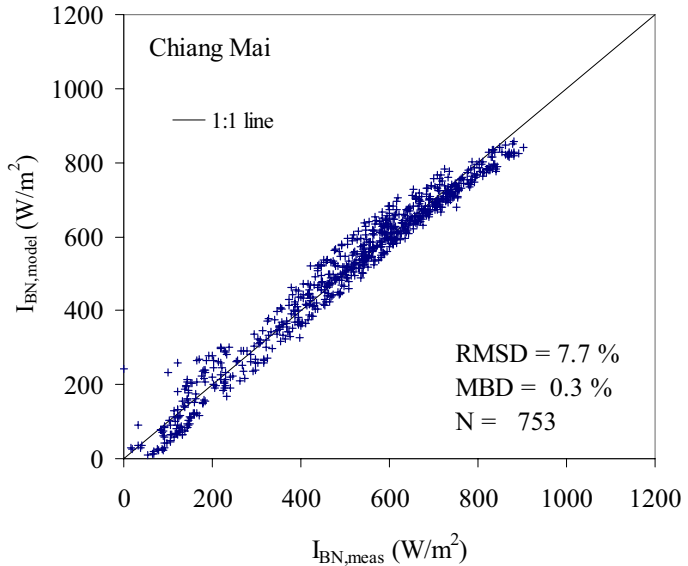
$$\text{MBD} = \frac{\sum_{i=1}^N (I_{BN,\text{model}} - I_{BN,\text{meas}})}{\sum_{i=1}^N I_{BN,\text{meas}}} \times 100 \% \quad (3.21)$$

เมื่อ

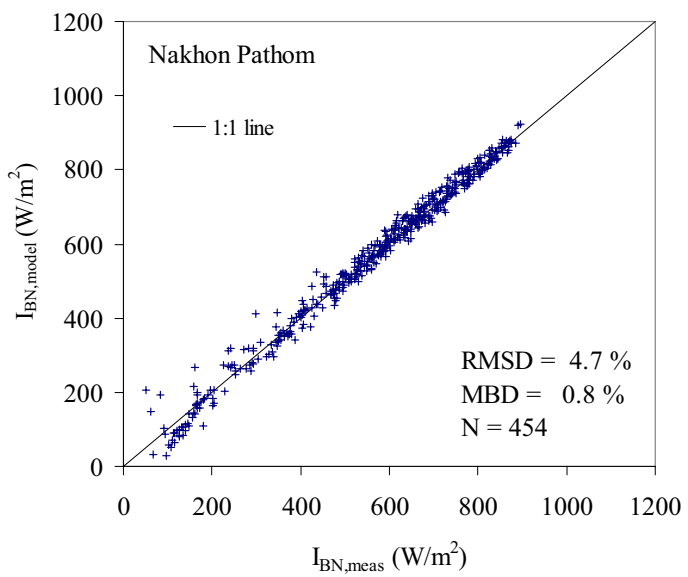
$I_{BN,\text{model}}$ คือ ค่าความเข้มรังสีตระหง่านที่คำนวณจากแบบจำลอง [W/m^2]

$I_{BN,\text{meas}}$ คือ ค่าความเข้มรังสีตระหง่านที่ได้จากการวัด [W/m^2]

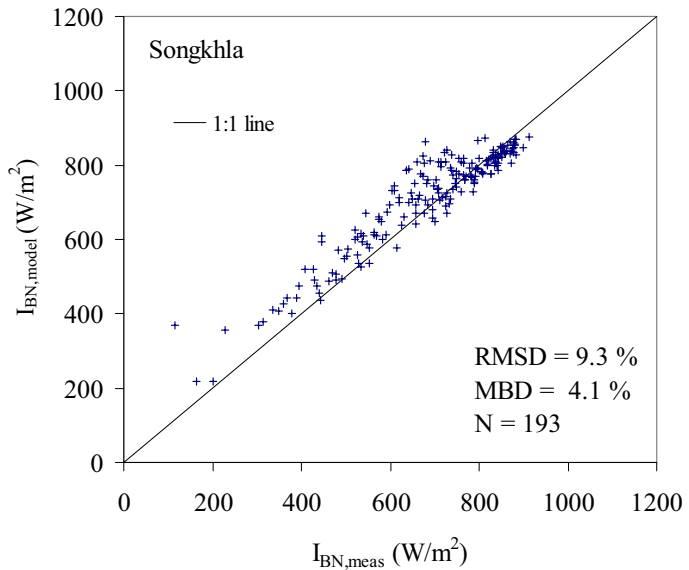
N คือ จำนวนข้อมูล



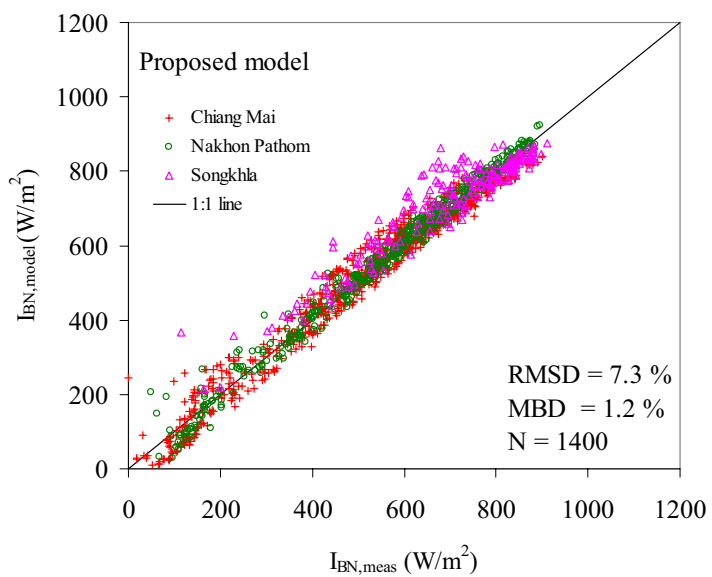
รูปที่ 3.99 การเปรียบเทียบค่าความเข้มรังสีตรงที่ได้จากการวัดและการคำนวณของสถานีเชียงใหม่



รูปที่ 3.100 การเปรียบเทียบค่าความเข้มรังสีตรงที่ได้จากการวัดและการคำนวณของสถานีนครปฐม



รูปที่ 3.101 การเปรียบเทียบค่าความเข้มรังสีตรงที่ได้จากการวัดและจากการคำนวณของสถานีสงขลา



รูปที่ 3.102 การเปรียบเทียบค่าความเข้มรังสีตรงที่ได้จากการวัดและจากการคำนวณของทุกสถานี

ตารางที่ 3.9 ค่า root mean square difference (RMSD) และ mean bias difference (MBD) ของสถานีเชียงใหม่ นครปฐม และสงขลา

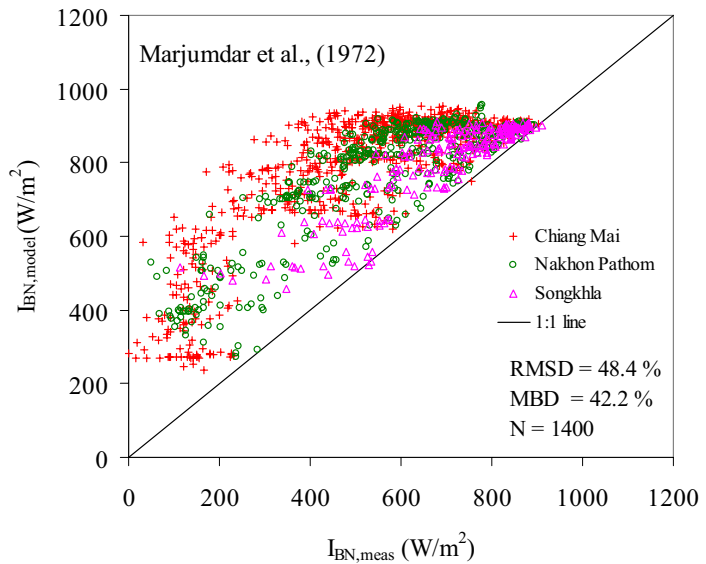
สถานี	RMSD (%)	MBD (%)
เชียงใหม่	7.7	0.3
นครปฐม	4.7	0.8
สงขลา	9.3	4.1
รวมทุกสถานี	7.3	1.2

จากรูปที่ 3.99 - 3.102 และตารางที่ 3.9 จะเห็นว่า แบบจำลองความเข้มรังสีตรงในสภาพท้องฟ้าปราศจากเมฆที่พัฒนาขึ้นคำนวณค่าความเข้มรังสีตรงบนระนาบตั้งฉากกับจำแสงอาทิตย์รายชั่วโมงของสถานีเชียงใหม่ นครปฐม และสงขลา มีค่าใกล้เคียงกับค่าที่ได้จากการวัด โดยมีความแตกต่างในรูป root mean square difference (RMSD) อยู่ในช่วง 4.7 – 9.3 % และ mean bias difference (MBD) อยู่ในช่วง 0.3 - 4.1 % และผลความคลาดเคลื่อนของข้อมูลรวมทั้ง 3 สถานี มีค่า RMSD เท่ากับ 7.3 % และ MBD เท่ากับ 1.2 %

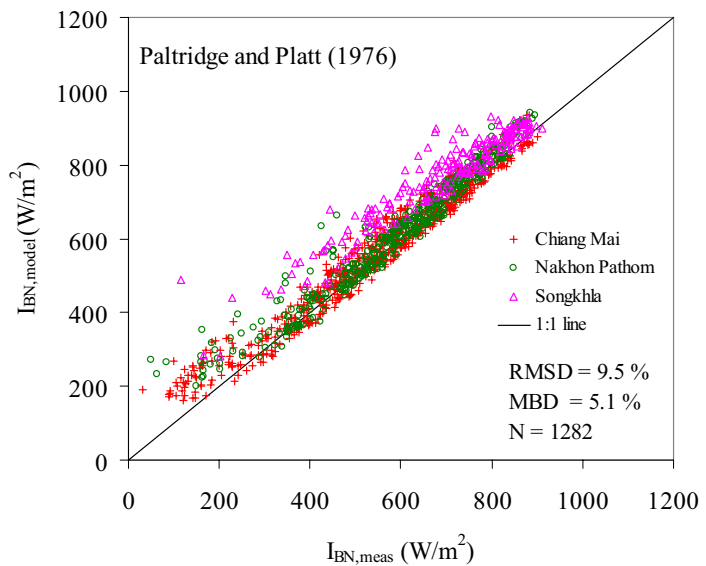
ผู้วิจัยทำการเปรียบเทียบสมรรถนะของแบบจำลองความเข้มรังสีตรงในสภาพท้องฟ้าปราศจากเมฆที่ได้จากการวิจัยอื่นๆ จำนวน 6 แบบจำลองซึ่งคำนวณความเข้มรังสีตรงขึ้นกับพารามิเตอร์ต่างๆ ที่เป็นองค์ประกอบในบรรยายการดังรายละเอียดในบทที่ 2 โดยผลการเปรียบเทียบที่ได้แสดงในรูป RMSD และ MBD ตามตารางที่ 3.11

ตารางที่ 3.10 แบบจำลองความเข้มรังสีตรงในสภาพท้องฟ้าปราศจากเมฆ

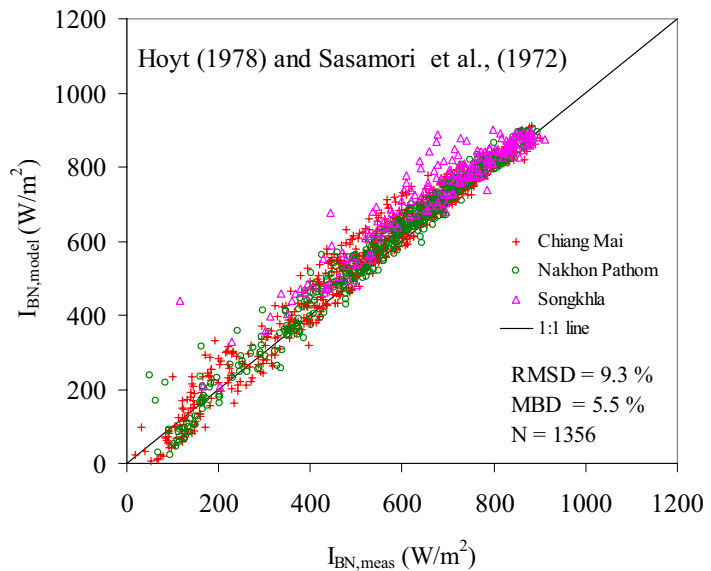
แบบจำลอง	สมการ
1. Marjumdar et al., (1972)	$I_{BN} = 1331.0(0.8644)^{m_r P/1000}(0.8507)^{(wm_r)^{0.25}}$
2. Paltridge and Platt (1976)	$I_{BN} = I_{sc}(T_o T_r - a_w)T_a$
3. Hoyt (1978) and Sasamori et al., (1972)	$I_{BN} = I_{sc}\left(1 - \sum_{i=1}^4 a_i\right)T_r T_{as}$
4. Bird and Hulstrom (1981)	$I_{BN} = (0.9662)I_{on} T_r T_o T_g T_w T_a$
5. Psiloglou et al., (2007)	$I_{BN} = I_{on} T_w T_r T_o T_g T_a$
6. Ineichen (2008)	$I_{BN} = I'_o \exp\left(\frac{\tau_B}{\sin^B \alpha_s}\right)$



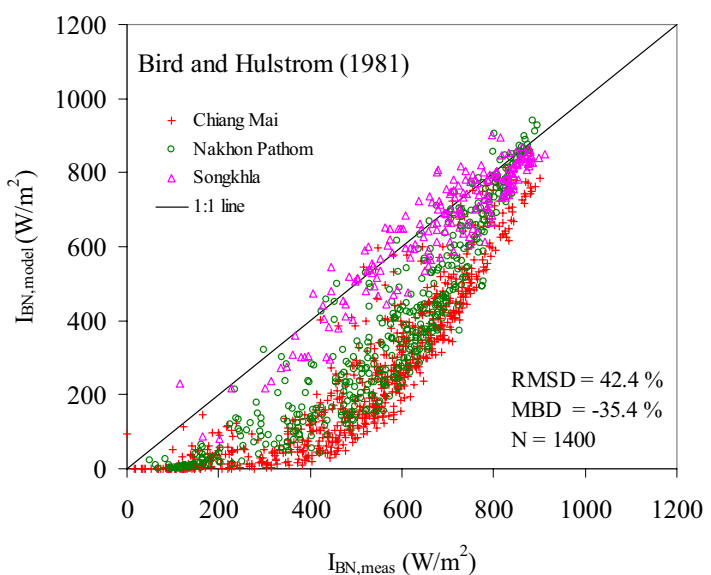
รูปที่ 3.103 การเปรียบเทียบค่าความเข้มรังสีตรงที่ได้จากการวัดและจากแบบจำลอง Marjumdar et al.(1972)



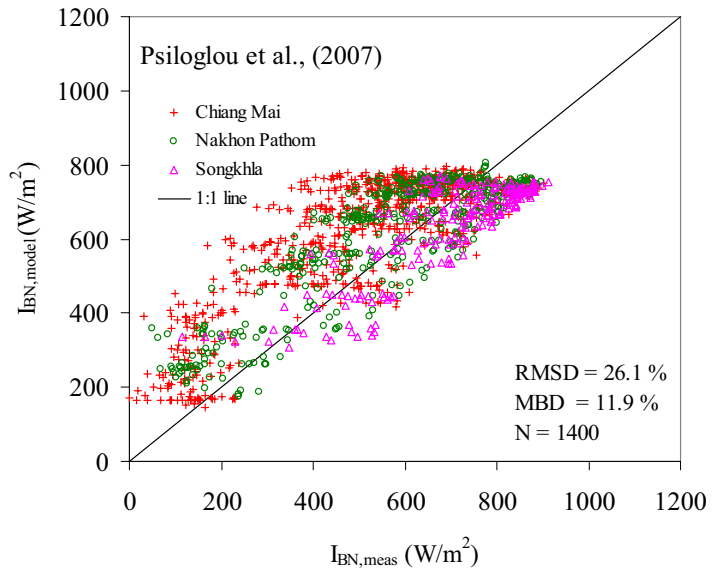
รูปที่ 3.104 การเปรียบเทียบค่าความเข้มรังสีตรงที่ได้จากการวัดและจากแบบจำลอง Paltridge and Platt (1976)



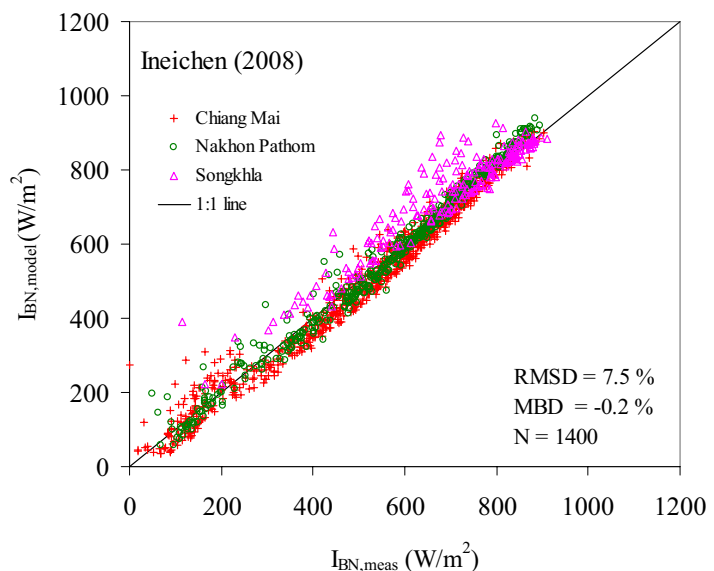
รูปที่ 3.105 การเปรียบเทียบค่าความเข้มรังสีตรงที่ได้จากการวัดและจากแบบจำลอง Hoyt (1978) and Sasamori et al.(1972)



รูปที่ 3.106 การเปรียบเทียบค่าความเข้มรังสีตรงที่ได้จากการวัดและจากแบบจำลอง Bird and Hulstrom(1981)



รูปที่ 3.107 การเปรียบเทียบค่าความเข้มรังสีตรงที่ได้จากการวัดและจากแบบจำลอง Psiloglou et al.(2007)



รูปที่ 3.108 การเปรียบเทียบค่าความเข้มรังสีตรงที่ได้จากการวัดและจากแบบจำลอง Ineichen (2008)

ตารางที่ 3.11 ค่า RMSD (%) และ MBD (%) ของแต่ละแบบจำลองสำหรับ 3 สถานี

Model	Chiang Mai		Nakhon Pathom		Songkhla		total	
	RMSD (%)	MBD (%)	RMSD (%)	MBD (%)	RMSD (%)	MBD (%)	RMSD (%)	MBD (%)
Proposed model	7.7	0.3	4.7	0.8	9.3	4.1	7.3	1.2
Marjumdar et al., (1972)	59.8	54.2	42.5	37.5	20.3	16.6	48.4	42.2
Paltridge and Platt (1976)	7.9	3.3	7.8	4.3	14.3	11.9	9.5	5.1
Hoyt (1978) and Sasamori et al., (1972)	9.6	5.6	7.1	3.8	11.2	8.2	9.3	5.5
Bird and Hulstrom (1981)	53.3	-48.9	37.4	-31.7	9.4	-3.8	42.4	-35.4
Psiloglou et al., (2007)	32.1	20.9	21.6	8.9	15.1	-8.4	26.1	11.9
Ineichen (2008)	7.5	-2.7	5.5	0.4	9.9	6.2	7.5	-0.2

จากการภาพในรูปที่ 3.103-3.108 และตารางที่ 3.11 พบว่าแบบจำลอง Marjumdar et al.(1972) แบบจำลอง Bird and Hulstrom (1981) และแบบจำลอง Psiloglou et al.,(2007) ที่มีความคลาดเคลื่อนค่อนข้างสูง โดยมีค่า RMSD อยู่ในช่วง 26.1 % ถึง 48.4 % และ MBD อยู่ในช่วง -35.4 % ถึง 42.2 % ทั้งนี้เนื่องจากแบบจำลองดังกล่าวมีข้อจำกัดในด้านวิธีการและลักษณะของข้อมูลที่ใช้ในการพัฒนาแบบจำลอง โดยที่ แบบจำลอง Marjumdar et al., (1972) เป็นแบบจำลองที่สร้างจากข้อมูลในประเทศไทยเดียวซึ่งเป็นข้อมูลในช่วงท้องฟ้าประจำเมืองและมีผู้นับถ่องหนอยู่ในประเทศไทยเท่านั้น จึงไม่เหมาะสมต่อการนำข้อมูลมาใช้ในประเทศอื่นๆ ที่มีสภาพอากาศและภูมิประเทศแตกต่างกัน ทำให้ไม่สามารถใช้แบบจำลองนี้ได้ แต่แบบจำลอง Psiloglou et al., (2007) เป็นแบบจำลองทางอุตุนิยมวิทยา (Meteorological Radiation Model; MRM) ที่สร้างจากข้อมูลด้านอุตุนิยมวิทยาพื้นฐาน ได้แก่ ความชื้นสัมพัทธ์ ความดันบรรยากาศ และความยาวนานแสงแดด จึงส่งผลให้แบบจำลองดังกล่าวมีสมรรถนะค่อนข้างดี ในส่วนของแบบจำลอง Bird and Hulstrom (1981) มีความคลาดเคลื่อนค่อนข้างสูงเนื่องจากเป็นแบบจำลองที่สร้างจากการนำรายละเอียดของแบบจำลองรังสีทรงเหลี่ยมแบบจำลองมาพัฒนาแบบจำลองขึ้นใหม่ซึ่งไม่ได้พัฒนาจากข้อมูลวัดโดยตรง

สำหรับแบบจำลองที่ให้ผลการคำนวณค่าความเข้มรังสีตรง ก็ล้วนเกี่ยวกับค่าจากการวัด ได้แก่ แบบจำลอง Paltridge and Platt (1976) แบบจำลอง Hoyt (1978) and Sasamori et al., (1972) และแบบจำลอง Ineichen (2008) โดยมีค่า RMSD อยู่ในช่วง 7.5 % ถึง 9.5 % และ MBD อยู่ในช่วง

-0.2 % ถึง 5.5 % แบบจำลองดังกล่าวเป็นแบบจำลองที่พัฒนาจากข้อมูลที่ค่อนข้างมีประสิทธิภาพแบบจำลอง Paltridge and Platt (1976) เป็นแบบจำลองที่ใช้ค่าสัมประสิทธิ์การส่งผ่านรังสีคงอาทิตย์เนื่องจากองค์ประกอบต่างๆ ในบรรยากาศที่ได้จากการวิจัยของ Hounghton (1954) Yamamoto (1962) Lacis and Henson (1974) Davie et al., (1975) และ Machler (1983) แบบจำลอง Hoyt (1978) สร้างจากข้อมูลวัดภาคพื้นดินของ National Weather Servics (NWS) โดยเลือกเฉพาะข้อมูลขณะที่ห้องฟ้าปราศจากเมฆในเวลาเที่ยงวันซึ่งเป็นช่วงเวลาที่ค่าความเข้มรังสีคงอาทิตย์มีค่าสูงสุดในรอบวัน ส่งผลให้การคำนวณมีความแม่นยำสูง แบบจำลอง Ineichen (2008) เป็นแบบจำลองที่มีสมรรถนะสูงพัฒนาจากแบบจำลอง Mueller et al., (2004) ทีมนักวิจัยชาวญี่ปุ่น (Solar Irradiance Scheme, SOLIS) โดยวิธีการฟิลพารามิเตอร์กับ Radiative Transfer Model (RTM) เมื่อพัฒนาผลการคำนวณที่ได้จากแบบจำลองทั้ง 6 แบบจำลองพบว่าแบบจำลองที่สร้างขึ้นในงานวิจัยนี้ ให้ผลการคำนวณที่มีความแม่นยำสูงที่สุด โดยมีค่า RMSD เท่ากับ 7.3 % และ MBD เท่ากับ 1.2 % ทั้งนี้เนื่องจากเป็นแบบจำลองกึ่งเอนพาริคัล ที่สร้างจากข้อมูลที่ได้จากเครื่องมือวัดประสิทธิภาพสูง

3.4 การพัฒนาแบบจำลองความเข้มรังสีกระเจ้ายในสภาพท้องฟ้าประเทศไทย

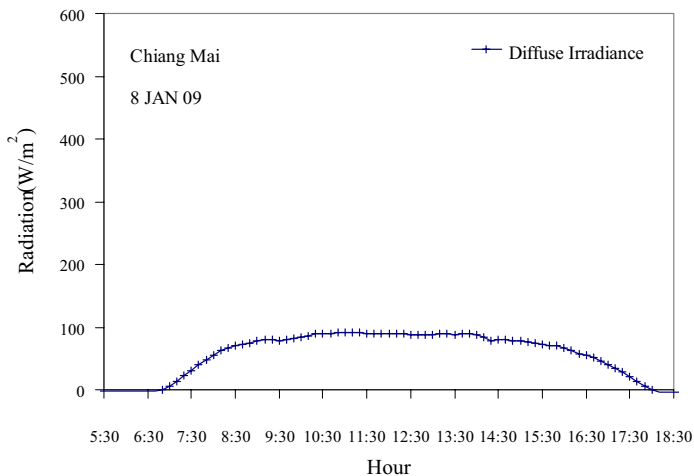
3.4.1 ข้อมูล

การพัฒนาและทดสอบสมรรถนะของแบบจำลองรังสีกระเจ้ายในสภาพท้องฟ้าประเทศไทย เมฆ จำเป็นต้องใช้ข้อมูลต่างๆ ได้แก่ ค่าความเข้มรังสีกระเจ้ายบนพื้นราบ นุ่นเซนิช แฟกเตอร์ สำหรับแก็สลดจากความรีของวงโคจร ค่าสัมประสิทธิ์ความชุ่มน้ำบรรยายกาศของอัองสตรอม ปริมาณไอน้ำในบรรยากาศ และปริมาณโอโซน โดยที่ปริมาณไอน้ำในบรรยากาศและเลขยกกำลัง อัองสตรอม ได้จากการวัดด้วยเครื่อง sunphotometer สำหรับค่าสัมประสิทธิ์ความชุ่มน้ำบรรยายกาศของอัองสตรอม ได้จากการคำนวณจากความสัมพันธ์ของค่าความลึกเชิงแสงเนื่องจากผุ่นละออง และเลขยกกำลังอั้งสตรอม (สมการ 3.6) สำหรับข้อมูลปริมาณโอโซน ได้จากเครื่องวัด Ozone Monitoring Instrument (OMI) ที่ติดตั้งบนดาวเทียม AURA ซึ่งช่วยข้อมูลที่ใช้ในการพัฒนาและทดสอบแบบจำลองมีรายละเอียดแสดงดังตารางที่ 3.12

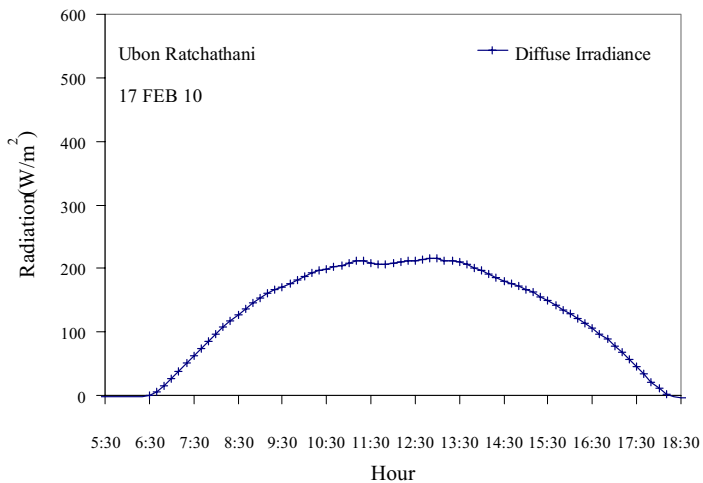
ตารางที่ 3.12 ช่วงข้อมูลที่ใช้ในการพัฒนาและทดสอบแบบจำลอง

สถานี	ข้อมูลพัฒนาแบบจำลอง	ข้อมูลทดสอบแบบจำลอง
เชียงใหม่	มกราคม – ธันวาคม 2007	มกราคม – กันยายน 2009
นครปฐม	มกราคม – ธันวาคม 2007	มกราคม – กันยายน 2009
สงขลา	มกราคม – ธันวาคม 2007	มกราคม – กันยายน 2009
อุบลราชธานี	-	พฤษจิกายน 2009 – กุมภาพันธ์ 2010

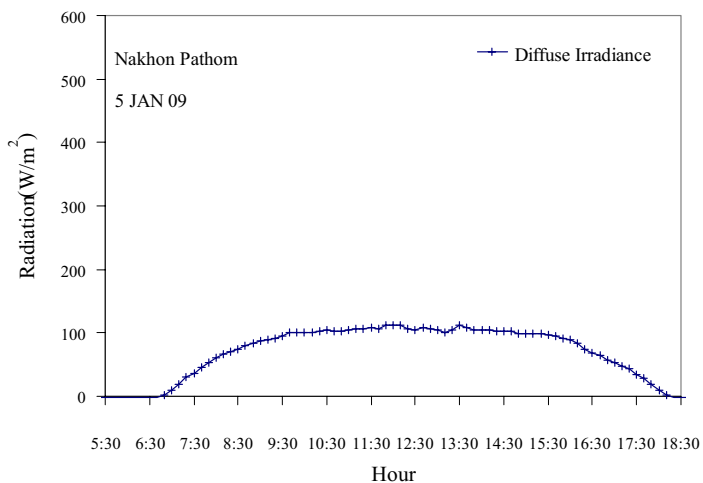
ข้อมูลความเข้มรังสีกระเจยบนพื้นราบที่ใช้ในการสร้างและทดสอบสมรรถนะของแบบจำลองอยู่ในรูปของข้อมูลเฉลี่ยรายชั่วโมง มีหน่วยเป็น W/m^2 ที่ได้จากการแปลงข้อมูลดิบรายสัปดาห์จากเครื่องวัดความเข้มรังสีกระเจยที่สถานีเชียงใหม่ สถานีนครปฐม และสถานีสงขลา สำหรับสถานีอุบลราชธานีมีความจำกัดของข้อมูล ดังนั้นจึงนำมาใช้ในการทดสอบแบบจำลองเท่านั้น จากนั้นผู้วิจัยได้คัดเลือกช่วงเวลาที่ห้องไฟปราศจากเมฆจากการใช้ข้อมูลจากเครื่อง sunphotometer และนำข้อมูลรายสัปดาห์ที่มาเปลี่ยนกราฟกับเวลาในรอบวัน โดยในวันที่ห้องไฟปราศจากเมฆค่าความเข้มรังสีกระเจยมีลักษณะของกราฟสม่ำเสมอ ตามตัวอย่างในรูปที่ 3.109-3.112



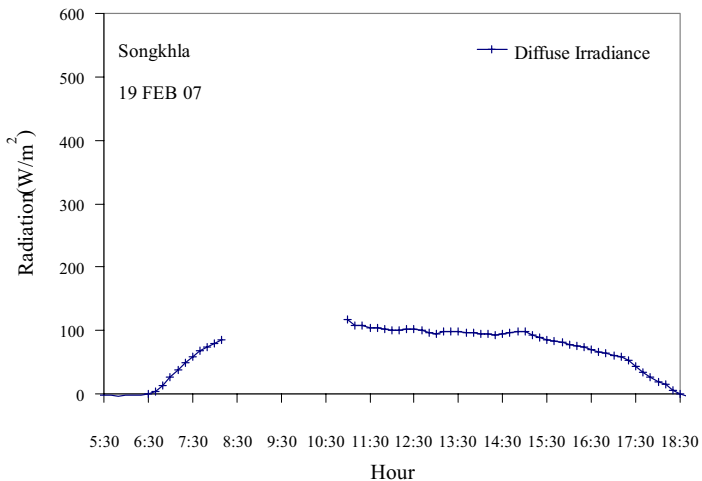
รูปที่ 3.109 ตัวอย่างกราฟความเข้มรังสีกระเจยในวันที่ห้องไฟปราศจากเมฆ
ของสถานีเชียงใหม่ วันที่ 8 มกราคม 2009



รูปที่ 3.110 ตัวอย่างกราฟความเข้มรังสีกระจายในวันที่ท้องฟ้าปราศจากเมฆ
ของสถานีอุบลราชธานี วันที่ 17 กุมภาพันธ์ 2010



รูปที่ 3.111 ตัวอย่างกราฟความเข้มรังสีกระจายในวันที่ท้องฟ้าปราศจากเมฆ
ของสถานีนนทบุรี วันที่ 5 มกราคม 2009



รูปที่ 3.112 ตัวอย่างกราฟความเข้มรังสีกระจายในวันที่ห้องไฟปราศจากเมฆ
ของสถานีสงขลา วันที่ 19 กุมภาพันธ์ 2007

3.4.2 การสร้างแบบจำลอง

ผู้วิจัยเสนอแบบจำลองความเข้มรังสีกระจายที่คำนึงถึงผลของพารามิเตอร์ที่เป็นองค์ประกอบในชั้นบรรยากาศในรูปสมการอย่างง่าย ดังสมการ

$$I_d = I_{sc} E_o \cos^{b_3} \theta_z (c_3 + d_3 \beta + e_3 \alpha + f_3 w + g_3 \ell) \quad (3.22)$$

เมื่อ I_d คือ ค่าความเข้มรังสีกระจายบนพื้นราบ (diffuse irradiance) [W/m^2]

I_{sc} คือ ค่าคงที่สุริยะ [$1366.1 \text{ W}/\text{m}^2$]

β คือ ค่าสัมประสิทธิ์ความชุ่มน้ำบรรยากาศของอัตราตก [Angstrom turbidity coefficient] [-]

α คือ เลขยกกำลังอัตราตก (Angstrom exponent) [-]

w คือ ปริมาณไอน้ำในบรรยากาศ (precipitable water) [cm]

ℓ คือ ปริมาณโอโซน (total ozone column) [cm]

E_o คือ แฟกเตอร์สำหรับแก้ผลจากความรีของวงโคจร [-]

θ_z คือ มุมเชนิช [องศา]

b_3, c_3, d_3, e_3, f_3 และ g_3 คือ สัมประสิทธิ์สำหรับแบบจำลอง

ในการสร้างแบบจำลอง ผู้วิจัยทำการรวบรวมข้อมูลความเข้มรังสีกระจายในสภาพห้องไฟปราศจากเมฆของสถานีเจียงใหม่ นครปฐมและสงขลา และคำนวณค่ามุมเชนิช (θ_z) แฟกเตอร์

สำหรับแก้ผลจากความเรื่องวงโคจร (E_0) ค่าสัมประสิทธิ์ความชุ่มน้ำบรรยายกาศของอังศตรอน (β) เลขยกกำลังอังศตรอน (α) ปริมาณไอน้ำในบรรยากาศ (w) และปริมาณโอโซน (ℓ) แล้วทำการหาค่าสัมประสิทธิ์ b_3 , จนได้ค่าที่เหมาะสมที่สุด จากนั้นใช้เทคนิค multiple regression เพื่อหาค่าสัมประสิทธิ์ c_3 , d_3 , e_3 , f_3 และ g_3 ซึ่งค่าสัมประสิทธิ์ที่ได้ดังกล่าวแสดงดังตารางที่ 3.13

ตารางที่ 3.13 ค่าสัมประสิทธิ์ของแบบจำลองรังสีกระจายที่พัฒนาขึ้น

สัมประสิทธิ์	ค่าสัมประสิทธิ์	t- statistic
b_3	0.75	-
c_3	0.187380	11.35
d_3	0.375057	39.20
e_3	0.011316	5.76
f_3	0.006227	7.95
g_3	-0.519790	-7.37
$R^2 = 0.68$	-	-
$N = 768$	-	-

จากตารางที่ 3.13 สัมประสิทธิ์ของพารามิเตอร์ต่าง ๆ ที่ได้มีค่า $|t| > 2.0$ สรุปได้ว่า ค่าพารามิเตอร์ต่าง ๆ ในแบบจำลองมีความสัมพันธ์กับค่าความเข้มรังสีตรงที่นัยสำคัญ 0.05

3.4.3 การทดสอบสมรรถนะของแบบจำลอง

ผู้วิจัยทำการทดสอบสมรรถนะของแบบจำลองค่าความเข้มรังสีกระจายในสภาพท้องฟ้า ปราศจากเมฆที่สร้างขึ้นนั้น โดยใช้ข้อมูลของ 4 สถานีวัด (ตารางที่ 3.12) ซึ่งเป็นข้อมูลอิสระ (independent data) และมิได้นำมาใช้ในการสร้างแบบจำลอง โดยนำพารามิเตอร์ต่าง ๆ ได้แก่ นุ่มเซนิช (θ_z) แฟกเตอร์สำหรับแก้ผลจากความเรื่องวงโคจร (E_0) ค่าสัมประสิทธิ์ความชุ่มน้ำบรรยายกาศของอังศตรอน (β) เลขยกกำลังอังศตรอน (α) ปริมาณไอน้ำในบรรยากาศ (w) และปริมาณโอโซน (ℓ) แทนค่าลงในแบบจำลองตามสมการ (3.22) เพื่อคำนวณค่าความเข้มรังสีกระจาย จากนั้นจึงนำค่าจากการคำนวณที่ได้ไปทำการเปรียบเทียบกับค่าที่ได้จากการวัดของทั้ง 4 สถานี ผลการเปรียบเทียบอยู่ในรูปของค่า RMSD และ MBD ตามสมการ (3.23) และ (3.24) ผลที่ได้แสดงดังรูปที่ 3.113 -3.117 และ ตารางที่ 3.14

$$\text{RMSD} = \sqrt{\frac{\sum_{i=1}^N (I_{d,\text{model}} - I_{d,\text{meas}})^2}{\sum_{i=1}^N I_{d,\text{meas}}}} \times 100 \% \quad (3.23)$$

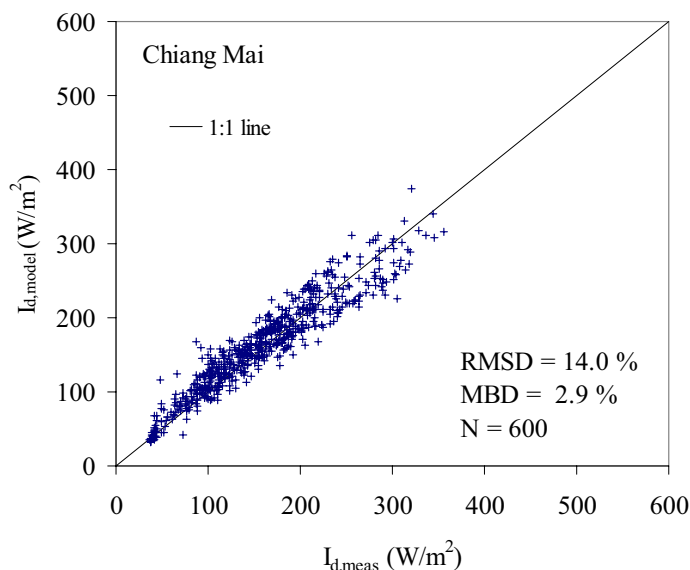
$$\text{MBD} = \frac{\sum_{i=1}^N (I_{d,\text{model}} - I_{d,\text{meas}})}{\sum_{i=1}^N I_{d,\text{meas}}} \times 100 \% \quad (3.24)$$

เมื่อ

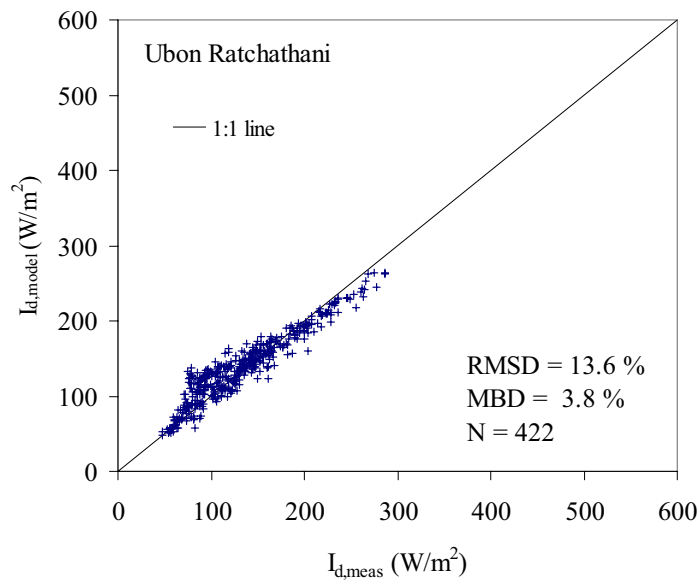
$I_{d,\text{model}}$ คือ ค่าความเข้มรังสีกระเจยที่คำนวณจากแบบจำลอง $[\text{W/m}^2]$

$I_{d,\text{meas}}$ คือ ค่าความเข้มรังสีกระเจยที่ได้จากการวัด $[\text{W/m}^2]$

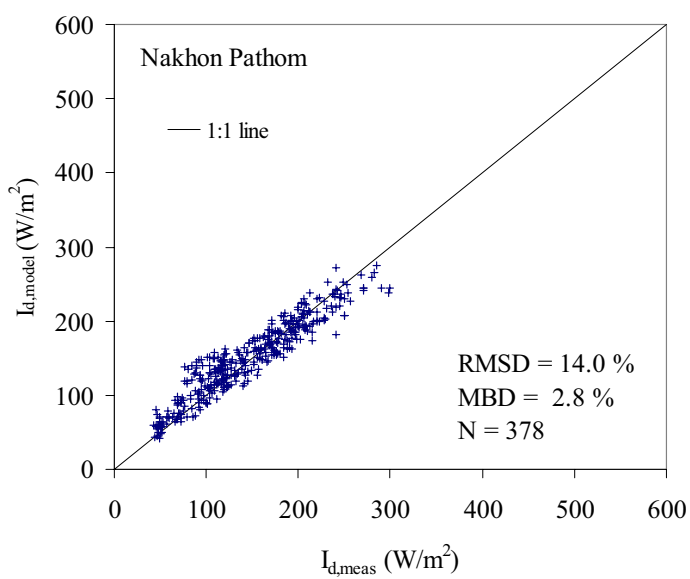
N คือ จำนวนข้อมูล



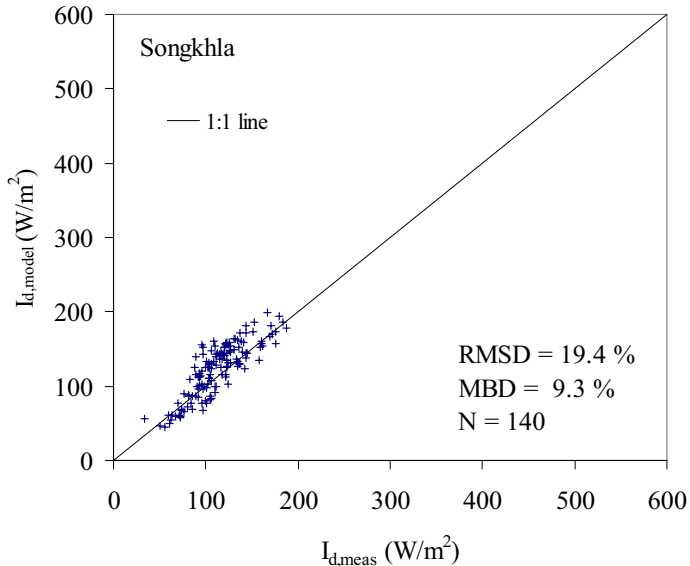
รูปที่ 3.113 การเปรียบเทียบค่าความเข้มรังสีกระเจยที่ได้จากการวัดและจากการคำนวณของสถานีเชียงใหม่



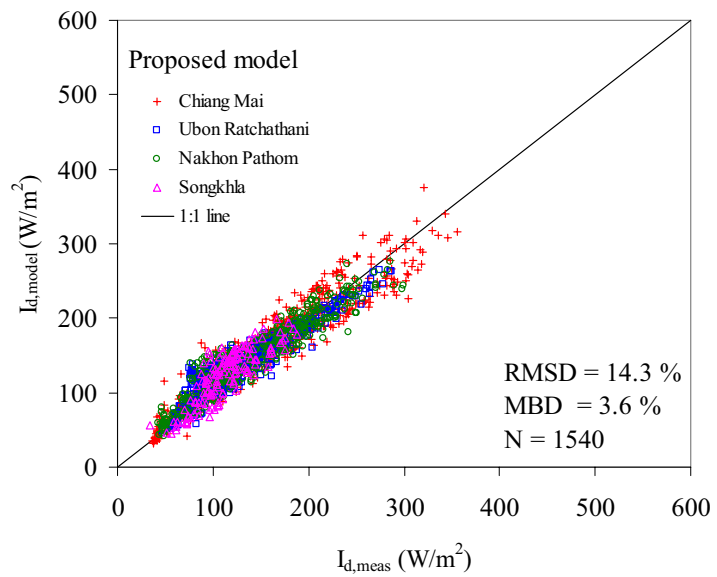
รูปที่ 3.114 การเปรียบเทียบค่าความเข้มรังสีกระเจาที่ได้จากการวัดและการคำนวณของสถานีอุบลราชธานี



รูปที่ 3.115 การเปรียบเทียบค่าความเข้มรังสีกระเจาที่ได้จากการวัดและการคำนวณของสถานีนครปฐม



รูปที่ 3.116 การเปรียบเทียบค่าความเข้มรังสีกระเจาที่ได้จากการวัดและการคำนวณของสถานีสงขลา



รูปที่ 3.117 การเปรียบเทียบค่าความเข้มรังสีกระเจาที่ได้จากการวัดและการคำนวณของทุกสถานี

ตารางที่ 3.14 ค่า root mean square difference (RMSD) และ mean bias difference (MBD) ของสถานีเชียงใหม่ อุบลราชธานี นครปฐม และสงขลา

สถานี	RMSD (%)	MBD (%)
เชียงใหม่	14.0	2.9
อุบลราชธานี	13.6	3.8
นครปฐม	14.0	2.8
สงขลา	19.4	9.3
รวมทุกสถานี	14.3	3.6

จากรูปที่ 3.113 - 3.117 และตารางที่ 3.14 จะเห็นว่า แบบจำลองความเข้มรังสีกระจายในสภาพห้องพ้าปราศจากเมมที่พัฒนาขึ้นสามารถคำนวณค่าความเข้มรังสีกระจายบนพื้นราบรายชั่วโมงของสถานีเชียงใหม่ อุบลราชธานี นครปฐม และสงขลา มีค่าค่อนข้างใกล้เคียงกับค่าที่ได้จากการวัด โดยมีความแตกต่างในรูป root mean square difference (RMSD) อยู่ในช่วง 13.6-19.4% และ mean bias difference (MBD) อยู่ในช่วง 2.8 - 9.3 % และผลความคลาดเคลื่อนของข้อมูลรวมทั้ง 4 สถานี มีค่า RMSD เท่ากับ 14.3 % และ MBD เท่ากับ 3.6 % ตามลำดับ ซึ่งถือว่าอยู่ในเกณฑ์ที่ดี

บทที่ 4

สรุป

แบบจำลองความเข้มรังสีดวงอาทิตย์ในสภาพท้องฟ้าปราศจากเมฆมีความสำคัญต่องานวิจัยด้านพลังงานแสงอาทิตย์ ดังนั้นผู้วิจัยจึงทำการพัฒนาแบบจำลองสำหรับคำนวณความเข้มรังสีรวม ความเข้มรังสีตรง และความเข้มรังสีกระจายในสภาพท้องฟ้าปราศจากเมฆสำหรับประเทศไทย โดยใช้ข้อมูลความเข้มรังสีดวงอาทิตย์ในภูมิภาคต่างๆ ของประเทศ ดังนี้ ภาคเหนือที่ศูนย์อุตุนิยมวิทยาภาคเหนือ จังหวัดเชียงใหม่ (18.78°N , 98.98°E) ภาคตะวันออกเฉียงเหนือที่ศูนย์อุตุนิยมวิทยาภาคตะวันออกเฉียงเหนือ จังหวัดอุบลราชธานี (15.25°N , 104.87°E) ภาคกลางที่มหาวิทยาลัยศิลปากร จังหวัดนครปฐม (13.82°N , 100.04°E) และภาคใต้ที่ศูนย์อุตุนิยมวิทยาภาคใต้ ฝั่งตะวันออก จังหวัดสงขลา (7.2°N , 100.60°E) ผู้วิจัยได้ทำการวัดค่าความเข้มรังสีดวงอาทิตย์ในรูปรังสีรวมบนพื้นราบ (global horizontal irradiance) รังสีตรงบนระนาบตั้งฉากกับลำแสงอาทิตย์ (direct normal irradiance) และรังสีกระจายบนพื้นราบ (diffuse irradiance) และใช้ข้อมูลเฉพาะช่วงที่ท้องฟ้าปราศจากเมฆมาทำการวิเคราะห์หาความสัมพันธ์กับพารามิเตอร์ขององค์ประกอบต่างๆ ในบรรยากาศที่ได้จากการสำรวจสถานีวัดแต่ละแห่ง ในการพัฒนาแบบจำลองสำหรับคำนวณความเข้มรังสีรวมจะใช้ข้อมูลจากสถานีเชียงใหม่ นครปฐม และสงขลา ในปี ค.ศ. 2007 โดยได้ทำการเปรียบเทียบแบบจำลองที่ได้กับข้อมูลที่บันทึกในปี ค.ศ. 2008 ของสถานีเชียงใหม่ สถานีนครปฐม และสถานีสงขลา และข้อมูลเพิ่มเติมของสถานีอุบลราชธานีในช่วงเดือนพฤษภาคม 2009–กุมภาพันธ์ 2010 ผลการทดสอบพบว่า แบบจำลองที่ได้ในงานวิจัยนี้ให้ผลการคำนวณที่สอดคล้องกับค่าที่ได้จากการวัดซึ่งมีความแตกต่างในรูปของ RMSD เท่ากับ 4.3 % และ MBD เท่ากับ -0.04 % นอกจากนี้ผู้วิจัยได้ทำการทดสอบแบบจำลองที่ได้กับแบบจำลองที่พัฒนาโดยนักวิจัยอื่นๆ ผลที่ได้พบว่าแบบจำลองที่พัฒนาขึ้นมีความแม่นยำสูงที่สุด เนื่องจากแบบจำลองที่สร้างขึ้นเป็นแบบจำลองกึ่งเอนอลิคลัซึ่งสร้างจากความสัมพันธ์ของพารามิเตอร์จากองค์ประกอบต่างๆ ในบรรยากาศ ได้แก่ ไอน้ำ ฝุ่นละอองและโอโซน ในขณะที่แบบจำลองที่นำมาเปรียบเทียบทั้ง 7 แบบจำลองเป็นแบบจำลองอย่างง่ายที่ขึ้นกับมุม zenith พียงอย่างเดียว

ในส่วนของการพัฒนาแบบจำลองความเข้มรังสีตรงจะใช้ข้อมูลจากสถานีเชียงใหม่ สถานีนครปฐม และสถานีสงขลาในปี ค.ศ. 2008 ใน การทดสอบจะใช้ข้อมูลของสถานีเชียงใหม่ สถานีนครปฐม และสถานีสงขลาในช่วงเดือนมกราคม – กันยายน 2009 ผลการทดสอบพบว่าแบบจำลอง

ที่สร้างขึ้นให้ผลการคำนวณสอดคล้องกับค่าที่ได้จากการวัดซึ่งมีความแตกต่างในรูปของ RMSD เท่ากับ 7.3 % และ MBD เท่ากับ 1.2 % นอกจักนี้ผู้วิจัยได้ทำการทดสอบแบบจำลองที่ได้กับแบบจำลองที่พัฒนาโดยนักวิจัยอื่นๆ ผลที่ได้พบว่าแบบจำลองที่พัฒนาขึ้นมีความแม่นยำค่อนข้างสูง เนื่องจากแบบจำลองที่สร้างขึ้นเป็นแบบจำลองกึ่งเอนพิริคัลที่สร้างจากความสัมพันธ์ของพารามิเตอร์จากองค์ประกอบต่างๆ ในบรรยายกาศ ได้แก่ ไอ้น้ำ ฝุ่นละอองและโอโซน โดยมีรูปสมการไม่ซับซ้อน สะดวกต่อการใช้งานเมื่อเปรียบเทียบกับแบบจำลองอื่นๆ ที่ส่วนใหญ่เป็นแบบจำลองเชิงฟิสิกส์ (physical model) และมีพารามิเตอร์ค่อนข้างซับซ้อน

สุดท้ายผู้วิจัยทำการพัฒนาแบบจำลองความเข้มรังสีบรรยากาศโดยใช้ข้อมูลจากสถานีเชียงใหม่ สถานีนครปฐม และสถานีสงขลาในปี ค.ศ.2007 และทดสอบแบบจำลองที่พัฒนาขึ้นด้วยข้อมูลของสถานีเชียงใหม่ สถานีนครปฐม และสถานีสงขลาในช่วงเดือนมกราคม - กันยายน 2009 และข้อมูลเพิ่มเติมของสถานีอุบลราชธานีในช่วงเดือนพฤษภาคม 2009 - กุมภาพันธ์ 2010 ผลการทดสอบพบว่าแบบจำลองที่สร้างขึ้นให้ผลการคำนวณสอดคล้องกับค่าที่ได้จากการวัดซึ่งมีความแตกต่างในรูปของ RMSD เท่ากับ 14.3 % และ MBD เท่ากับ 3.6 %

เนื่องจากแบบจำลองที่ได้จากการวิจัยนี้พัฒนาขึ้นจากข้อมูลที่ค่อนข้างจำกัด ซึ่งหากข้อมูลที่ใช้ในการพัฒนานี้จำนวนมากขึ้นจะช่วยให้แบบจำลองที่พัฒนาดังกล่าวมีสมรรถนะสูงที่ขึ้นได้ ผู้วิจัยจึงมีข้อเสนอแนะว่าควรนีการเก็บข้อมูลในระยะเวลา長มากขึ้น โดยเฉพาะอย่างยิ่งสถานีอุบลราชธานีที่มิได้นำมาใช้ในการพัฒนาแบบจำลอง

បររលាយក្រម

Bird, R.E., and Hulstrom, R.L. "Review, evaluation, and improvement of direct irradiance models." **Trans. ASME J. Sol. Energy Eng** 103 (1981):182-192.

Davies, J. A., Schertzer, W., and Nunez, M. "Estimating global solar radiation." **Boundary Layer Meteorol.** 9 (1975): 33-52.

Dumortier, D. "Modelling global and diffuse horizontal irradiances under cloudless skies with different turbidities." Daylight II, jou2-ct92-0144, final report vol. 2. Tech. rep., CNRS-ENTYPE. (1995).

Houghton, H. G. "On the annual heat balance of the northern hemisphere." **J. Meteorol.** 11(1) (1954): 1-9.

Hoyt, D.V. "A model for the calculation of solar global insolation.", **Solar Energy** 21 (1978): 27-35.

Ineichen, P. "A broadband simplified version of the Solis clear sky model" **Solar Energy** 82 (2008): 758-762.

Iqbal, M. **An Introduction to Solar Radiation.** New York: Academic Press. 1983.

Lacis, A. A., and Henson, J. E. "A parameterization for the absorption of solar radiation in the earth's atmosphere." **J. Atmos. Sci.** 31 (1974): 188-132.

Machler, M. "Parameterization of solar irradiance under clear skies." **M.A.Sc. Thesis,** University of British Columbia, Vancouver, Canada(1983).

Marjumdar, N. C., Mathur, B.L., and Kaushik, S.B. "Prediction of direct solar radiation for low Atmospheric turbidity.", **Solar Energy** 13 (1972): 383-394.

Paltridge, G. W., and Platt, C. M. R. **Radiative Processes in Meteorology and climatology** Elsevier, New York, 1976.

Psiloglue, B.E., and Kambezidis, H.D. "Performance of the meteorological radiation model during the solar eclipse of 29 March 2006." **Atmos. Chem. Phys** 7 (2007):12807-12843.

Sasamori, T., London, J., and Hoy, D. V. "Radiation budget of the Southern Hemisphere." **Am. Meteorol. Soc. Mon. Boston** 13 (1972): 9-23.

Yamamoto, G. "Direct absorption of solar radiation by atmospheric water vapor, carbondioxide and molecular oxygen." **J. Atmos. Sci.** 19 (1962): 182-188.

Haurwitz, B. "Insolation in relation to cloudiness and cloud density." **J. Meteorol** 2 (1945):154-166.

Haurwitz, B. "Insolation in relation to cloud type." **J. Meteorol** 3 (1946):123-124.

Daneshyar, M. "Solar radiation statistics for Iran." **Solar Energy** 21 (1978):345–349.

Paltridge, G. W and Proctor, D., "Monthly mean solar radiation statistics for Australia." **Solar Energy** 18 (1976):234–243.

Berger, X. Etude du Climat en Region Nicoise en vue d'Applications a l'Habitat Solaire. Paris: CNRS; 1979.

Adnot, J., Bourges, B., Campana, D., and Gicquel, R. Utilisation des courbes de frequence cumulees pour le calcul des installation solaires. In: Lestienne R, editor. Analise Statistique des Processus Meteorologiques Appliquee a l'Energie Solaire. Paris: CNRS; 1979. p. 9-40.

Kasten F., and Czeplak, G. "Solar and terrestrial radiation dependent on the amount and type of clouds." **Solar Energy** 24 (1980):177-189.

Robledo L., and Soler, A. "Luminous efficacy of global solar radiation for clear skies." **Energy Convers. Manage** 41 (2000): 1769-1779.

Kondratyev, KY. **Radiation in the Atmosphere**. New York: Academic Press. 1969. p.463.

Hammer, A, Heinemann, D, Hoyer, C, Kuhlemann, R, Lorenz, E, Muller, R, Beyer, H. G. "Solar energy assessment using remote sensing technologies." **Rem. Sen. Envi** 86 (2003):423-432.

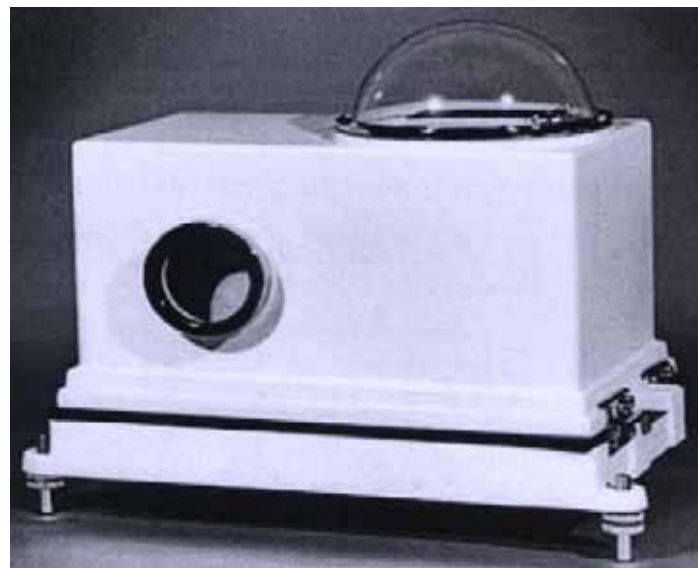
ภาครัฐ

ภาคผนวก ก
เครื่องมือวัดรังสีคุณภาพทิศย์

A1.1 การวัดรังสีรวม

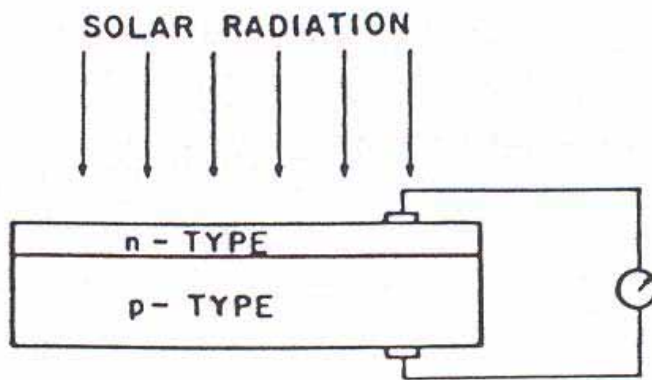
ในการวัดรังสีรวมจะใช้เครื่องวัดซึ่งเรียกว่า ไฟโรโนมิเตอร์ โดยแบ่งออกเป็นแบบต่างๆ ตามชนิดของ sensor ได้ดังนี้

ก. ไฟโรโนมิเตอร์ที่ใช้ thermomechanical sensor ไฟโรโนมิเตอร์แบบนี้มีชื่อเรียกโดยทั่วไปว่า ไฟโรโนมิเตอร์แบบ Robitzsch bimetallic ซึ่งมี sensor เป็นแผ่นโลหะ 2 แผ่น โดยแผ่นหนึ่งเป็นสีขาวและอีกแผ่นหนึ่งเป็นสีดำ เมื่อรังสีดวงอาทิตย์ตกกระทบ sensor แผ่นสีดำจะดูดกลืนรังสีดวงอาทิตย์และขยายตัวได้มากกว่าแผ่นสีขาว แรงที่เกิดจากการขยายตัวดังกล่าวจะไปขับเคลื่อนหัวปากกาให้บันทึกสัญญาณลงบนกระดาษซึ่งเคลื่อนที่ด้วยระบบไอลาน ไฟโรโนมิเตอร์แบบนี้มีข้อดีคือทำงานโดยไม่ต้องอาศัยไฟฟ้า แต่ก็มีข้อด้อยในเรื่องของความละเอียดเที่ยงตรงในการวัด ทั้งนี้ เพราะการทำงานของเครื่องจะขึ้นกับอุณหภูมิของสิ่งแวดล้อมซึ่งมีการเปลี่ยนแปลงตลอดเวลา โดยความคลาดเคลื่อนที่ได้จากการวัดอาจสูง 10-30 % โดยเฉพาะเครื่องที่มีการใช้งานนาน ซึ่งสีเคลือบ sensor เกิดการลอกหรือด้านนอกจากนี้ข้อมูลที่บันทึกได้ในแต่ละวันเป็นกราฟในช่วงสั้นๆ ไม่สามารถอ่านเป็นค่ารายชั่วโมงได้ถูกต้อง ค่าที่ได้โดยทั่วไปจึงเป็นค่ารายวัน องค์การอุตุนิยมวิทยาโลกจัดลำดับไฟโรโนมิเตอร์แบบนี้ไว้ในลำดับที่ 3 (third class) สำหรับลักษณะของไฟโรโนมิเตอร์ดังกล่าวแสดงไว้ในรูปที่ A1.1



รูปที่ A1.1 แสดงลักษณะของไฟโรโนมิเตอร์แบบ Robitzsch bimetallic

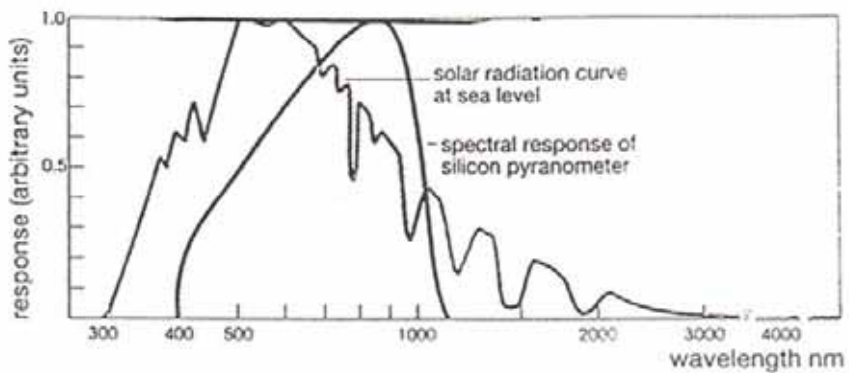
ข. ไฟรานมิเตอร์แบบใช้ photoelectric sensor ไฟรานมิเตอร์แบบนี้จะใช้ sensor ทำด้วยสารกึ่งตัวนำแบบ n และแบบ p ต่อ กันในลักษณะเดียวกับโซลาร์เซลล์ดังรูปที่ A1.2



รูปที่ A1.2 แสดงสารกึ่งตัวนำที่ใช้เป็น sensor ของไฟรานมิเตอร์

เมื่อรังสีดวงอาทิตย์ตกกระทบสารกึ่งตัวนำดังกล่าวจะเกิดปรากฏการณ์ photovoltaic และเกิดกระแสไฟฟ้าในวงจร ค่ากระแสที่เกิดขึ้นนี้สามารถนำกลับไปหาปริมาณความเข้มของรังสีดวงอาทิตย์ที่ตกกระทบได้

สำหรับการตอบสนองต่อสเปกตรัมของรังสีดวงอาทิตย์ ของไฟรานมิเตอร์แบบนี้จะอยู่ช่วงประมาณ 0.4-1.1 ไมครอนซึ่งแแคบกว่าสเปกตรัมของรังสีดวงอาทิตย์ที่ใช้งานซึ่งอยู่ในช่วง 0.3-3 ไมครอน นอกจากนี้การตอบสนองดังกล่าวมีอัตราความเร็วที่สูงกว่ารังสีดวงอาทิตย์โดยตอบสนองได้ต่อในช่วงแสงสีเขียวและม่วง ซึ่งนับว่าเป็นข้อดีอย่างมากของไฟรานมิเตอร์แบบนี้ แต่อย่างไรก็ตามไฟรานมิเตอร์แบบนี้มีราคาไม่แพงและมีเวลาตอบสนองการเปลี่ยนแปลงความเข้มรังสีดวงอาทิตย์ได้รวดเร็ว สำหรับกราฟแสดงการตอบสนองต่อสเปกตรัมของรังสีดวงอาทิตย์และลักษณะของไฟรานมิเตอร์ดังกล่าวแสดงไว้ในรูปที่ A1.3 และ A1.4



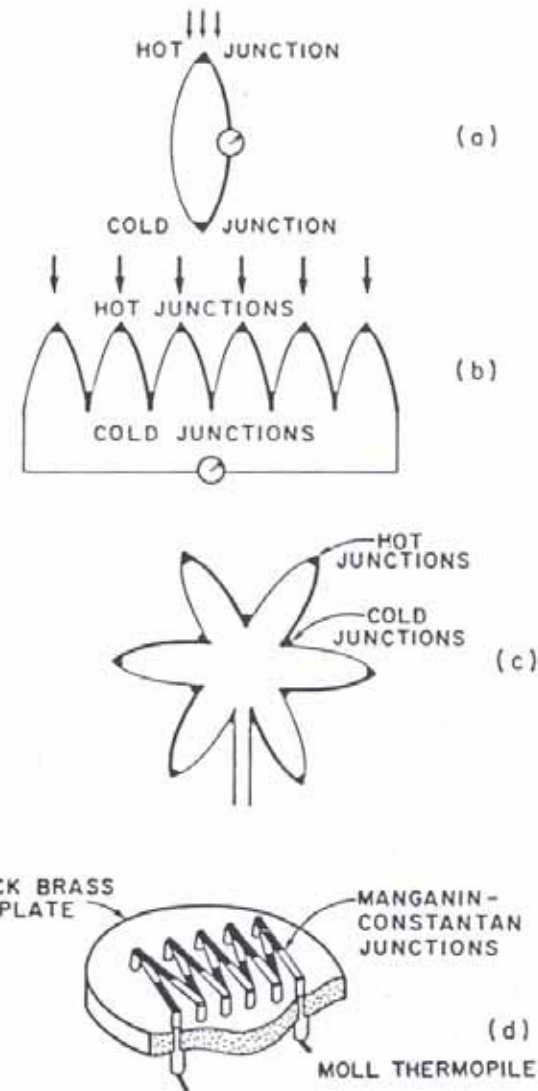
รูปที่ A1.3 แสดงการตอบสนองต่อสเปกตรัมรังสีดวงอาทิตย์ของไพรอโนมิเตอร์แบบใช้ photoelectric sensor



รูปที่ A1.4 แสดงลักษณะของไพรอโนมิเตอร์แบบใช้ photoelectric sensor

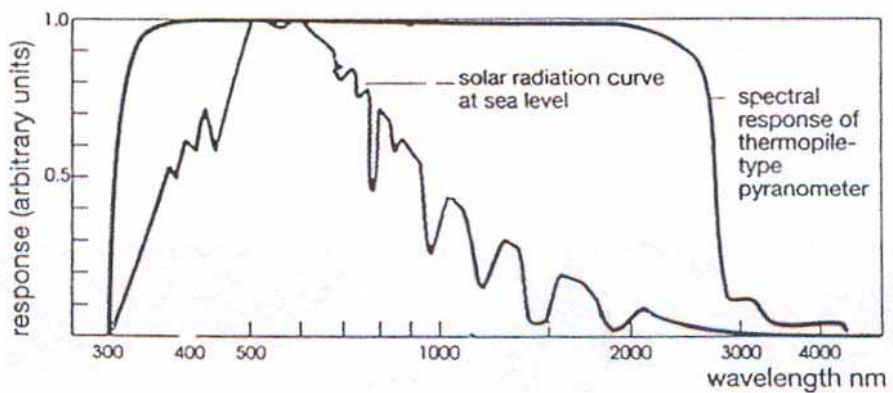
ค. ไพรอโนมิเตอร์แบบใช้ thermoelectric sensor ไพรอโนมิเตอร์นี้จะมี sensor ทำด้วยโลหะ 2 ชนิดซึ่งเชื่อมปลายทั้งสองติดกัน โดยปลายข้างหนึ่งทำหน้าที่เป็น hot junction และอีกข้างหนึ่งเป็น cold junction เมื่อ hot junction ถูกรังสีดวงอาทิตย์ตกกระทบจะทำให้เกิดความแตกต่างระหว่างอุณหภูมิของ junction ทั้งสองและก่อให้เกิดแรงเคลื่อนไฟฟ้า (electromotive force, emf) ขึ้นในวงจรที่ประกอบด้วยโลหะทั้งสอง โลหะที่ต่อกันในลักษณะดังกล่าวจะทำหน้าที่เป็น thermocouple จากแรงเคลื่อนไฟฟ้าที่เกิดขึ้นนี้สามารถนำไปคำนวณหาความเข้มรังสีดวงอาทิตย์ที่ตกกระทบได้

ในการนำโลหะ 2 ชนิดมาต่อกันด้วยวิธีดังกล่าวข้างต้นอาจมีการนำโลหะแต่ละคู่มาต่อ กันแบบอนุกรมเพื่อเพิ่มแรงเคืองไฟฟ้า ซึ่งจะเรียก sensor ลักษณะนี้ว่า thermopile ดังที่แสดงไว้ในรูปที่ A1.5



รูปที่ A1.5 แสดง thermoelectric sensor แบบต่างๆ

ไพรโโนมิเตอร์ที่ใช้ thermoelectric sensor มีข้อดีคือมีการตอบสนองต่อสเปกตรัมของรังสีคงาทิตย์ในช่วง 0.3-3 ไมครอน ซึ่งเป็นช่วงที่ใช้งานทั่วไปและมีการตอบสนองที่ใกล้เคียงกันในช่วงความยาวคลื่นดังกล่าว นอกจากนี้ยังมีสมรรถนะการทำงานที่ไม่ซึ้นกับสภาพแวดล้อมมากนัก และมีความละเอียดแม่นยำในการวัดอยู่ในเกณฑ์ดี อย่างไรก็ตามไพรโโนมิเตอร์ดังกล่าวมีราคาค่อนข้างแพงและต้องอาศัยเครื่องบันทึกสัญญาณที่รับค่าความต่างศักย์ไฟฟ้าต่ำๆ ได้สำหรับกราฟ



รูปที่ A1.6 แสดงการตอบสนองต่อสเปกตรัมรังสีดวงอาทิตย์ของไพรานิเมตอร์แบบใช้ thermoelectric sensor



รูปที่ A1.7 แสดงลักษณะของไพรานิเมตอร์แบบใช้ thermoelectric sensor

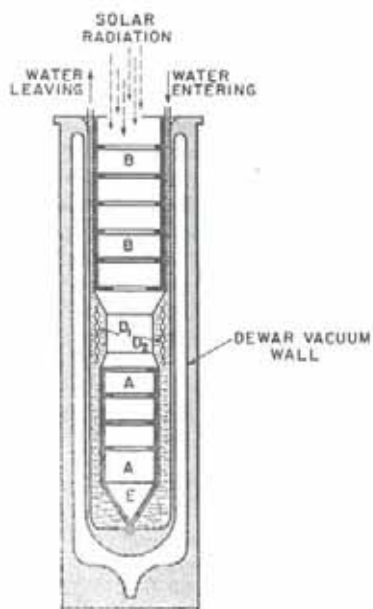
A1.2 การวัดรังสีตระ

รังสีตระเป็นข้อมูลพื้นฐานสำคัญสำหรับใช้ในการคำนวณออกแบบอุปกรณ์พลังงานแสงอาทิตย์แบบรวมแสง (concentrating system) ซึ่งใช้ประโยชน์จากการรังสีตระ โดยเครื่องวัดรังสีตระมีชื่อเรียกทั่วไปว่า pyrheliometer เนื่องจากใช้วัดรังสีตระที่ฟุ่งลงมาจากดวงอาทิตย์และตำแหน่งของดวงอาทิตย์เปลี่ยนแปลงตลอดเวลา ดังนั้นจะต้องมีอุปกรณ์ขับเคลื่อนหัววัดให้เข้าไปยังตำแหน่งของดวงอาทิตย์ (solar tracker) pyrheliometer สามารถแบ่งได้เป็น 2 ประเภท ได้แก่ absolute pyrheliometer และ field pyrheliometer โดยแต่ละประเภทมีรายละเอียด ดังนี้ (Iqbal, 1983)

1.2.1 Absolute Pyrheliometer

เครื่องวัดแบบนี้จะใช้เป็นเครื่องวัดมาตรฐานในห้องปฏิบัติการ สามารถบอกความเข้มรังสีดวงอาทิตย์ได้โดยตรง โดยมีต้องอ้างอิงกับเครื่องวัดอื่น ในอดีตที่ผ่านมาได้มีการพัฒนา absolute pyrheliometer ขึ้นมาหลายแบบ โดยที่สำคัญมีดังนี้

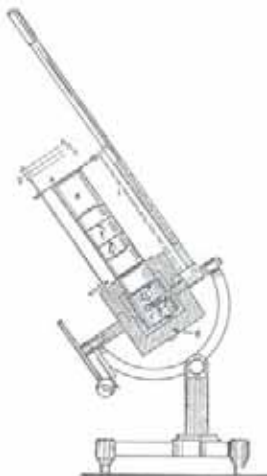
- 1) Abbot Water-Flow Pyrheliometer เครื่องวัดแบบนี้มีลักษณะเป็นทรงกระบอกเพื่อรับรังสีดวงอาทิตย์ ซึ่งบรรจุอยู่ในท่อแก้วสูญญากาศ โดยช่องว่างระหว่างกระบอกและท่อแก้วจะมีน้ำไหลผ่าน ดังรูปที่ A1.8



รูปที่ A1.8 Abbot Water-Flow Pyrheliometer

ในการใช้งานจะให้รังสีดวงอาทิตย์ส่องผ่านเข้าไปในระบบอุ่น รังสีทั้งหมดจะถูกดูดกลืนภายในระบบอุ่นทำให้อุณหภูมิสูงขึ้น นำที่ไอลจากด้านหนึ่งของระบบจะนำความร้อน

2) Abbot Silver-Disk Pyrheliometer เป็นอุปกรณ์ที่ค่อนข้างซุ่มยาก ไม่เหมาะสมกับการเคลื่อนย้ายไปตามสถานที่ต่างๆ จึงได้มีการพัฒนาเครื่องวัดขึ้นใหม่ โดยใช้แผ่นเงินกลมเป็นตัวรับรังสีดวงอาทิตย์อยู่ภายในระบบอุก โดยด้านใต้ของแผ่นเงินบรรจุด้วยproto เพื่อนำความร้อนไปยังเทอร์โมมิเตอร์ เมื่อรังสีตรงของดวงอาทิตย์ส่องเข้าไปในระบบอุกจะถูกดูดกลืน โดยแผ่นเงินชี้ทางเดียว ทำให้แผ่นเงินมีอุณหภูมิสูงขึ้น ความร้อนที่เกิดขึ้นจะถ่ายเทผ่านprotoไปยังเทอร์โมมิเตอร์ จากค่าอุณหภูมิที่เพิ่มขึ้นสามารถคำนวณหาปริมาณของพลังงานที่ได้รับจากการรับรังสีดวงอาทิตย์ได้ ลักษณะของ pyrheliometer ดังกล่าวแสดงในรูปที่ A1.9



รูปที่ A1.9 Abbot Silver-Disk Pyrheliometer

3) Angstrom Electrical Compensation Pyrheliometer เครื่องวัดแบบนี้จะมีลักษณะเป็นระบบอุกและมีช่องเปิดรับแสง 2 ช่อง โดยที่ปลายสุดของแต่ละช่องภายในระบบอุกจะมีแผ่น manganin กว้าง 2 มิลลิเมตร ยาว 20 มิลลิเมตร และเคลือบด้วยสีดำ โดยแผ่นในช่องหนึ่งจะรับรังสีดวงอาทิตย์โดยตรง แต่อีกแผ่นหนึ่งจะถูกบังไม่ให้รับรังสีดวงอาทิตย์ โดยแผ่นที่ถูกบังจะมีลวดต้านทานไฟฟ้าให้ความร้อนจนอุณหภูมิเท่ากับแผ่นที่รับรังสีดวงอาทิตย์ ค่ากระแสไฟฟ้าที่ใช้จะมีความสัมพันธ์กับความเข้มรังสีดวงอาทิตย์ตามสมการ

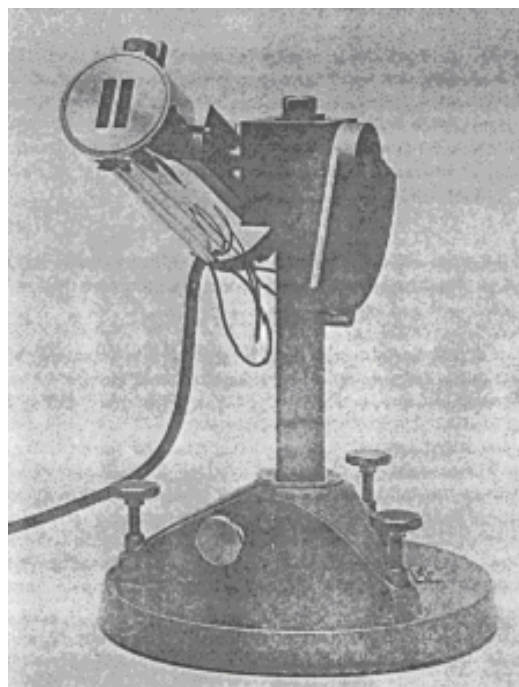
$$I_n = K i^2 \quad (\text{A1.1})$$

เมื่อ I_n เป็นความเข้มรังสีตรงที่ตั้งระบบ

i เป็นกระแสไฟฟ้าที่ใช้

K เป็นค่าคงที่

จากการวัดค่ากระแสและค่าคงที่ของเครื่องมือ เราสามารถคำนวณความเข้มรังสีตรงที่ตั้งระบบได้

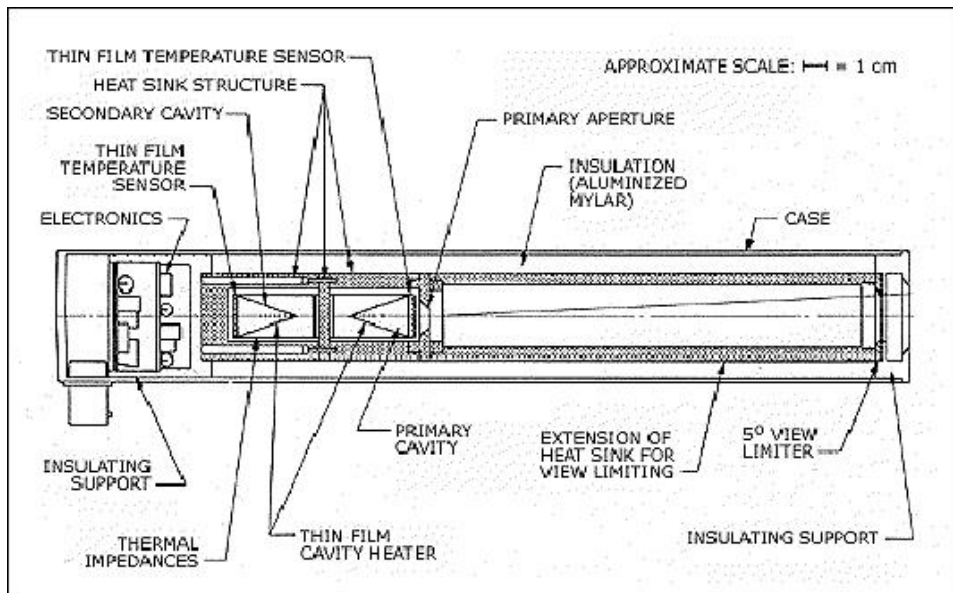


รูปที่ A1.10 Angstrom Electrical Compensation Pyrheliometer

4) Active Cavity Pyrheliometer เครื่องวัดรังสีตรงแบบนี้ใช้หลักการคล้ายกับ Angstrom Electrical Compensation Pyrheliometer กล่าวคือจะมีลักษณะเป็นระบบออกให้รังสีด้วยอาทิตย์ผ่านเข้าไปภายใน โดยที่ปลายสุดมีลักษณะเป็นกรวยเพื่อให้รังสีด้วยอาทิตย์สะท้อนกลับไปมา และถูกดูดกลืนทั้งหมด โดยที่กรวยมีอุปกรณ์ทำความสะอาดร้อนด้วยไฟฟ้า ส่วนที่ปากระบบมีแผ่นปิดเปิดอัตโนมัติ ในการใช้งานจะเปิดระบบออกให้รังสีด้วยอาทิตย์ผ่านเข้าไปยังกรวยรับรังสีภายในระบบ กดโดยอุณหภูมิของกรวยจะถูกควบคุมด้วยวงจรไฟฟ้าให้มีอุณหภูมิคงที่ เมื่อรังสีด้วยอาทิตย์ผ่านเข้ามากระบวนการกรวย กำลังไฟฟ้าที่ใช้ในการให้ความร้อนจากกรวยจะลดลงเพื่อให้อุณหภูมิของ

$$I_n = K[P_c - P_o] \quad (A1.2)$$

เมื่อ I_n เป็นความเข้มรังสีตรงที่ต่อกリストบ
 P_c เป็นกำลังไฟฟ้าที่ใช้เมื่อระบบออกปิด
 P_o เป็นกำลังไฟฟ้าที่ใช้เมื่อระบบออกเปิด
 K เป็นค่าคงที่



รูปที่ A1.11 Active Cavity Pyrheliometer

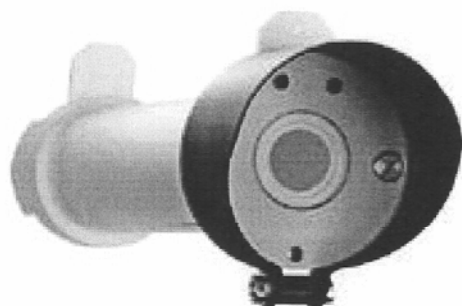
1.2.2 Field Pyrheliometer

โดยทั่วไป absolute pyrheliometer จะมีความละเอียดลูกต้องสูงและสามารถอบก่อค่าความเข้มรังสีดวงอาทิตย์ได้โดยตรง แต่เครื่องมือดังกล่าวไม่เหมาะสมกับการใช้วัดความเข้มรังสีตรงในลักษณะของการเก็บข้อมูลระยะยาว เพราะเครื่องมือมีความละเอียดต่ำ ไม่ทนทานต่อสภาพดินฟ้าอากาศ และการใช้งานต้องเนื่องจากนานกลางแจ้งหลาย ๆ ปี ดังนั้นจึงได้มีการพัฒนา field pyrheliometer เพื่อใช้งานภาคสนาม โดยเครื่องวัดแบบนี้จะมีลักษณะเป็นระบบอุ่นและที่ปลายสุดภายในระบบจะมี thermocouple ต่ออนุกรมหรือที่เรียกโดยทั่วไปว่า thermopile เพื่อแปลงพลังงานความร้อนให้เป็นพลังงานไฟฟ้า โดยศักย์ไฟฟ้าที่ได้จะแปรตามความเข้มรังสีดวงอาทิตย์ที่

ตอกกระทบ เนื่องจากค่าศักย์ไฟฟ้าที่ได้ไม่สามารถคำนวณย้อนกลับไปหาความเข้มรังสีดวงอาทิตย์ได้โดยตรง เช่นกรณีของ absolute pyrheliometer ดังนั้น field pyrheliometer จึงต้องนำมาสอบเทียบกับ absolute pyrheliometer โดยค่าคงที่ของความสัมพันธ์ระหว่างศักย์ไฟฟ้ากับความเข้มรังสีดวงอาทิตย์ จะเรียกว่า sensitivity ของเครื่องวัด ตัวอย่างของ field pyrheliometer แสดงในรูปที่ A1.12-A1.13



รูปที่ A1.12 field pyrheliometer ที่ผลิตโดยบริษัท Eppley



รูปที่ A1.13 field pyrheliometer ที่ผลิตโดยบริษัท Kipp & Zonen

ภาคผนวก ข

การคัดเลือกวันท่องเที่ยวปราศจากเมม

A2.1 การคัดเลือกวันท้องฟ้าปราศจากเมฆ

วันท้องฟ้าปราศจากเมฆ(cloudless sky) เป็นวันที่ถือว่า รังสีดวงอาทิตย์ที่ตกสู่พื้นโลกจะผ่านชั้นบรรยากาศลงมาโดยไม่มีผลเนื่องจากเมฆ ซึ่งมีค่าความเข้มรังสีดวงอาทิตย์สูงสุด วันท้องฟ้าปราศจากเมฆสามารถคัดเลือกได้หลายวิธี

A2.1.1 สังเกตจากสายตาโดยตรง

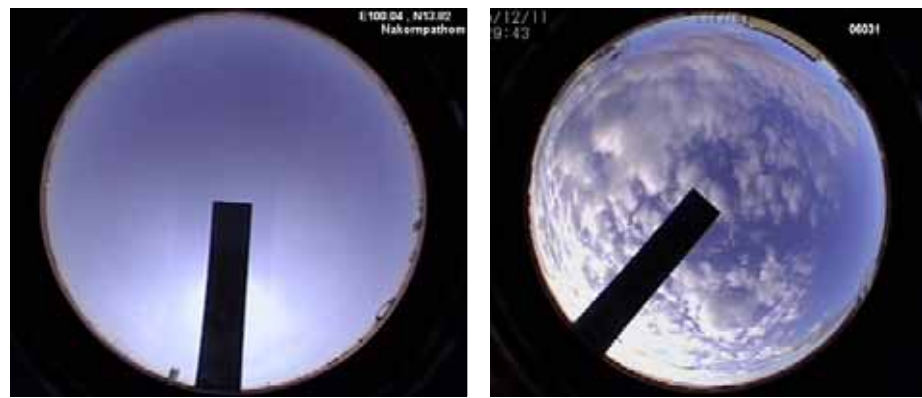
วันท้องฟ้าปราศจากเมฆสามารถสังเกตได้ด้วยสายตาโดยตรง โดยการสังเกตท้องฟ้าซึ่งมีลักษณะปราศจากเมฆเป็นสีฟ้าใสทั่วทั้งท้องฟ้า วิธีนี้จะให้ความแม่นยำค่อนข้างสูง แต่มีข้อเสีย คือ มาตรฐานของผู้สังเกตไม่เท่ากัน และกรณีที่ต้องใช้ข้อมูลจำนวนมากและเป็นข้อมูลย้อนอดีตจะไม่สามารถทำได้

A2.1.2 ภาพถ่ายท้องฟ้า

ภาพถ่ายท้องฟ้าได้จากการเครื่องถ่ายภาพท้องฟ้าที่เรียกว่า sky view เป็นเครื่องมือที่สามารถถ่ายภาพท้องฟ้าได้ทั่วทั้งท้องฟ้าในรูปแบบครึ่งวงกลม ควบคุมการถ่ายภาพด้วยเครื่องคอมพิวเตอร์ ซึ่งให้ความแม่นยำค่อนข้างสูง สามารถเก็บข้อมูลได้ในระยะเวลาอัน短暫 และเป็นข้อมูลจำนวนมากได้



รูปที่ A2.1 เครื่องถ่ายภาพท้องฟ้า (sky view)



รูปที่ A2.2 ภาพถ่ายท้องฟ้าในวันท้องฟ้าปราศจากเมฆและวันที่มีเมฆ

A2.1.3 ปริมาณเมฆและค่าดัชนีความแจ่มใส

Babaro et al., (1981) จำแนกท้องฟ้าออกเป็น 3 ลักษณะตามปริมาณเมฆ ดังนี้^{*}

Day type	Octas	Tenths
Clear	0-2	0-3
Partially cloudy	3-5	4-7
Cloudy	6-8	8-10

Muhammad Iqbal (1983) เสนอวิธีการแบ่งสภาพท้องฟ้าด้วยค่าดัชนีความแจ่มใส หรือ clearness index ; K_T ซึ่งเป็นสัดส่วนของค่ารังสีรวมกับค่ารังสีดวงอาทิตย์ภายนอกบรรยากาศโลก ดังนี้^{*}

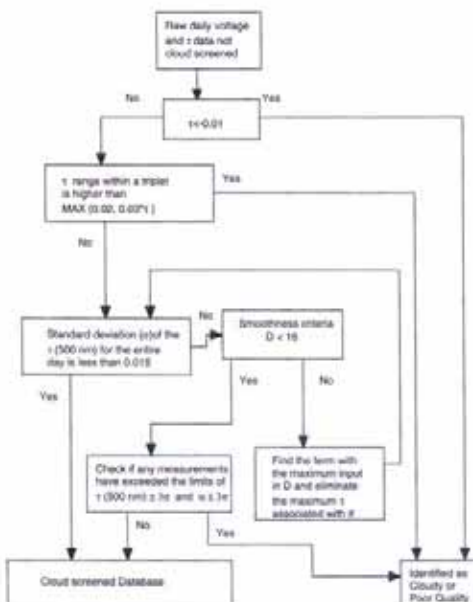
Day type	K_T
Clear	$0.7 \leq K_T < 0.9$
Partially cloudy	$0.3 \leq K_T < 0.7$
Cloudy	$0.0 \leq K_T < 0.3$

A1.2 The Aerosol Robotic Network (AERONET)



AERONET เป็นเครือข่ายที่พัฒนาเทคโนโลยีการวัดปริมาณฝุ่นละออง(aerosol)ในบรรยากาศ ซึ่งค่าความลึกเชิงแสงนี้ของฝุ่นละอองวัดด้วยเครื่อง sunphotometer ในการวัดปริมาณฝุ่นละอองและผลของฝุ่นละอองในบรรยากาศอย่างแม่นยำนั้นจะต้องไม่มีผลของเมฆเข้ามาเกี่ยวข้องเนื่องจากเมฆมีลักษณะทางกายภาพคล้ายฝุ่นละออง เช่น ควัน ดังนั้นการตรวจจับเมฆออกจากฝุ่นละอองจึงทำยาก AERONET เป็นเครือข่ายที่ทำหน้าที่พัฒนาศักยภาพการวัดค่าความลึกเชิงแสงนี้ของฝุ่นละอองที่เป็นที่ยอมรับในงานฟิสิกส์บรรยากาศ มีการพัฒนาโปรแกรมคัดแยกเมฆแบบอัตโนมัติที่มีประสิทธิภาพสูง ข้อมูลที่นำมาใช้ในกระบวนการหาค่าความลึกเชิงแสงผ่านการคัดเลือกว่าเป็นข้อมูลขณะที่ห้องฟ้าปราศจากเมฆ

การคัดเลือกช่วงที่ห้องฟ้าปราศจากเมฆโดยวิธีการของ AERONET เป็นวิธีการล่าสุดที่ใช้คัดเลือกช่วงที่ห้องฟ้าปราศจากเมฆที่มีประสิทธิภาพสูงด้วยกระบวนการทางสถิติ



รูปที่ A2.3 Algorithm ของโปรแกรมคัดเลือกข้อมูลห้องฟ้าปราศจากเมฆของ AERONET

ประวัติผู้วิจัย

ชื่อ	นางสาวกมลा ศรีเจริญ
ที่อยู่	34 ม. 7 ต. ลำเหย อ. ดอนตูม จ. นครปฐม 73150
ประวัติการศึกษา	
พ.ศ. 2545	จบการศึกษาระดับมัธยมศึกษาปีที่ 6 โรงเรียนคงทองวิทยา อำเภอ dontum จังหวัดนครปฐม
พ.ศ. 2549	จบการศึกษาระดับปริญญาวิทยาศาสตรบัณฑิต สาขาวิชาฟิสิกส์ คณะวิทยาศาสตร์ มหาวิทยาลัยศิลปากร จังหวัดนครปฐม
พ.ศ. 2550	เข้าศึกษาต่อระดับปริญญาวิทยาศาสตรมหาบัณฑิต สาขาวิชาฟิสิกส์ บัณฑิตวิทยาลัย มหาวิทยาลัยศิลปากร